

MODELADO Y SIMULACION 2D DEL FLUJO DE UN FLUIDO EN UN CANAL
CON UNA EXPANSIÓN INCLINADA MEDIANTE VOLÚMENES FINITOS

KATHERINE LISETH MARTINEZ RUEDA

UNIVERSIDAD INDUSTRIAL DE SANTANDER
FACULTAD DE INGENIERÍAS FISICOMECAÑICAS
ESCUELA DE INGENIERÍA MECÁNICA
BUCARAMANGA

2014

MODELADO Y SIMULACION 2D DEL FLUJO DE UN FLUIDO EN UN CANAL
CON UNA EXPANSIÓN INCLINADA MEDIANTE VOLÚMENES FINITOS

Presentado por:

KATHERINE LISETH MARTINEZ RUEDA

Trabajo de grado como requisito para optar el título de
Ingeniero Mecánico

Director:

Ph.D. JULIAN ERNESTO JARAMILLO IBARRA

UNIVERSIDAD INDUSTRIAL DE SANTANDER
FACULTAD DE INGENIERÍAS FISICOMECAÑICAS
ESCUELA DE INGENIERÍA MECÁNICA
BUCARAMANGA

2014

DEDICATORIA

Este trabajo lo dedico a mis padres, Alfonso Martínez y Nancy Rueda, por todo el cariño y apoyo incondicional que siempre me han brindado, por su paciencia y sus enseñanzas, gracias a ellos me he convertido en la persona que soy.

A mi hermano Alfonso Daniel que toda la vida me ha acompañado, por los momentos, las peleas, los juegos y las risas.

A Andrés por estar a mi lado desde el comienzo de esta etapa, por su cariño y por animarme a salir adelante cada día.

A toda mi familia que siempre me ha acompañado, que ha compartido conmigo las alegrías y tristezas, este logro es de todos.

AGRADECIMIENTOS

A la Universidad Industrial de Santander, especialmente a la Escuela de Ingeniería Mecánica, por su formación académica.

Al profesor Julian Jaramillo por el tiempo dedicado, por su acompañamiento y asesoría en el desarrollo del proyecto.

CONTENIDO

	pág.
INTRODUCCIÓN	17
1. FLUJO EN UN CANAL CON EXPANSIÓN	18
1.1 ESTUDIOS RELACIONADOS	19
1.2 MODELO MATEMÁTICO	21
1.2.1 Simplificaciones al modelo	22
1.2.2 Condiciones de frontera	23
2. MÉTODO DE VOLUMENES FINITOS	26
2.1 DEFINICIÓN DEL MODELO MATEMÁTICO	27
2.2 MALLADO ESPACIAL	27
2.3 DISCRETIZACIÓN DE LAS ECUACIONES	29
2.4 SOLUCIÓN DE LAS ECUACIONES	30
2.4.1 Ecuaciones Lineales	31
2.4.2 Ecuaciones no Lineales	32
2.5 POST-PROCESAMIENTO	32
2.6 CARACTERÍSTICAS DE LOS MÉTODOS NUMÉRICOS	32
3. MALLADO ESPACIAL DEL DOMINIO	34
3.1 CONSTRUCCIÓN DE LA GEOMETRÍA	34
3.2 CREACIÓN DE LA MALLA	36
3.3 EXPORTAR LA INFORMACIÓN DE LA MALLA	38
4. ESTRUCTURA DEL CÓDIGO DESARROLLADO	40
4.1 ESTRUCTURA DE LAS CLASES	40
4.2 CLASES DESARROLLADAS	42
4.2 DESCRIPCIÓN GENERAL	42

4.2.1 Clase geom	43
4.2.2 Clase frontera	43
4.2.3 Clase resultados	44
4.2.4 Función main	44
5. DIFUSIÓN-CONVECCIÓN EN ESTADO ESTABLE	46
5.1 CÁLCULO DEL GRADIENTE	49
5.2 ECUACIÓN DISCRETA	50
5.3 IMPLEMENTACIÓN EN EL CÓDIGO COMPUTACIONAL	53
5.3.1 Clase difusivo	53
5.3.2 Clase gradiente	54
5.3.3 Clase convectivo	55
5.3.4 Clase termindep	55
5.3.5 Clase solestable	56
6. DIFUSIÓN-CONVECCIÓN EN ESTADO TRANSITORIO	57
6.1 ESQUEMA EXPLÍCITO	60
6.1.1 Ecuación discreta	60
6.1.2 Implementación en el código computacional	61
6.2 ESQUEMA IMPLÍCITO	63
6.2.1 Ecuación discreta	63
6.2.2 Implementación en el código computacional	64
6.3 CASO DE ESTUDIO: PROBLEMA SMITH-HUTTON	65
6.3.1 Descripción del problema	66
6.3.2 Resultados numéricos	67
6.3.3 Discusión	69
7. EVALUACIÓN DEL CAMPO DE FLUJO	71
7.1 PROBLEMA CHECKERBOARDING: Tablero de ajedrez.	72

7.2 MÉTODO DEL PASO FRACCIONADO	74
7.2.1 Planteamiento del método	74
7.2.2 Discretización temporal	76
7.2.3 Ecuación discreta	78
7.2.4 Implementación en el código computacional	79
7.3 CASO DE ESTUDIO: DRIVEN CAVITY	82
7.3.1 Descripción del problema	82
7.3.2 Resultados numéricos	83
7.3.3 Discusión	85
7.4 CASO DE ESTUDIO: FLUJO EN UN CANAL CON ESCALÓN RECTO	86
7.4.1 Descripción del problema	86
7.4.2 Resultados numéricos	87
7.4.3 Discusión	88
8. RESULTADOS DEL FLUJO EN UN CANAL CON EXPANSIÓN INCLINADA	90
8.1 RESULTADOS NUMÉRICOS	90
8.3 DISCUSIÓN	92
9. CONCLUSIONES	94
10. RECOMENDACIONES	96
BIBLIOGRAFÍA	97
ANEXOS	100

LISTA DE TABLAS

		pág
Tabla 1	Errores relativos asociados a las mallas empleadas.	83
Tabla 2	Posición del punto de reencuentro. Estudio de independencia de malla y errores relativos asociados.	87
Tabla 3	Ubicación de los puntos de separación y reencuentro, y longitud de separación, para los ángulos estudiados.	90
Tabla 4	Ubicación de los puntos de separación y reencuentro, y longitud de separación, para $\alpha = 45^\circ$ y tres relaciones de expansión.	92

LISTA DE FIGURAS

		pág
Figura 1	Flujo en un canal con escalón inclinado.	18
Figura 2	Algunos tipos de mallas	28
Figura 3	Terminología de malla	29
Figura 4	Plataforma Salome	34
Figura 5	Construcción de un croquis 2D.	35
Figura 6	Geometría compuesta en 2D.	35
Figura 7	Parámetros 2D para crear la malla.	36
Figura 8	Parámetros 1D para crear la malla.	37
Figura 9	Malla uniforme en geometría compuesta.	37
Figura 10	Malla refinada en geometría compuesta.	38
Figura 11	Estructura del archivo que se exporta de Salome.	39
Figura 12	Diagrama de flujo de la función main.	45
Figura 13	Detalle de malla no estructurada y parámetros geométricos.	47
Figura 14	Parámetros geométricos en un volumen de control frontera	51
Figura 15	Diagrama de flujo de la función calcular_S.	56
Figura 16	Variación de la variable ϕ con el tiempo para dos esquemas de discretización temporal.	59
Figura 17	Diagrama de flujo de la función calcular_Ste	62

Figura 18	Diagrama de flujo de la función calcular_Sti.	64
Figura 19	Esquema del problema Smith-Hutton.	66
Figura 20	Distribución de ϕ para $\rho/\Gamma = 10$ en diferentes densidades de malla.	67
Figura 21	Valores de ϕ en la frontera de salida del dominio para $\rho/\Gamma = 10$. Estudio de independencia de malla y comparación con valores de referencia.	68
Figura 22	Distribución de ϕ para $\rho/\Gamma = 10^3$ en diferentes densidades de malla.	68
Figura 23	Valores de phi en la frontera de salida del dominio para $\rho/\Gamma = 10^3$. Estudio de independencia de malla y comparación con valores de referencia.	69
Figura 24	Distribución y líneas de valor constante de ϕ .	69
Figura 25	Campo de velocidad con efecto de tablero de ajedrez.	73
Figura 26	Malla desplazada en malla estructurada.	73
Figura 27	Descomposición única del campo vectorial $R(V)$.	74
Figura 28	Diagrama de flujo de la función calcular_Sf	81
Figura 29	Esquema del problema Driven Cavity.	82
Figura 30	Velocidades en los ejes centrales de la cavidad. Estudio de independencia de malla y comparación con valores de referencia de Ghia et. al.	84
Figura 31	Líneas de corriente y líneas de presión constante en la cavidad.	84
Figura 32	Líneas de corriente en la región cercana al escalón.	87
Figura 33	Valores de referencia tomados de Armaly et. al.	87

Figura 34	Perfiles de velocidad en varias posiciones del canal para $Re_D = 100$.	88
Figura 35	Líneas de corriente en la región cercana al escalón para varios ángulos de inclinación y $Re_D = 100$.	91
Figura 36	Líneas de corriente en la región cercana al escalón para varios ángulos de inclinación y $Re_D = 50$	91
Figura 37	Líneas de corriente en la región cercana al escalón para diferentes relaciones de expansión, $\alpha = 45^\circ$ y $Re_D = 50$	92

LISTA DE ANEXOS

	pág
Anexo A. MÉTODOS DE SOLUCIÓN DE SISTEMAS DE ECUACIONES LINEALES	100
Anexo B. USO DE PETSC	103
Anexo C. CÓDIGO COMPUTACIONAL DESARROLLADO	114

RESUMEN

TÍTULO: MODELADO Y SIMULACIÓN 2D DEL FLUJO DE UN FLUIDO EN UN CANAL CON UNA EXPANSIÓN INCLINADA MEDIANTE VOLÚMENES FINITOS*

AUTOR: KATHERINE LISETH MARTINEZ RUEDA**

PALABRAS CLAVE: Dinámica de fluidos computacional, MVF, Método del paso fraccionado, Canal con expansión, Separación de flujo, Recirculación de flujo.

En este trabajo se presenta el planteamiento numérico para la solución de las ecuaciones de conservación de cantidad de movimiento y de masa de Navier-Stokes para un flujo incompresible; la ecuación general de transporte se discretiza mediante el método de volúmenes finitos, y se hace uso del método del paso fraccionado para la resolución del acoplamiento entre la velocidad y la presión. Se utiliza un mallado no estructurado para la discretización física del dominio, el cual se realiza mediante la plataforma Salome.

El planteamiento se implementa en un código computacional en lenguaje C++ utilizando las rutinas de PETSc (Portable, Extensible Toolkit for Scientific Computation).

Con el propósito de validar el planteamiento y el código desarrollado se resuelven dos casos de estudio bidimensionales: el problema conocido como Smith-Hutton y el problema conocido como Driven Cavity, sus resultados se comparan con los encontrados en la literatura y resultan satisfactorios.

Se desarrolla un modelo numérico para el problema del flujo laminar bidimensional en un canal con una expansión inclinada, y se resuelve para números de Reynolds de 50 y 100, una relación de expansión de 1,9423 y ángulos de inclinación de 15°, 30°, 45° y 90°. El modelo se valida comparando los resultados encontrados para el ángulo de 90° con resultados de la literatura para el problema de escalón recto.

* Trabajo de grado.

** Facultad de Ingenierías Físico-Mecánicas. Escuela de Ingeniería Mecánica. Director: PhD Julian Ernesto Jaramillo Ibarra.

ABSTRACT

TITLE: 2D MODELLING AND SIMULATION OF FLUID FLOW IN A CHANNEL WITH INCLINED BACKWARD-FACING STEP BY FINITE VOLUME METHOD *

AUTHOR: KATHERINE LISETH MARTINEZ RUEDA**

KEY WORDS: CFD, FVM, FSM, Backward-facing step, Flow separation, Recirculating flow.

In this paper the numerical approach for the solution of the Navier-Stokes conservation equations of momentum and mass for an incompressible flow is presented. The general transport equation is discretized by the finite volume method and using the fractional step method to solve the coupling between velocity and pressure. The physical domain is discretized by unstructured meshing, the Salome platform is used to create the mesh.

The numerical approach is implemented in a computer code in C++ language using PETSc (Portable, Extensible Toolkit for Scientific Computation) routines.

In order to validate the approach and the developed code two study cases are solved in two dimensions: the Smith -Hutton problem and the Driven Cavity problem, the results are compared with those found in the literature and they are found satisfactory.

A numerical model for the two-dimensional laminar problem of flow in a channel with an inclined backward-facing step is developed and solved for Reynolds numbers 50 and 100, an expansion ratio of 1.9423 and inclination angles of 15°, 30°, 45° and 90°. The model is validated by comparing the results for the 90° angle with results from the literature for the backward-facing step problem.

* Thesis.

** Physical-Mechanic Engineering Faculty. Mechanical Engineering School. Director: PhD Julian Ernesto Jaramillo Ibarra.

INTRODUCCIÓN

El fenómeno de separación de flujo que se presenta en el problema del canal con expansión es de gran interés en estudios numéricos y experimentales debido a que ocurre en una gran variedad de equipos de aplicaciones ingenieriles afectando la transferencia de calor y el flujo en los mismos. La geometría del escalón recto es la más simple de este problema, y es por esta razón que es la más estudiada, sin embargo, la geometría inclinada tiene mayor aplicabilidad industrial.

El problema del flujo puede ser estudiado numéricamente al describirlo en un modelo matemático utilizando las ecuaciones gobernantes de los fluidos. El método de los volúmenes finitos permite realizar una discretización de estas ecuaciones teniendo en cuenta los principios de conservación, obteniendo un sistema de ecuaciones algebraicas que se pueden resolver por diferentes métodos de solución.

La implementación de estas ecuaciones en un código computacional resulta ser una herramienta eficiente para encontrar la solución, estas técnicas numéricas han evolucionado en gran escala y continúan haciéndolo actualmente.

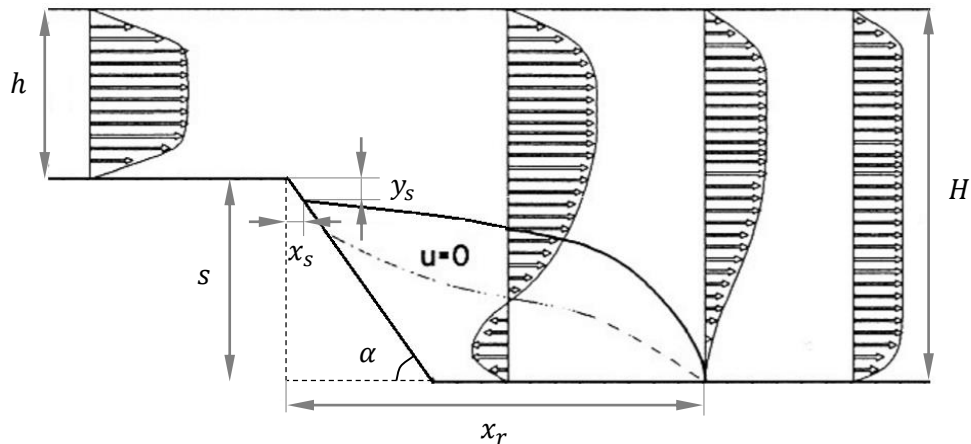
Este trabajo pretende aportar al desarrollo de estas técnicas numéricas mediante la modelación y solución del problema planteado. El documento se organiza de la siguiente forma:

Inicialmente se presentará la descripción del problema principal del trabajo, el canal con expansión inclinada, se dará una breve reseña de los estudios presentes en la literatura y se explicará el modelo desarrollado. En el capítulo 2 se introduce el método de los volúmenes finitos, y se explican los pasos a seguir para su uso. En los siguientes capítulos se desarrollan los pasos del MVF para resolver el problema en estudio, incluyendo la implementación en el código computacional de cada uno. Y, finalmente, se presentan los resultados numéricos obtenidos.

1. FLUJO EN UN CANAL CON EXPANSIÓN

El estudio bidimensional del flujo en un canal que experimenta un cambio brusco en su geometría se basa en el fenómeno de la separación del fluido; el cual consiste en un desprendimiento de la capa límite debido a la existencia de gradientes adversos de presión, que da lugar a zonas de separación y recirculaciones del flujo. Este fenómeno ocurre en una gran variedad de aplicaciones ingenieriles como: equipos de generación de potencia, difusores, flujo en los álabes de una turbina, equipos de combustión, tubos y ductos con cambio repentino del área. En la región de recirculación ocurre una mezcla de fluido con alta y baja energía, la cual ocasiona un impacto significativo en el desempeño del flujo y la transferencia de calor en estos equipos; por esta razón resulta de gran importancia conocer la ubicación de esta zona(s).

Figura 1. Flujo en un canal con escalón inclinado.



Cuando el cambio en la geometría consiste en un escalón inclinado (Inclined Backward-Facing Step. Fig. 1) el fenómeno varía en función de tres parámetros: el ángulo de inclinación del escalón α ; la relación de expansión H/h ; y el número de Reynolds $Re_D = \frac{\rho U_b D}{\mu}$, donde ρ y μ son la densidad y la viscosidad dinámica del fluido, respectivamente; D es el diámetro hidráulico del canal a la entrada

equivalente a $D = 2h$; y U_b es la velocidad promedio del flujo a la entrada, la cual, para el caso laminar, corresponde a dos tercios de la velocidad máxima a la entrada.

El problema consiste en encontrar el punto en el que se produce la separación del flujo del contorno, denominado punto de separación, y el punto en el que el flujo se vuelve a unir, denominado punto de re-encuentro. La distancia horizontal entre estos dos puntos, es conocida como la longitud de separación o longitud de unión.

1.1 ESTUDIOS RELACIONADOS

El interés en este tipo de problemas ha aumentado desde el estudio numérico y experimental publicado por Armaly et al. [14], donde se presenta una investigación detallada en la geometría de un canal con expansión recta ($\alpha = 90^\circ$) para una relación de expansión $H/h = 1.9423$, y número de Reynolds entre $70 < Re_D < 8000$; se demuestra que el flujo presenta características tridimensionales para números de Reynolds cercanos y mayores a 400, y que deja de ser laminar a partir de $Re_D = 1200$. Los resultados presentados, además de determinar la zona de recirculación adyacente al escalón, muestran cómo se crean otras regiones de separación del flujo aguas abajo del escalón a ambos lados del canal (para $Re_D > 400$). Además del estudio experimental, también se presentan resultados del estudio numérico bidimensional del flujo para $Re_D < 1250$ y son comparados con los hallados experimentalmente, se observa que para $Re_D > 400$ comienzan a presentarse inconsistencias entre ambos resultados, lo cual se atribuye a la tridimensionalidad.

Muchos autores han publicado resultados experimentales y numéricos confirmando lo hallado por Armaly, y generando nuevas conclusiones principalmente en cuanto a la tridimensionalidad y la inestabilidad del problema.

G. Biswas et. al. [16] (por ejemplo) presenta resultados numéricos del flujo en canal recto para números de Reynolds entre $10^{-4} < Re_D < 800$; utiliza el método de volúmenes finitos para la discretización de las ecuaciones, el algoritmo SIMPLE

para el procedimiento de solución y emplea un esquema “Multigrid” para acelerar la convergencia de la solución. Los resultados obtenidos concuerdan con la investigación de Armaly, y confirman la bidimensional del flujo para $Re_D < 400$; también se proporcionan resultados del flujo para diferentes relaciones de expansión.

Un estudio presentado por Kim y Moin [9] utiliza una variación del método del paso fraccionado para llevar a cabo la simulación numérica del flujo laminar en el canal como problema dependiente del tiempo; sus resultados hasta $Re_D = 500$ se asemejan a los hallados experimentalmente, y a partir de ahí difieren significativamente, la causa es atribuida a la tridimensionalidad expuesta por Armaly.

En cuanto al canal con escalón inclinado, son menos las investigaciones que existen al respecto a pesar de ser una geometría con mayor aplicabilidad industrial.

Ruck y Makiola [18] proporcionan resultados experimentales del flujo en canales con expansión inclinada para ángulos de inclinación entre 10° y 90° , y flujo turbulento $Re_D > 5000$; demuestran que para un número de Reynolds constante, la longitud de separación disminuye al disminuir el ángulo de inclinación: en el rango de ángulos menores de 45° la longitud disminuye rápidamente conforme disminuye el ángulo, sin embargo en el rango de 45° - 90° los cambios en la longitud de separación no son muy significantes.

Y.T. Chen et. al. [17] realiza simulaciones del flujo tridimensional en canales con expansión inclinada para $Re_D = 345$ y ángulos de 15° , 30° , 45° y 90° ; las ecuaciones son resueltas numéricamente utilizando el método de volúmenes finitos, y el algoritmo SIMPLE. Sus resultados muestran también como disminuye la longitud de separación al disminuir el ángulo de inclinación.

Otros autores han realizado investigaciones del flujo en canales con expansión inclinada enfocándose en el efecto de la separación del flujo en la transferencia de calor. Por ejemplo, Gandjalikhan Nassab et. al. [19][20] estudian la generación de entropía convección forzada en el flujo laminar ($Re_D = 500$) adyacente a un canal

con expansión inclinada ($\alpha = 45^\circ$) y su influencia en la distribución del número de Nusselt en el canal. Utilizan el método de mallado en bloque para la discretización física del dominio.

Sin embargo, a la fecha no se han publicado resultados del estudio del flujo laminar bidimensional en un canal con escalón inclinado para varios ángulos de inclinación.

1.2 MODELO MATEMÁTICO

Cuando se quiere simular el flujo de un fluido, la transferencia de calor, transferencia de masa u otro fenómeno físico, es necesario describir este fenómeno en términos matemáticos. Los principios o leyes que gobiernan la mecánica de fluidos se pueden expresar en forma de ecuaciones diferenciales, conocidas como ecuaciones gobernantes: Ecuación de conservación de masa, ecuación de conservación de energía, ecuación de conservación de cantidad de movimiento. Cada una de estas expresa el principio de conservación de la magnitud o propiedad a la que hace referencia, y puede ser escrita de forma conservativa o no conservativa. En este trabajo se utiliza la forma conservativa de las ecuaciones que corresponden al enfoque de Euler, en el cual la propiedad en estudio se determina en un punto fijo en el espacio [3].

Ecuación de conservación de masa:

$$\frac{\partial \rho}{\partial t} + \nabla \cdot (\rho \mathbf{V}) = 0 \quad (\text{Ec. 1.1})$$

Ecuación de conservación de energía:

$$\frac{\partial(\rho h)}{\partial t} + \nabla \cdot (\rho \mathbf{V} h) = \nabla \cdot \left(\frac{k}{C_p} \nabla h \right) + S_h \quad (\text{Ec. 1.2})$$

Ecuación de conservación de cantidad de movimiento.

$$\frac{\partial(\rho u)}{\partial t} + \nabla \cdot (\rho \mathbf{V} u) = \nabla \cdot (\mu \nabla u) - \nabla P \cdot \mathbf{i} + S_u \quad (\text{Ec. 1.3})$$

La Ec. 1.3 corresponde a la ecuación de momento para un fluido Newtoniano en la dirección x , de igual forma es posible escribir la ecuación en las otras direcciones. El término S_u contiene los términos del tensor de esfuerzos que no aparecen en el término difusivo, y las fuerzas volumétricas externas sobre el fluido.

Las ecuaciones gobernantes pueden representarse mediante una ecuación general compuesta por cuatro términos, en el orden de la ecuación: término transitorio, término convectivo, término difusivo y término fuente; esta ecuación es conocida como la ecuación general escalar de transporte.

$$\frac{\partial(\rho\phi)}{\partial t} + \nabla \cdot (\rho V\phi) = \nabla \cdot (\Gamma\nabla\phi) + S \quad (\text{Ec. 1.4})$$

Donde

Ec. de continuidad	$\phi = 1$	$\Gamma = 0$	$S = 0$
Ec. de energía	$\phi = h$	$\Gamma = k/C_p$	$S = S_h$
Ec. de momento (en x)	$\phi = u$	$\Gamma = \mu$	$S = -\nabla P \cdot i + S_u$

1.2.1 Simplificaciones al modelo

El estudio bidimensional del flujo en un canal isoterma con expansión está definido por las ecuaciones de momento y la ecuación de continuidad; para llevar a cabo el análisis es necesario realizar simplificaciones de estas ecuaciones.

- Flujo incompresible: La densidad permanece constante en todo el dominio y durante todo el recorrido de tiempo. $\frac{\partial\rho}{\partial t} = 0$
- Propiedades constantes: La propiedad gamma permanece constante en todo el dominio.

- Flujo laminar y bidimensional: El análisis solo se realizará para números de Reynolds $Re_D < 400$ ¹.
- Convección forzada: Al ser un flujo con convección forzada no se consideran las fuerzas volumétricas externas como la gravedad. $S_u = 0$

El estudio del flujo en el canal, es un problema de estado estable, sin embargo, en este trabajo se evalúa como problema transitorio donde el recorrido por el tiempo se detiene al llegar al estado estacionario.

Las ecuaciones de flujo a partir de las simplificaciones quedan así:

Ecuación de continuidad

$$\nabla \cdot (\rho V) = 0 \Rightarrow \frac{\partial u}{\partial x} + \frac{\partial v}{\partial y} = 0 \quad (\text{Ec. 1.5})$$

Ecuaciones de momento

$$\frac{\partial u}{\partial t} + \nabla \cdot (Vu) = \nabla \cdot (v\nabla u) - \frac{1}{\rho} \nabla p \cdot i \quad (\text{Ec. 1.6a})$$

$$\frac{\partial v}{\partial t} + \nabla \cdot (Vv) = \nabla \cdot (v\nabla v) - \frac{1}{\rho} \nabla p \cdot j \quad (\text{Ec. 1.6b})$$

1.2.2 Condiciones de frontera

Las condiciones de frontera son parámetros fundamentales en la modelación de un flujo, se encargan de diferenciar un problema de otro. Las condiciones de frontera comúnmente se clasifican en tres tipos según la información especificada.

- Condición de frontera Dirchlet: Se conoce el valor de la magnitud o propiedad ϕ en la frontera, denotado como ϕ_b .

$$\phi_b = \phi_{conocido} \quad (\text{Ec. 1.7})$$

¹ En la literatura se ha demostrado que para números de Reynolds dentro de este rango, el flujo permanece con esas condiciones [9][13][15].

- Condición de frontera Neumann: Se conoce el valor del gradiente de la magnitud o propiedad en dirección normal a la cara frontera (\hat{n}).

$$(\nabla\phi)_b \cdot \hat{n} = q_{conocido} \quad (\text{Ec. 1.8})$$

- Condición de frontera mixta: Es una combinación de los dos casos anteriores.²

El problema en estudio requiere de condiciones de frontera para la velocidad y para la presión. Para la velocidad se tienen tres fronteras: Flujo a la entrada, flujo a la salida y paredes.

En las paredes se asume una condición de no deslizamiento, es decir, que el fluido que está en contacto con la superficie tiene igual velocidad a ella (Frontera Dirichlet); en este caso:

$$u = v = 0$$

En la entrada del canal la velocidad también es conocida (Frontera Dirichlet), el valor se asigna según el número de Reynolds a analizar. Es decir:

$$u = U_b = \frac{Re\mu}{\rho D}$$

La longitud entre la entrada del canal y el escalón se denota L_u , y debe ser $L_u > 5h$ para que el flujo sea totalmente desarrollado y no afecte el flujo en el escalón³.

A la salida del canal el flujo también debe ser totalmente desarrollado; para asegurar esto, la longitud entre el escalón y la salida el canal, denotada como L_d , debe ser $L_d > 4x_r$.⁴ Una vez garantizado el flujo desarrollado, es posible imponer una condición de frontera de tipo Neumann a la salida del canal:

$$\frac{\partial u}{\partial x} = 0 \quad \frac{\partial v}{\partial x} = 0$$

² No es utilizada en este trabajo.

³ Valor presentado por G. Biswas et.al. [16] tras realizar simulaciones para diferentes longitudes L_u

⁴ En el estudio numérico presentado por Armaly et.al. [14] se establece que este valor es suficiente para que la longitud de re-encuentro sea independiente de la longitud L_d

En el caso de la presión se establece una condición de frontera de tipo Neumann para todos los contornos del dominio exceptuando la salida del canal, allí se establece una condición de tipo de Dirichlet:

$$\text{Entrada y Paredes:} \quad \frac{\partial P}{\partial x} = 0, \quad \frac{\partial P}{\partial y} = 0$$

$$\text{Salida:} \quad P = 0$$

2. MÉTODO DE LOS VOLÚMENES FINITOS

La dinámica de fluidos computacional, CFD (Computational Fluid Dynamics) [2], es una rama de la mecánica de fluidos que consiste en el empleo de técnicas numéricas y herramientas computacionales para resolver problemas físicos relacionados con el movimiento de los fluidos y los fenómenos asociados a este; su objetivo es la creación de un programa numérico que calcule una solución aproximada de las ecuaciones de gobierno de la mecánica de fluidos aplicadas a un problema dado.

Estas técnicas numéricas han evolucionado en gran escala y se han introducido en las distintas áreas de la ingeniería, dando soluciones a necesidades reales de la industria.

Existen varios métodos numéricos para la solución de las ecuaciones gobernantes, entre los más conocidos se encuentran: el método de diferencias finitas, el método de elementos finitos y el método de volúmenes finitos.

El método de diferencias finitas representa las derivadas parciales de las ecuaciones diferenciales en una aproximación de las variables por diferencias entre los puntos vecinos, utilizando series de Taylor. El método de elementos finitos aplica a una representación funcional el concepto de las diferencias finitas, los parámetros de la representación son puntos que dividen el dominio en una serie de elementos. Estos métodos no tienen en cuenta de manera explícita el principio de conservación al derivar las ecuaciones discretas.

A diferencia de los anteriores, el método de volúmenes finitos⁵ se basa en la forma integral de las ecuaciones de conservación; en primer lugar se divide el dominio en un número finito de celdas o volúmenes de control que constituyen el mallado del dominio a estudiar, y a continuación se aplican los balances de los flujos de las variables a cada uno de estos elementos, de modo que es posible observar que

⁵ También llamado método de volumen de control [1]

cuando una cantidad específica de una variable conservada es transportada fuera del volumen de control, la misma cantidad es transportada al volumen adyacente. Al final, se obtiene un sistema de ecuaciones algebraicas que podrán ser resueltas por métodos directos o iterativos.

El uso de la forma integral de las ecuaciones le permite mayor flexibilidad en cualquier tipo de malla logrando una mayor aproximación a la geometría dada por el problema. Por esta razón este método constituye la técnica más comúnmente empleada en la discretización de las ecuaciones en CFD.

A continuación se da una explicación general de los pasos a seguir en el método de volúmenes finitos.

2.1 DEFINICIÓN DEL MODELO MATEMÁTICO

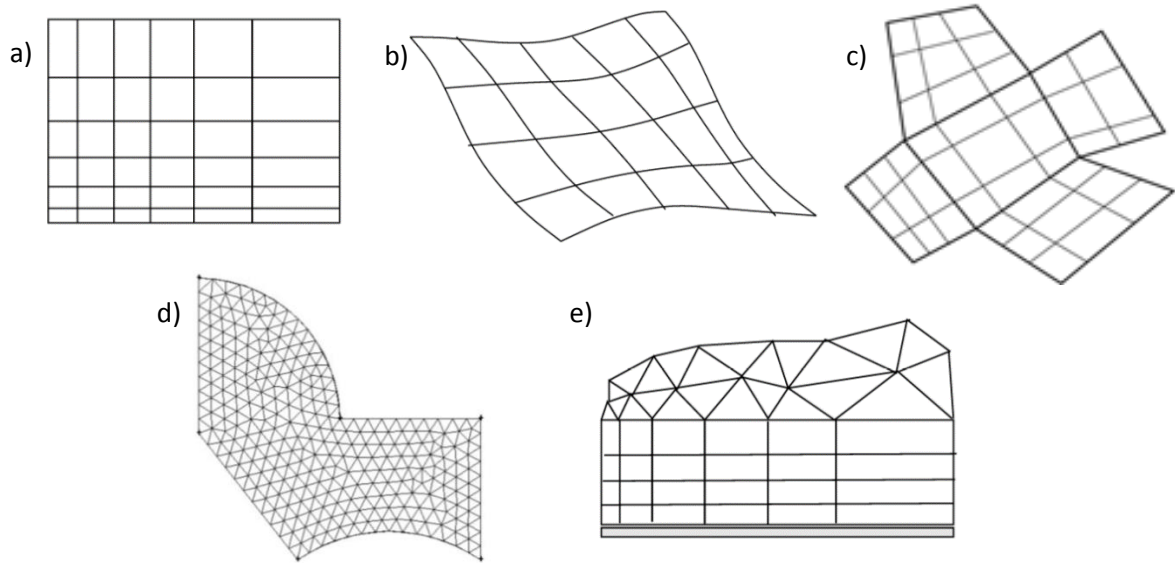
El primer paso es definir el modelo matemático y los principios de conservación que se van a aplicar. Las ecuaciones obtenidas de los principios de conservación se deben simplificar en algunos casos, por ejemplo, usando variables de semejanza para transformar el sistema de coordenadas, aproximaciones del flujo, y simplificación de las ecuaciones.

EL objetivo es que el modelo matemático desarrollado sea capaz de reproducir el fenómeno físico estudiado.

2.2 MALLADO ESPACIAL

El siguiente paso es el mallado que consiste en la división del dominio de interés en elementos o celdas; existen diferentes tipos de mallas que permiten adaptarse a una gran variedad de geometrías, algunas de las más comunes se encuentran en la Figura 2.

Figura 2. Algunos tipos de mallas. a) Malla estructurada ortogonal. b) Malla estructurada ajustada al cuerpo. c) Malla estructurada en bloque. d) Malla no estructurada. e) Malla híbrida.



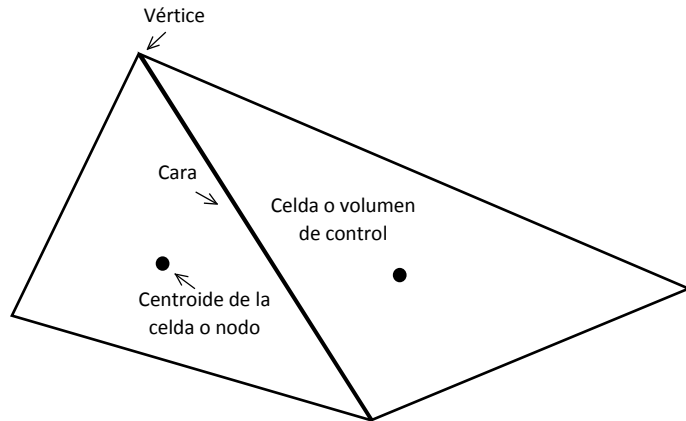
Fuente: MURTHY, J. Y. Numerical Methods in Heat, Mass, and Momentum Transfer.

Este trabajo se centra específicamente en el mallado no estructurado; en este tipo de malla se usan volúmenes de control con la forma de polígonos u otras figuras simples (usualmente triángulos y cuadriláteros), cada uno se encuentra conectado a un número arbitrario de vértices. Debido a su flexibilidad de forma se logra fácilmente la adaptación de la malla a cualquier geometría, por esta razón este tipo de malla es la más utilizada en problemas con geometrías complejas. En el caso del problema de estudio en este trabajo, esta malla permite ajustarse a la geometría inclinada del dominio.

Existen dos tipos de esquemas para definir el lugar en que se va a guardar el valor de las variables en la malla [3]: el esquema basado en los vértices (Vertex-Based Scheme), en el cual las variables son ubicadas en los vértices de las celdas; y el esquema basado en las celdas (Cell-Based Scheme), en el cual los nodos en donde se ubican las variables están ubicados en el centroide de la celda (Fig. 3).

En este trabajo se utiliza el esquema centrado en las celdas, debido a que es el más utilizado para el método de volúmenes finitos.

Figura 3. Terminología de malla.



2.3 DISCRETIZACIÓN DE LAS ECUACIONES

La clave del MVF es la integración de las ecuaciones de conservación sobre el volumen de control para producir una ecuación discretizada en el nodo de la forma:

$$a_P \phi_P = \sum_{nb} a_{nb} \phi_{nb} + b \quad (\text{Ec. 2.1})$$

Donde:

P es el volumen de control actual.

a_P es el coeficiente del volumen de control actual.

ϕ_P es el valor de la variable dependiente ϕ en el centroide de la celda P .⁶

$nb = 1, 2, \dots, M$, con M igual al número de vecinos de la celda P .⁷

a_{nb} es el coeficiente del volumen de control vecino.

b es la suma de los términos independientes de la ecuación.

⁶ Dado que se tomó en cuenta que el valor representativo de la variable en la celda corresponde al valor de la variable en el centroide de la misma.

⁷ En este trabajo se utilizan mallas con celdas triangulares únicamente, luego $M=3$.

La ecuación se repite para cada uno de los nodos, con el objetivo de llegar a un sistema de ecuaciones algebraicas de la forma.

$$A\phi = B \quad (\text{Ec. 2.2})$$

Donde A es una matriz de coeficientes, ϕ es el vector solución que se desea obtener, el cual contiene los valores calculados de la variable y B es un vector de términos independientes de las ecuaciones.

2.4 SOLUCIÓN DE LAS ECUACIONES

Las ecuaciones resultantes de la discretización puede ser lineales (i.e. los coeficientes son independientes de ϕ) o no lineales (i.e. los coeficientes son función de ϕ). Esto es un aspecto importante a la hora de escoger el camino de solución que se va a utilizar, ya que para las ecuaciones no lineales no se puede garantizar una única solución, esta puede depender de factores como los valores iniciales asumidos y el método de solución.

Las técnicas de solución son independientes del método de discretización y pueden ser clasificados en métodos directos y métodos iterativos.

En la actualidad existen programas y librerías que contienen los algoritmos para varios métodos de solución, y constantemente se modifican y actualizan conforme avanzan las investigaciones en estos temas.

En este proyecto se ha seleccionado el PETSc (Portable, Extensible Toolkit for Scientific Computation) [22]. Este es un conjunto de estructuras de datos y rutinas que incluye una serie de métodos de solución para ecuaciones lineales y no lineales que se pueden aplicar directamente al código. Debido a que se va a hacer uso de esta herramienta, no se hará énfasis en el proceso de cálculo que conlleva cada método de solución⁸.

⁸ En el Anexo A se presenta una breve descripción de algunos de los métodos que se utilizaron en este trabajo.

2.4.1 Ecuaciones Lineales

Los sistemas de ecuaciones lineales pueden ser resueltos por métodos directos o métodos iterativos. Los métodos directos resuelven las ecuaciones mediante procedimientos del algebra lineal, estos pueden arrojar resultados más exactos en algunos casos, sin embargo, no son eficientes respecto al tiempo requerido para la solución y la demanda de memoria computacional, especialmente en problemas complejos que requieren una gran cantidad de cálculos; por esta razón no son muy utilizados en aplicaciones de CFD y no se tendrán en cuenta como opción de método de solución para el problema en estudio.

En cuanto a los métodos iterativos, la idea básica es asumir un vector solución inicial, y a partir de este se calcula un vector solución corregido basado en alguna estrategia para reducir la diferencia entre el vector de solución inicial y el actual; luego, el procedimiento se repite hasta alcanzar la convergencia.

Al utilizar métodos iterativos se debe tener en cuenta que el camino de solución influye en el resultado encontrado, estos no convergen para todos los sistemas de ecuaciones. El número requerido de iteraciones para alcanzar la convergencia depende de:

- El predominio diagonal de los coeficientes en la matriz; si aumenta el predominio diagonal, el número de iteraciones disminuye.
- El método de iteración usado. Es posible que la solución converja para ciertos métodos y para otros no.
- El vector de solución inicial.
- El criterio de convergencia especificado.

Para los métodos de solución de ecuaciones lineales, PETSc permite la combinación de un método de subespacio Krylov y un preconditionador, esta opción es uno de los avances más modernos en la solución iterativa de ecuaciones lineales. Una explicación más detallada de este tema es presentado en el anexo A.

2.4.2 Ecuaciones no lineales

La solución de problemas no lineales de gran escala acopla muchas facetas de la ciencia computacional y demanda estrategias de solución robustas y flexibles. PETSc proporciona una gran librería con métodos de solución para este tipo de ecuaciones.

Una forma alternativa de resolver este tipo de problemas es reordenar la ecuación para poder tratarla como una ecuación lineal que se resuelve por métodos iterativos. Más adelante se verá que el sistema de ecuaciones a resolver para los problemas que se estudian en este trabajo resultan ser no lineales, esta alternativa resulta más conveniente, y será la utilizada para llevar a cabo la solución.

2.5 POST-PROCESAMIENTO

El post-procesamiento incluye todas las operaciones a realizar después de haber obtenido la solución al sistema de ecuaciones, dentro de esta categoría se incluye la generación de tablas y gráficas que representen los resultados obtenidos del problema. En el presente trabajo se utilizará la plataforma ParaView [23] como herramienta para realizar los gráficos y el análisis de los datos obtenidos en las simulaciones.

2.6 CARACTERÍSTICAS DE LOS MÉTODOS NUMÉRICOS

Al utilizar métodos numéricos es necesario evaluar ciertas características para verificar si el algoritmo desarrollado generará una solución satisfactoria. Las características a evaluar son las siguientes [3]:

1. Consistencia: Un método numérico es consistente si se puede obtener la ecuación original de la ecuación discretizada al disminuir el tamaño de los volúmenes de control y el avance en el tiempo.

La diferencia entre la ecuación discretizada y la ecuación diferencial parcial es el error de truncamiento. El error de truncamiento debe tender a desaparecer cuando la malla se refine.

2. **Precisión:** Esta característica determina que tan correcta es la solución encontrada con respecto a la solución exacta; la precisión se ve afectada por los errores de discretización, el error debido al cálculo iterativo, y el error de truncamiento.
3. **Estabilidad:** Un esquema numérico usado para la solución de una ecuación discretizada es estable si el error permanece acotado, es decir si al pasar de una iteración a otra o de un tiempo a otro en una solución de avance, este permanece constante o decrece.

Esta es una propiedad del método de solución. Existen métodos de análisis de estabilidad, sin embargo, su aplicación suele ser de gran dificultad en problemas no lineales; razón por la cual no se estudiarán en este trabajo.

4. **Convergencia:** Para que un método numérico sea definido como convergente, debe ser consistente y estable.

Puede hablarse de convergencia en dos casos: cuando un método iterativo obtiene una solución al sistema de ecuaciones; o cuando la solución del sistema llega al punto donde permanece invariante con respecto al refinamiento de la malla.

3. MALLADO ESPACIAL DEL DOMINIO

La división física del volumen en celdas se realizó utilizando la plataforma Salome [21] que permite realizar un mallado automático de la geometría.

Salome es un software de uso libre que provee una plataforma genérica para el pre- y pos-procesamiento de simulaciones numéricas (Fig. 4), a continuación se dará una breve explicación del proceso que se lleva a cabo para crear la malla no estructurada de dos dimensiones que se requiere para los problemas que se estudian en el presente trabajo.

Figura 4. Plataforma Salome.



3.1 CONSTRUCCIÓN DE LA GEOMETRÍA

Para empezar se crea un nuevo estudio y se ingresa al módulo *Geometry*.

Se crea el croquis de la figura **Sketch_1** (Fig. 5): (menú *New Entity/Basic/2D Sketch*)

Se crea el volumen del dominio 2D **Face_1**: (menú *New Entity/Build/Face*)

En el problema del canal con expansión resulta conveniente densificar la malla en la sección en que se produce la zona de recirculación del flujo; en este caso es necesario dividir la geometría en tres secciones y crear un volumen compuesto.

Se crean las 3 secciones **Face_1**, **Face_2**, **Face_3**.

Se seleccionan las 3 caras y se crea el volumen del dominio 2D compuesto **Compound_1** (Fig. 6): (menú *New Entity/Build/Compound*)

Figura 5. Construcción de un croquis 2D.

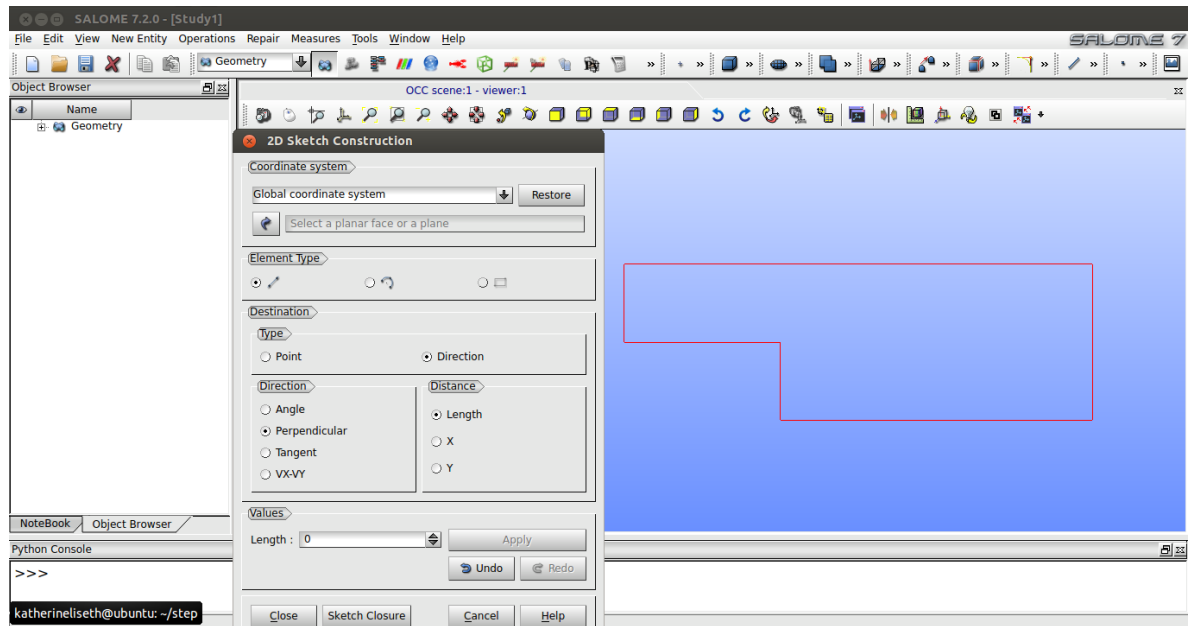
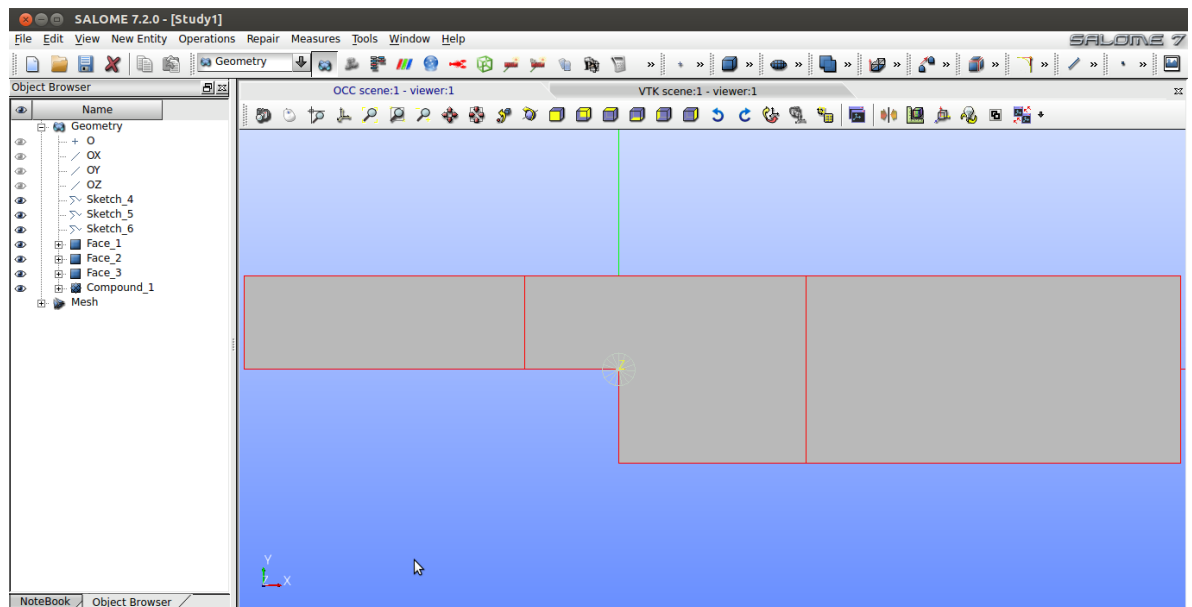


Figura 6. Geometría compuesta en 2D.



3.2 CREACIÓN DE LA MALLA

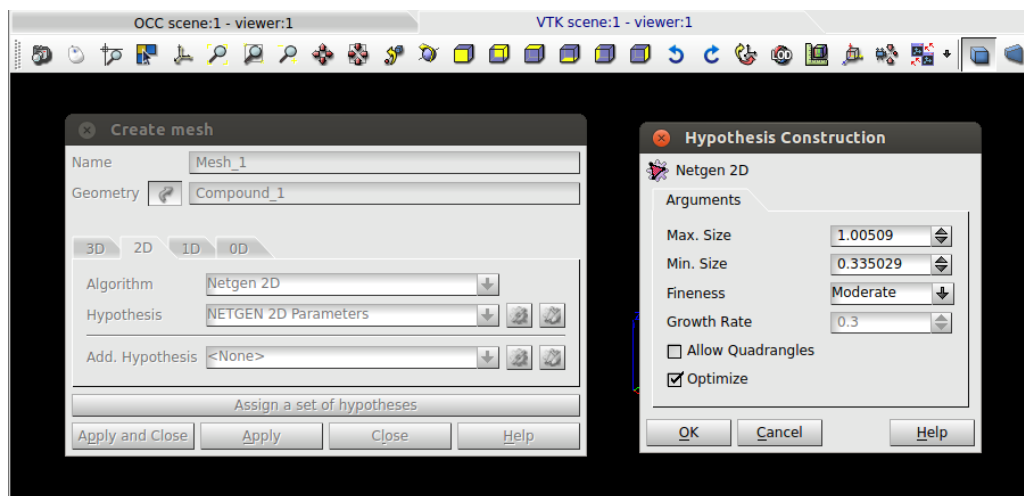
A continuación se ingresa al módulo *Mesh*.

Se selecciona el volumen compuesto y se crea la malla (menú *Mesh/Create Mesh*)

El comando *Create Mesh* permite seleccionar una serie de algoritmos para la creación automática de la malla, se deben seleccionar un algoritmo y su hipótesis para los elementos 2D y otro para los elementos 1D.

Para los elementos 2D (Fig 7) se escoge el algoritmo *NETGEN 2D*, y la hipótesis *NETGEN 2D Parameters*; esta permite seleccionar la longitud mínima y máxima de los segmentos que componen los triángulos de la malla; también es posible escoger entre una escala de refinamiento de muy fina a basta.

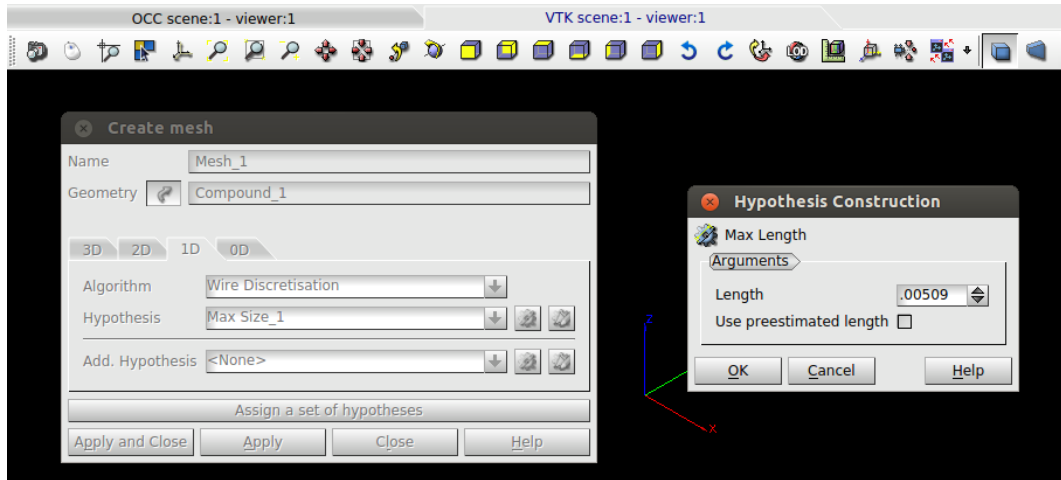
Figura 7. Parámetros 2D para crear la malla.



Para los elementos 1D (Fig. 8) se escoge el algoritmo *Wire Discretization* y la hipótesis *Max Size*; esta permite seleccionar la longitud máxima de los segmentos en los que se dividen los ejes geométricos.⁹

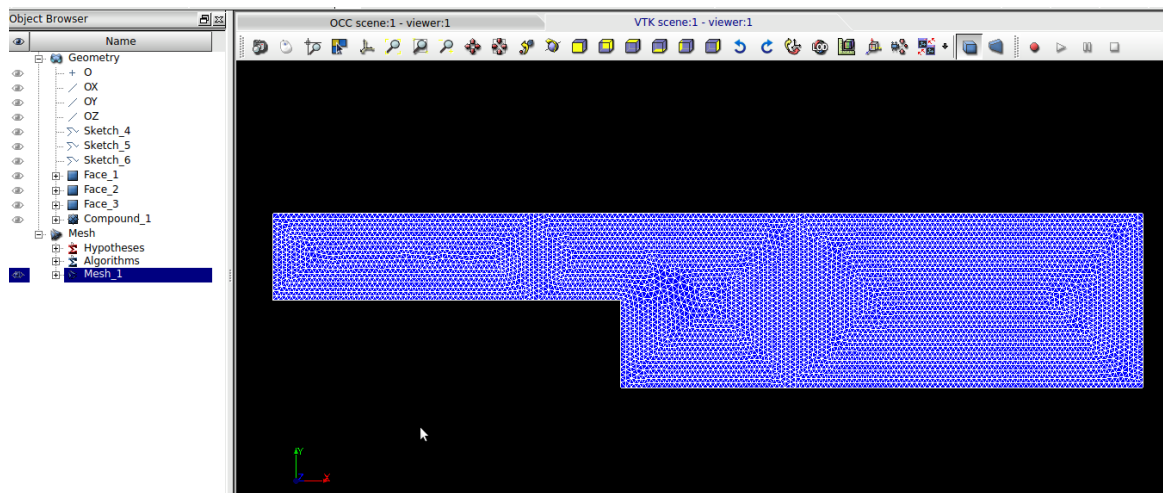
⁹ La forma explicada de creación de malla es la opción utilizada para el mallado del dominio en el presente trabajo; sin embargo, es solo una de las muchas posibilidades que tiene la plataforma Salome para este propósito.

Figura 8. Parámetros 1D para crear la malla.



Una vez se hayan especificado los parámetros se selecciona *apply* y se computa la malla creada; el resultado es una malla de densidad relativamente uniforme para todo el dominio (Fig. 9).

Figura 9. Malla uniforme en geometría compuesta.



En el problema de estudio se quiere que únicamente la zona de recirculación tenga esa densidad, y las otras secciones pueden establecerse con una densidad menor, esto se logra así:

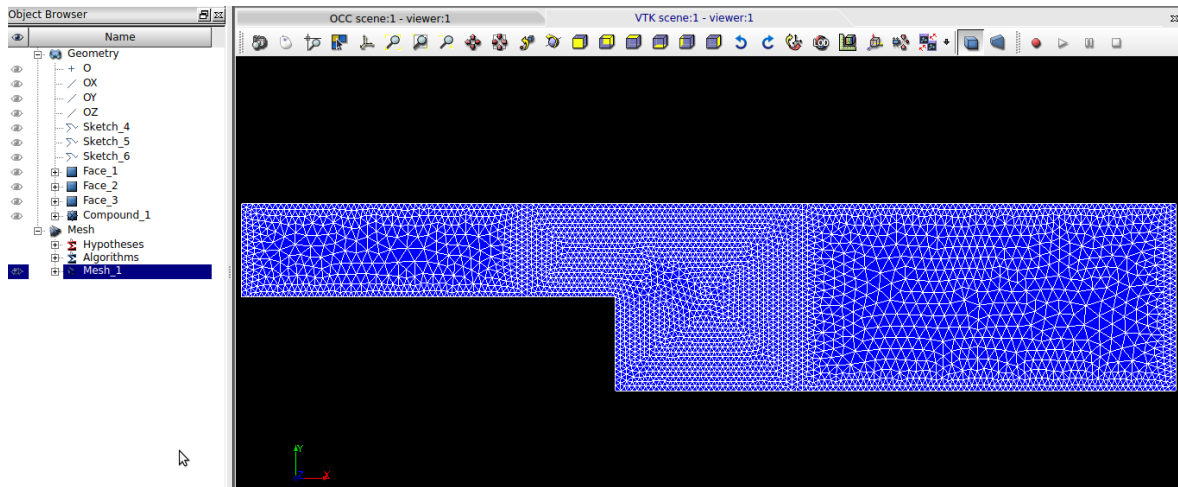
Se selecciona la malla creada y se crea una submalla de la misma (menú *Mesh/Create Submesh*):

Se debe seleccionar un elemento de la sección donde se quiere crear la submalla y se asignan los algoritmos e hipótesis de la misma forma que se hizo con la malla inicial, a excepción que en este caso la longitud máxima seleccionada en la hipótesis 2D será mayor que la anterior; la longitud mínima en la hipótesis 2D y la longitud de la hipótesis 1D debe ser la misma que la malla inicial para que los elementos coincidan en las fronteras de las secciones.

De igual forma se crea una nueva submalla para la otra sección.

Finalmente se obtiene una nueva malla con una mayor densidad en la zona que se requiere (Fig. 10)

Figura 10. Malla refinada en geometría compuesta.



3.3 EXPORTAR LA INFORMACIÓN DE LA MALLA

Una vez obtenida la malla es necesario exportarla a un formato que pueda leer el código computacional desarrollado para la simulación. En este caso el archivo que

se exporta del programa es de carácter .dat y tiene la estructura presentada en la figura 11.

Figura 11. Estructura del archivo que se exporta de Salome.

Sección 1	n_v	n_e			
	1	v_x	v_y	v_z	
Sección 2	2	v_x	v_y	v_z	
	
Sección 3	n_v	v_x	v_y	v_z	
	1	102	id_{v1}	id_{v2}	
Sección 4	2	102	id_{v1}	id_{v2}	
	
Sección 4	.	203	id_{v1}	id_{v2}	id_{v3}
	.	203	id_{v1}	id_{v2}	id_{v3}
Sección 4	
	n_e	203	id_{v1}	id_{v2}	id_{v3}

La primera línea da la información del número de vértices y el número de elementos (1D y 2D) existentes en la malla, respectivamente.

La segunda sección indica las coordenadas de cada uno de los vértices, el número en la primera columna corresponde al id (número de identificación) de determinado vértice.

La tercera y cuarta sección establece los vértices que corresponden a cada uno de los elementos; la tercera sección corresponde a los elementos 1D (identificados por el número 102 en la segunda columna), y la cuarta sección a los elementos 2D (identificados por el número 203 en la segunda columna)

4. ESTRUCTURA DEL CÓDIGO DESARROLLADO

Antes de explicar el fundamento matemático y la discretización de las ecuaciones se explicará brevemente la estructura del código creado.

El código computacional¹⁰ se realizó en lenguaje C++ usando las librerías de PETSc¹¹. Se divide en una serie de clases que contienen funciones y variables que se enlazan para llevar a cabo la simulación de los problemas en estudio. Es importante aclarar que, por simplicidad, el desarrollo del código se hizo únicamente para celdas triangulares (2D), luego no es posible ingresar mallas con celdas de geometrías diferentes.

4.1 ESTRUCTURA DE LAS CLASES

Para crear una clase en C++, se deben crear dos archivos: un archivo de encabezado con el nombre de la clase de extensión .h y un archivo de código fuente con el nombre de la clase de extensión .cpp.

En el archivo de encabezado se declaran las variables y funciones de la clase, y tiene la siguiente estructura:

```
//Archivo de encabezado difusivo.h
class difusivo
{
    private:
        PetscErrorCode ierr;
        int i,j;
        PetscScalar value[3];
        PetscScalar *condf;
```

¹⁰ El código computacional completo con todos los archivos de las clases se presenta en el Anexo C.

¹¹ En el Anexo B se presenta una explicación detallada de las rutinas de PETSc que se utilizaron en el código desarrollado.

```

        const PetscScalar *area;
    public:
        PetscErrorCode  calcular_D(double  gamma,geom  b,Mat
        *matriz_difusivo,Vec  *vec_difffront);
};

```

Las variables son declaradas de tipo `private` que significa que solo serán modificadas por el objeto de esta clase; las variables listadas en el ejemplo corresponden, en el orden mostrado a: variable de error de Petsc¹², variables de tipo entero utilizadas como contadores, variable usada para realizar los cálculos en la función y guardar los valores en vectores o matrices, variable para guardar valores extraídos de un vector creado anteriormente, variable para guardar valores extraídos de una fila de una matriz creada anteriormente¹³.

Las funciones de la clase se declaran de tipo `public` y todas devuelven el valor de la variable de error de Petsc.

En el archivo de código fuente se escribe la implementación de las funciones de la clase, tiene la siguiente estructura:

```

//Archivo de código fuente difusivo.cpp
PetscErrorCode  difusivo::calcular_D(double  gamma,geom  b,Mat
*matriz_difusivo,Vec  *vec_difffront)
{
    //Implementación de la función
    ...
    return ierr;
}

```

¹² El uso de esta variable se explica en el Anexo B.

¹³ Básicamente estos son los tipos de variables utilizadas en todas las clases desarrolladas.

4.2 CLASES DESARROLLADAS

Las clases creadas en este trabajo pueden clasificarse en cuatro tipos:

Tipo I: son clases que serán utilizadas únicamente al comienzo del programa en la función `main`, los objetos creados de estas clases serán utilizados por casi toda las funciones del programa, y los elementos que hacen parte de ellos no serán modificados en ningún momento. Las clases de este tipo son: `geom` y `frontera`.

Tipo II: son aquellas que se encargan de calcular los términos de la ecuación a resolver: términos difusivos, convectivos e independientes; estas clases no son llamadas desde la función `main`, son llamadas directamente por la clase que lleva a cabo la solución. Las clases de este tipo son: `difusivo`, `gradiente`, `convectivo` y `termindep`.

Tipo III: en estas clases se encuentra el algoritmo de solución del problema, cada una de estas clases corresponde a un problema distinto, por esta razón, solo una de ellas será utilizada en la simulación dependiendo del problema que se requiera solucionar. Las clases de este tipo son: `solestable`, `solexplicito`, `solimplicito` y `fractional`.

Tipo IV: esta clase es llamada únicamente al final de la clase solución y se encarga de exportar la solución calculada al formato de archivo necesario para el post.-procesamiento. La clase de este tipo es: `resultados`.

4.3 DESCRIPCIÓN GENERAL

A continuación se da una breve explicación de las clases `geom`, `frontera` y `resultados`, las demás clases serán explicadas en los siguientes capítulos en las secciones de implementación del código. También se presenta el esquema general de la función `main`.

4.2.1 Clase geom

La clase `geom` se encarga de obtener todos los elementos geométricos necesarios para el programa, para ello cuenta con dos funciones:

- `leerdatos(char *malla)`: Se encarga de leer y guardar la información de la malla presente en el archivo exportado de Salome; requiere de un argumento que corresponde al nombre del archivo, el cual se designa en la función `main`.
- `calcular()`: Utiliza los valores obtenidos del archivo de malla para realizar todos los cálculos correspondientes y obtener los elementos geométricos que se necesitan en el programa: coordenadas de nodos, identificación de celdas vecinas, volumen de las celdas, vectores de áreas, vectores de dirección.

4.2.2 Clase frontera

La clase `frontera` se encarga de establecer las condiciones y los valores de frontera que son proporcionados en la función `main`, en cada uno de los volúmenes de control que contienen una cara frontera.

Hay dos opciones para las condiciones de frontera: un valor de 1 corresponde a una condición de frontera de tipo Dirichlet; un valor de -1 corresponde a una condición de frontera tipo Neumann.

El programa admite tres tipos de geometrías diferentes para la asignación de la frontera, para cada una existe una función en la clase.

- `leerR(geom gm, double *cf, double *vf)`: Esta función está diseñada para un dominio rectangular con cuatro fronteras perceptibles; requiere de tres argumentos: un objeto de la clase `geom`, y dos arrays de tipo `double` que corresponden a la condición de frontera y el valor de ϕ para cada una de las cuatro fronteras existentes

- `leerBFS (geom gm, double *cf, double *vf)`: Esta función está diseñada para la geometría del problema del canal con expansión (recto e inclinado); requiere de los mismos argumentos que la función anterior,
- `leerSH (geom gm)`: Esta función está diseñada específicamente para el problema conocido Smith-Hutton¹⁴, cuyos valores en las fronteras son siempre los mismos, razón por la cual son establecidos directamente desde esta función y no en la función `main`; requiere de un solo argumento que corresponde a un objeto de la clase `geom`.

Dependiendo del problema de estudio, se escoge una de las tres funciones mencionadas.

4.2.3 Clase resultados

La clase `resultados` se encarga de exportar la solución obtenida a un archivo de carácter `.vtk`, de modo que pueda ser leído por la plataforma ParaView para realizar el post-procesamiento de la solución. Esto lo realiza mediante la siguiente función:

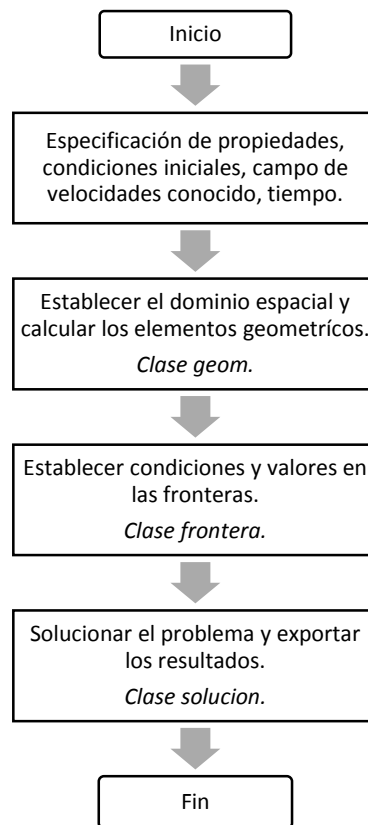
- `imprimir (geom gm, Vec vec_solucionu, Vec vec_solucionv, Vec vec_solucionp)`: Requiere de cuatro argumentos que corresponden a un objeto de la clase `geom`, dos vectores que contienen las componentes del campo de velocidad de la solución, y un vector que contiene el campo escalar de la solución.

4.2.4 Función main

La función `main` es el cuerpo principal del programa, su distribución se muestra en la figura 12.

¹⁴ La descripción de este problema se encuentra más adelante en el capítulo 6.

Figura 12. Diagrama de flujo de la función main.



En el último paso, la clase solución hace referencia a una de las clases de tipo III mencionadas anteriormente, la estructura de estas clases se explicará en los siguientes capítulos conforme se haga referencia a cada problema.

5. DIFUSIÓN-CONVECCIÓN EN ESTADO ESTABLE

En este capítulo se muestra como son discretizados los términos de la ecuación de transporte para luego ser utilizados en el problema de flujo. Se obtiene el sistema de ecuaciones discretas para el problema de difusión-convección en estado estable y se describen los pasos para encontrar la solución; además, se hace una breve explicación de su implementación en el código computacional.

Inicialmente se considerará el fenómeno de difusión-convección en estado estable en un dominio bidimensional; a la ecuación general de transporte (Ec. 1.4) se aplican las simplificaciones descritas en la sección 1.2.1 y se descarta el término transitorio y el término fuente¹⁵; luego la ecuación resultante a discretizar consiste únicamente del término difusivo y el término convectivo.

$$\nabla \cdot (\rho \mathbf{V}\phi) = \nabla \cdot (\Gamma \nabla \phi) \quad (\text{Ec. 5.1})$$

El campo de velocidades $\mathbf{V} = u\mathbf{i} + v\mathbf{j}$ es conocido en todo el dominio.

Es posible determinar un vector $\mathbf{J} = J_x\mathbf{i} + J_y\mathbf{j}$ que represente el flujo de difusión convección, dado por:

$$\mathbf{J} = \rho \mathbf{V}\phi - \Gamma \nabla \phi \quad (\text{Ec. 5.2})$$

De modo que la ecuación pueda escribirse como:

$$\nabla \cdot \mathbf{J} = 0 \quad ^{16} \quad (\text{Ec. 5.3})$$

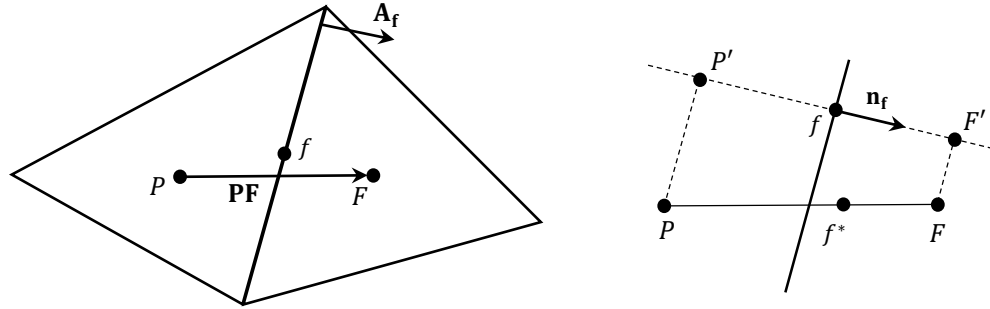
El proceso de discretización comienza integrando respecto al volumen P (Fig. 5.1).

$$\int_{dV_P} \nabla \cdot \mathbf{J} dV = 0 \quad (\text{Ec. 5.4})$$

¹⁵ El término fuente se descarta debido a que su discretización no es requerida para el problema de evaluación de flujo que se estudia en este trabajo.

¹⁶ Dado que ρ y Γ son constantes esta resulta ser una ecuación de Laplace.

Figura 13. Detalle de malla no estructurada y parámetros geométricos.



Aplicando el teorema de la divergencia, siendo \mathbf{J} el campo vectorial con derivadas parciales de primer orden continuas, se obtiene:

$$\int_A \mathbf{J} \cdot d\mathbf{A} = 0 \quad (\text{Ec. 5.5})$$

Esta representa la integral sobre la superficie de control A del volumen de control.

La primera suposición que se tiene en cuenta, es que \mathbf{J} puede ser representado por el valor en el centroide de la cara del volumen de control \mathbf{J}_f , teniendo esto en cuenta, de la Ec. 5.5 se obtiene que:

$$\sum_f \mathbf{J}_f \cdot \mathbf{A}_f = 0 \quad (\text{Ec. 5.6})$$

La sumatoria se realiza sobre todas las caras que pertenecen al volumen de control.

El vector de área está dado por: $\mathbf{A}_f = A_x \mathbf{i} + A_y \mathbf{j}$

El transporte de la variable ϕ en la cara f se puede escribir como:

$$\mathbf{J}_f \cdot \mathbf{A}_f = \rho \mathbf{V}_f \cdot \mathbf{A}_f \phi_f - \Gamma (\nabla \phi)_f \cdot \mathbf{A}_f \quad (\text{Ec. 5.7})$$

En el primer término, el término convectivo, es posible observar que el valor que acompaña la variable ϕ_f corresponde al flujo másico que pasa por la cara f , y se definirá como:

$$F_f = \rho \mathbf{V}_f \cdot \mathbf{A}_f \quad (\text{Ec. 5.8})$$

Además, este término requiere evaluar el valor de ϕ en las caras, para lo cual es necesario de un esquema matemático de aproximación, el esquema utilizado es el de interpolación aguas-arriba (Upwind), el cual establece el valor de ϕ_f como el valor de ϕ aguas arriba, es decir:

$$\begin{aligned}\phi_f &= \phi_P \text{ si } F_f \geq 0 \\ \phi_f &= \phi_F \text{ si } F_f < 0\end{aligned}\quad (\text{Ec. 5.9})$$

Se utiliza este esquema debido a que resulta fácil de implementar y no presenta restricciones de estabilidad como el esquema de diferencias centradas [3].

Para la evaluación del segundo término, el término difusivo, se utilizó el criterio del gradiente directo [6], en este, se define el producto punto entre el gradiente de ϕ y el área como se muestra a continuación.

$$\Gamma(\nabla\phi)_f \cdot \mathbf{A}_f = \Gamma \left(\frac{\partial\phi}{\partial n} \right)_f A_f = \Gamma \frac{\mathbf{A}_f \cdot \mathbf{A}_f}{\mathbf{PF} \cdot \mathbf{A}_f} (\phi_{F'} - \phi_{P'}) \quad (\text{Ec. 5.10})$$

Siendo \mathbf{PF} el vector que une los centroides de las celdas P y F, y $\phi_{F'}$ y $\phi_{P'}$ son las proyecciones de los valores de ϕ en los centroides de los volúmenes de control sobre el vector normal a la cara \mathbf{n}_f que pasa por el centroide de la cara f (Fig. 13); estos valores pueden ser aproximados de la siguiente forma:

$$\phi_{P'} = \phi_P + \nabla\phi_P \cdot \mathbf{PP}' \quad \text{y} \quad \phi_{F'} = \phi_F + \nabla\phi_F \cdot \mathbf{FF}' \quad (\text{Ec. 5.11})$$

De modo que el flujo difusivo en la cara se puede reescribir como:

$$\Gamma(\nabla\phi)_f \cdot \mathbf{A}_f = \Gamma \frac{\mathbf{A}_f \cdot \mathbf{A}_f}{\mathbf{PF} \cdot \mathbf{A}_f} (\phi_F - \phi_P) + \Gamma \frac{\mathbf{A}_f \cdot \mathbf{A}_f}{\mathbf{PF} \cdot \mathbf{A}_f} (\nabla\phi_F \cdot \mathbf{FF}' - \nabla\phi_P \cdot \mathbf{PP}') \quad (\text{Ec. 5.12})$$

El segundo término de la ecuación se denotará como el gradiente secundario de la difusión \mathcal{S}_f ¹⁷.

¹⁷ Es posible ver que en mallas ortogonales este término se hace cero, y por tanto el flujo difusivo depende únicamente del primer término de la ec. 5.12.

$$S_f = \Gamma \frac{\mathbf{A}_f \cdot \mathbf{A}_f}{\mathbf{PF} \cdot \mathbf{A}_f} (\nabla \phi_F \cdot \mathbf{FF}' - \nabla \phi_P \cdot \mathbf{PP}') \quad (\text{Ec. 5.13})$$

Así mismo se define:

$$D_f = \Gamma \frac{\mathbf{A}_f \cdot \mathbf{A}_f}{\mathbf{PF} \cdot \mathbf{A}_f} \quad (\text{Ec. 5.14})$$

5.1 CÁLCULO DEL GRADIENTE

El cálculo del gradiente está basado en el teorema del gradiente [3][6], que establece que para un volumen cerrado ΔV_P , rodeado por una superficie A :

$$\int_{\Delta V_P} \nabla \phi \, dV = \int_A \phi \, d\mathbf{A} \quad (\text{Ec. 5.15})$$

Nuevamente, asumiendo que el gradiente en el volumen de control ΔV_P es constante, y que el valor de ϕ en las caras está definido por su valor en el centroide de la misma, se tiene que:

$$\nabla \phi_P = \frac{1}{V_P} \sum_f \phi_f \mathbf{A}_f \quad (\text{Ec. 5.16})$$

Para poder utilizar la ecuación 5.16 es necesario conocer el valor de ϕ_f , existen varios criterios de interpolación dedicados a este fin. En este trabajo se utilizó el criterio denotado como I1 propuesto en [6]; este consiste en realizar una interpolación lineal de los valores en los nodos de las celdas en un punto de la línea del vector \mathbf{PF} , que se denotará como f^* (Fig. 13); de modo que:

$$\phi_f = \phi_{f^*} = (1 - \alpha_f) \phi_P + \alpha_f \phi_F \quad (\text{Ec. 5.17})$$

El factor de interpolación α_f es la relación entre las distancias de Pf^* y PF ; de modo que el cálculo de ϕ_f depende del criterio utilizado para definir la posición de f^* ; en

esta formulación, la posición de f^* está definida de tal forma que la distancia de f^* a f sea mínima. En ese caso:

$$\alpha_f = \frac{\mathbf{P}f \cdot \mathbf{P}f}{\mathbf{P}f \cdot \mathbf{P}f} \quad (\text{Ec. 5.18})$$

5.2 ECUACIÓN DISCRETA

La ecuación discreta de difusión-convección que se obtiene a partir de la Ec. 5.1 es:

$$\sum_{nb} (\text{MAX}(F_f, 0) + D_f) \phi_P - \sum_{nb} (\text{MAX}(-F_f, 0) + D_f) \phi_{nb} - \sum_{nb} (\mathcal{S}_f)_{nb} = 0 \quad (\text{Ec. 5.19})$$

Esta ecuación es de la forma (Ec. 2.1):

$$a_P \phi_P = \sum_{nb} a_{nb} \phi_{nb} + b$$

Donde,

$$a_{nb} = \text{MAX}(-F_f, 0) + D_f, \text{ con } nb = 1, 2, 3$$

$$a_P = \sum_{nb} a_{nb} + \sum_f F_f$$

$$b = \sum_{nb} (\mathcal{S}_f)_{nb}$$

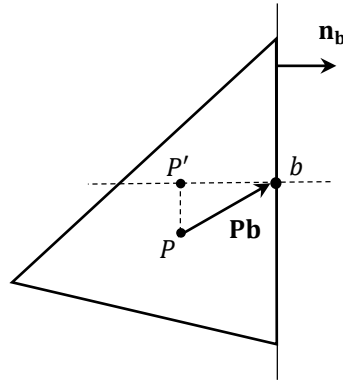
La ecuación discreta se aplica a cada uno de los volúmenes de control del dominio que no tengan frontera.

Un volumen de control frontera es aquel que tiene una cara perteneciente a la frontera del dominio (Fig. 14). Al igual que antes, los valores discretos de la variable ϕ son guardados en el centroide de la celda, y, adicionalmente se guarda un nuevo valor discreto de ϕ en el centroide de la cara frontera.

En la figura 14 es posible ver que una de las caras de la celda P pertenece a la frontera del dominio, esta cara se denotará con la letra b y tiene la característica

que permite guardar un valor conocido de la magnitud ϕ en el centroide de la misma denotado como ϕ_b .

Figura 14. Parámetros geométricos en un volumen de control frontera.



El flujo \mathbf{J}_b en la cara b está dado por:

$$\mathbf{J}_b \cdot \mathbf{A}_b = \rho \mathbf{V}_b \cdot \mathbf{A}_b \phi_b - \Gamma (\nabla \phi)_b \cdot \mathbf{A}_b \quad (\text{Ec. 5.20})$$

En este caso, la ecuación 5.19 debe modificarse según el tipo de frontera que se tenga. En el capítulo 1 se mencionaron tres tipos de fronteras comunes, la discretización se realizará únicamente para dos de ellos:

- Frontera Dirichlet

Como se mencionó anteriormente, en este tipo de frontera se conoce el valor de ϕ_b .

Para evaluar los flujos difusivos en la frontera es necesario, primero, determinar el valor de $(\nabla \phi)_b$ con el fin de poder establecer el gradiente secundario en la frontera; el criterio que se usará es asumir que $(\nabla \phi)_b = (\nabla \phi)_P$, de modo que el gradiente secundario en la frontera es:

$$S_b = \Gamma \frac{\mathbf{A}_b \cdot \mathbf{A}_b}{\mathbf{Pb} \cdot \mathbf{A}_b} (\nabla \phi_P \cdot \mathbf{FF}' - \nabla \phi_P \cdot \mathbf{PP}') \quad (\text{Ec. 5.21})$$

En cuanto al término convectivo el valor de ϕ en la cara es $\phi_f = \phi_b$, luego no es necesario utilizar el esquema de aproximación.

Con estos valores se obtiene la ecuación discreta:

$$\sum_{nb} (MAX(F_f, 0) + D_f) \phi_P + D_b \phi_P - \sum_{nb} (MAX(-F_f, 0) + D_f) \phi_{nb} + F_b \phi_b - D_b \phi_b - \sum_{nb} (\mathcal{S}_f)_{nb} - \mathcal{S}_b = 0 \quad (\text{Ec. 5.22})$$

Y los términos para la ecuación 2.1 son:

$$a_{nb} = MAX(-F_f, 0) + D_f$$

$$a_b = -F_b + D_b$$

$$a_P = \sum_{nb} a_{nb} + \sum_f F_f + a_b + F_b$$

$$b = \sum_{nb} (\mathcal{S}_f)_{nb} + a_b \phi_b + \mathcal{S}_b$$

- Frontera Neumann

En esta condición de frontera el valor conocido es $q_b = (\nabla \phi)_b \cdot \mathbf{n}_b$.

En cuanto al término convectivo, este tipo de frontera es usualmente usada cuando se tiene un flujo de salida o una pared, es decir: $\mathbf{V}_b \cdot \mathbf{A}_b \geq 0$; por esta razón es posible utilizar el esquema Upwind para establecer el valor de ϕ_b en el término convectivo:

$$\phi_b = \phi_P \quad (\text{Ec. 5.23})$$

Con estos valores se obtiene la ecuación discreta:

$$\sum_{nb} (MAX(F_f, 0) + D_f) \phi_P - \sum_{nb} (MAX(-F_f, 0) + D_f) \phi_{nb} - \sum_{nb} (\mathcal{S}_f)_{nb} - \Gamma q_b A_b + F_b \phi_P = 0 \quad (\text{Ec. 5.24})$$

Y los términos para la ecuación 2.1 son:

$$a_{nb} = MAX(-F_f, 0) + D_f$$

$$a_p = \sum_{nb} a_{nb} + \sum_f F_f + F_b$$

$$b = \sum_{nb} (\mathcal{S}_f)_{nb} + \Gamma q_b A_b$$

Al aplicar la ecuación discreta en cada uno de los volúmenes de control se obtiene un sistema de ecuaciones lineales mencionado en la sección 2.3 (Ec. 2.2).

$$A\phi = B$$

Es posible observar que el término del segundo gradiente, presente en el vector de términos independientes, impide evaluar el sistema directamente debido a que involucra los valores de ϕ en las celdas¹⁸; por esta razón, es necesario asumir un valor inicial del vector solución para calcular este término y realizar un proceso iterativo para obtener la solución del sistema de ecuaciones.

5.4 IMPLEMENTACIÓN EN EL CÓDIGO COMPUTACIONAL

El problema de difusión-convección en estado estable se implementa en el código computacional mediante la clase `solestable`, la cual contiene una única función encargada de llevar a cabo la solución del problema.

Como se mencionó anteriormente, dentro de esta función se llaman las clases que se encargan de calcular los términos de la ecuación; a continuación se explicarán estas clases, y la estructura de la solución dentro de la clase `solestable`.

5.4.1 Clase difusivo

La clase `difusivo` se encarga de obtener los términos difusivos de la matriz de coeficientes (D_f) en las caras de cada volumen de control y en las fronteras, estos

¹⁸ El término del segundo gradiente es el responsable de que la ecuación discreta corresponda a una ecuación no lineal, sin embargo, se utiliza la alternativa planteada en la sección 2.4.2, se reordena la ecuación, y se resuelve iterativamente utilizando un valor inicial asumido de la variable ϕ .

valores se guardan en una matriz de términos difusivos, y un vector de términos difusivos en las fronteras. Esto se realiza mediante la siguiente función:

- `calcular_D(double gamma, geom gm, Mat *matriz_difusivo, Vec *vec_difffront)`: Requiere de cuatro argumentos: la propiedad Γ , un objeto de la clase `geom`, un puntero a la matriz donde se va a guardar los términos difusivos de los volúmenes de control, y un puntero al vector donde se guardarán los términos difusivos de las fronteras.

5.4.2 Clase Gradiente

La clase `gradiente` se encarga de calcular el gradiente de determinada variable en cada uno de los volúmenes de control y guardar estos valores en una matriz de gradientes; para este fin primero es necesario realizar la interpolación de la variable en las caras.

Dentro de la clase se declaran dos funciones:

- `calcular_vcara(geom gm, frontera f, vec vec_phi, Mat *matriz_phif0)`: Esta función permite obtener el valor de ϕ en las caras para cada volumen de control. Requiere de cuatro argumentos: un objeto de la clase `geom`, un objeto de la clase `frontera` con la información de frontera de la variable ϕ , un vector con los valores centrados de la variable en cada uno de los volúmenes de control, un puntero a la matriz donde se guardarán los valores de ϕ en las caras.
- `calcular_grad(geom gm, frontera f, Vec vec_phi, Mat *matriz_gradphivc)`: Esta función permite obtener el valor del gradiente de ϕ en cada una de las celdas. Requiere de cuatro argumentos: un objeto de la clase `geom`, un objeto de la clase `frontera` con la información de frontera de la variable ϕ , un vector con los valores de la variable en cada uno de los volúmenes de control, un puntero a la matriz donde se guardarán los valores del gradiente de ϕ .

5.4.3 Clase Convectivo

La clase `convectivo` se encarga de obtener los términos convectivos de la matriz de coeficientes, es decir los flujos máxicos (F_f) en las caras de cada volumen de control y en las fronteras, los valores se guardan en una matriz de términos convectivos, y un vector de términos convectivos en las fronteras. En este problema el campo de velocidades es conocido, luego la función a utilizar es:

- `calcular_F(double densidad, geom gm, double *velocidad, Mat *matriz_convectivo, Vec *vec_convecfront)`: Requiere de cinco argumentos: el valor de la densidad, un objeto de la clase `geom`, un array con los valores de u y v , un puntero a la matriz donde se va a guardar los términos convectivos de los volúmenes de control, y un puntero al vector donde se guardarán los términos convectivos de las fronteras.

5.4.4 Clase termindep

La clase `termindep` se encarga de obtener los valores del vector de términos independientes B de la ecuación discretizada; los términos independientes varían según el problema, la función declarada para el caso de difusión-convección en estado estable es la siguiente:

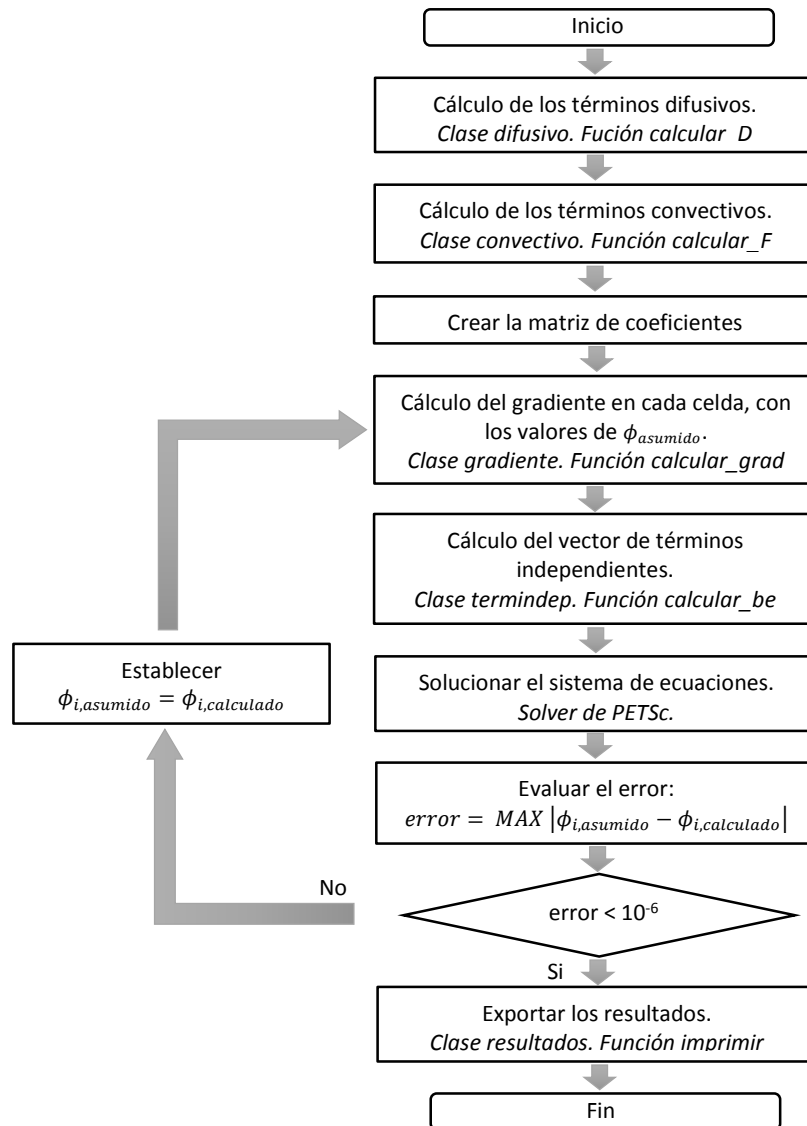
- `calcular_be(geom b, frontera f, Mat matriz_difusivo, Vec vec_difffront, Vec vec_convecfront, Mat matriz_gradphivc, Vec *vec_b)`: Requiere de siete argumentos: un objeto de la clase `geom` y uno de la clase `frontera`, la matriz de términos difusivos, el vector de términos difusivos en las fronteras, el vector de términos convectivos en las fronteras, la matriz de gradientes de la variable, y un puntero al vector donde se guardarán los valores de los términos independientes.

5.4.5 Clase solestable

La clase `solestable` es la encargada de llevar a cabo la solución del problema de difusión-convección en estado estable, esto lo hace mediante la función `calcular_Se(double densidad, double gamma, geom b, frontera f, double *velocidad)`.

En la figura 15 se presenta el diagrama de flujo que representa el procedimiento que se lleva a cabo dentro de la función.

Figura 15. Diagrama de flujo de la función `calcular_Se`.



6. DIFUSIÓN-CONVECCIÓN EN ESTADO TRANSITORIO

En este capítulo se presentará la discretización del término transitorio de la ecuación de transporte y la integración temporal de los términos anteriores (convectivo, difusivo). Se describen los pasos para llevar a cabo la solución de la ecuación de difusión-convección en estado transitorio y su implementación en el código computacional usando dos aproximaciones: el esquema implícito y el esquema explícito [3].

Al finalizar se presenta el caso de estudio del problema Smith-Hutton [12] para validar la correcta implementación de los términos de la ecuación difusión-convección para un escalar cualquiera.

A la ecuación 5.1 se agrega el término transitorio, como resultado la ecuación a discretizar es:

$$\rho \frac{\partial \phi}{\partial t} + \nabla \cdot (\rho \mathbf{V} \phi) = \nabla \cdot (\Gamma \nabla \phi) \quad (\text{Ec. 6.1})$$

Nuevamente, el campo de velocidades $\mathbf{V} = u\mathbf{i} + v\mathbf{j}$ es conocido en todo el dominio.

En el problema transitorio se desea obtener la solución de ϕ en cada instante de tiempo, para este propósito se proporcionan condiciones iniciales de la variable $\phi(x, y, 0)$, y se deben tomar pasos discretos de tiempo Δt .

Al igual que en la ecuación de estado estable, se determina el vector $\mathbf{J} = \rho \mathbf{V} \phi - \Gamma \nabla \phi$. En este caso la ecuación se integra alrededor del volumen de control P y del paso de tiempo Δt .

$$\int_{\Delta t} \int_{dV_P} \rho \frac{\partial \phi}{\partial t} dV dt + \int_{\Delta t} \int_{dV_P} \nabla \cdot \mathbf{J} dV dt = 0 \quad (\text{Ec. 6.2})$$

Evaluando la integral temporal del primer término y aplicando el teorema de la divergencia en el segundo término se obtiene:

$$\int_{dV_P} \rho(\phi^1 - \phi^0) dV + \int_{\Delta t} \int_A \mathbf{J} \cdot d\mathbf{A} dt = 0 \quad (\text{Ec. 6.3})$$

Los súper-índices 1 y 0 en el primer término de la Ec. 6.3 denotan los valores de tiempo $t + \Delta t$ y t , respectivamente. Al igual que antes se considera que el valor de ϕ en el volumen de control puede ser tomado como el valor en el centroide del mismo, luego es posible escribir:

$$\int_{dV_P} \rho \phi dV = \rho \phi_P \Delta V_P \quad (\text{Ec. 6.4})$$

De las ecuaciones 6.3 y 6.4 es posible deducir el término transitorio como:

$$\Delta V_P \rho (\phi_P^1 - \phi_P^0) \quad (\text{Ec. 6.5})$$

En cuanto al segundo término de la Ec. 6.3, el valor de \mathbf{J} en la cara se puede representar por su valor en el centroide de la misma, de modo que se puede escribir:

$$\int_{\Delta t} \sum_f \mathbf{J}_f \cdot \mathbf{A}_f dt \quad (\text{Ec. 5.6})$$

Para evaluar este término es necesario asumir que el flujo \mathbf{J} puede ser interpolado entre los tiempos $t + \Delta t$ y t usando un factor de interpolación f cuyo valor está entre cero y uno.

$$\int_{\Delta t} \mathbf{J} \cdot \mathbf{A} dt = (f \mathbf{J}^1 \cdot \mathbf{A} + (1 - f) \mathbf{J}^0 \cdot \mathbf{A}) \Delta t \quad (\text{Ec. 6.7})$$

Realizando la discretización presentada en el capítulo anterior se obtiene la siguiente ecuación discreta para la variable ϕ . Por simplicidad se removi6 el superíndice 1, de modo que el tiempo $t + \Delta t$ est6 representado por el valor sin súper-índice.

$$a_P \phi_P = \sum_{nb} a_{nb} (f \phi_{nb} + (1 - f) \phi_{nb}^0) + \left(a_P^0 - (1 - f) \sum_{nb} a_{nb} \right) \phi_P^0 + b \quad (\text{Ec. 6.8})$$

Donde,

$$a_{nb} = \text{MAX}(-F_f, 0) + D_f$$

$$a_p^0 = \frac{\rho \Delta V}{\Delta t}$$

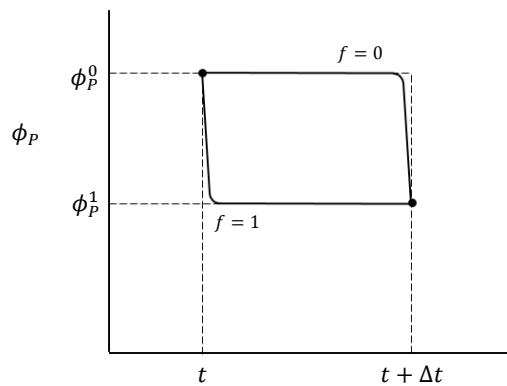
$$a_p = a_p^0 + f \left(\sum_{nb} a_{nb} + \sum_f F_f \right)$$

$$b = f \sum_{nb} (\mathcal{S}_f)_{nb} + (1 - f) \sum_{nb} (\mathcal{S}_f)_{nb}^0$$

Esta ecuación se aplica a cada uno de los volúmenes de control del dominio que no pertenece a la frontera. En el caso de volúmenes de control frontera, los términos de la ecuación se modifican de la misma forma que en el capítulo anterior.

Los valores de f pueden ser interpretados en términos de la variación de ϕ_p en función de t (Fig. 16), en este trabajo se tienen en cuenta dos casos particulares de la ecuación mencionada para dos valores del término f que serán explicados a continuación.

Figura 16. Variación de la variable ϕ con el tiempo para dos esquemas de discretización temporal.



6.1 ESQUEMA EXPLÍCITO

El caso en que se establece $f = 0$ se conoce como esquema explícito, en este esquema el flujo es evaluado usando valores exclusivamente del paso de tiempo anterior; en la figura 16 se observa que el valor de ϕ_p^0 prevalece durante todo el intervalo de tiempo y cambia cuando llega a $t + \Delta t$.

6.1.1 Ecuación discreta

$$a_p \phi_p = \sum_{nb} a_{nb} \phi_{nb}^0 + \left(a_p^0 - \sum_{nb} a_{nb} \right) \phi_p^0 + b \quad (\text{Ec. 6.9})$$

Donde,

$$a_{nb} = \text{MAX}(-F_f, 0) + D_f$$

$$a_p^0 = \frac{\rho \Delta V}{\Delta t}$$

$$a_p = a_p^0$$

$$b = \sum_{nb} (\mathcal{S}_f)_{nb}^0$$

De la ecuación discreta se puede observar que, conociendo las condiciones en el tiempo t , es posible evaluar los términos de la Ec. 6.9 y encontrar el valor de ϕ_p en el tiempo $t + \Delta t$; no es necesario resolver un sistema de ecuaciones.

Cuando $\Delta t \rightarrow \infty$ se obtiene la ecuación de difusión-convección en estado estable, lo cual sucede cuando se alcanza el estado estacionario con el paso del tiempo, luego es seguro que la solución al alcanzar este estado será la misma que si se hubiese obtenido solucionando el problema como estable en primer lugar.

Este esquema resulta sencillo y conveniente, sin embargo, tiene problemas de estabilidad cuando $a_p^0 < \sum a_{nb}$, por esta razón es necesario aplicar restricciones al tiempo usando la condición CFL (Courant-Friedrich-Levy) (Ec. 5.10).

$$\Delta t \left(\frac{\Gamma/\rho}{A_f^2} \right)_{max} \leq C_{visc} \quad (\text{Ec. 6.10a})$$

$$\Delta t \left(\frac{|V_i|}{A_f} \right)_{max} \leq C_{conv} \quad (\text{Ec. 6.10b})$$

En este caso se tomará $C_{visc} = 0.2$ y $C_{conv} = 0.35$ [11]. Esta condición limita el paso de tiempo máximo posible, de modo que se necesitan tomar pasos cada vez más pequeños al refinar la malla.

En el caso de los problemas que se estudian en este trabajo, se requiere que el programa termine cuando la solución llegue a estado estacionario; se asumirá que la solución llega a este punto cuando la diferencia entre los valores de ϕ^t y $\phi^{t+\Delta t}$ sea menor que 10^{-6} .

6.1.2 Implementación en el código computacional

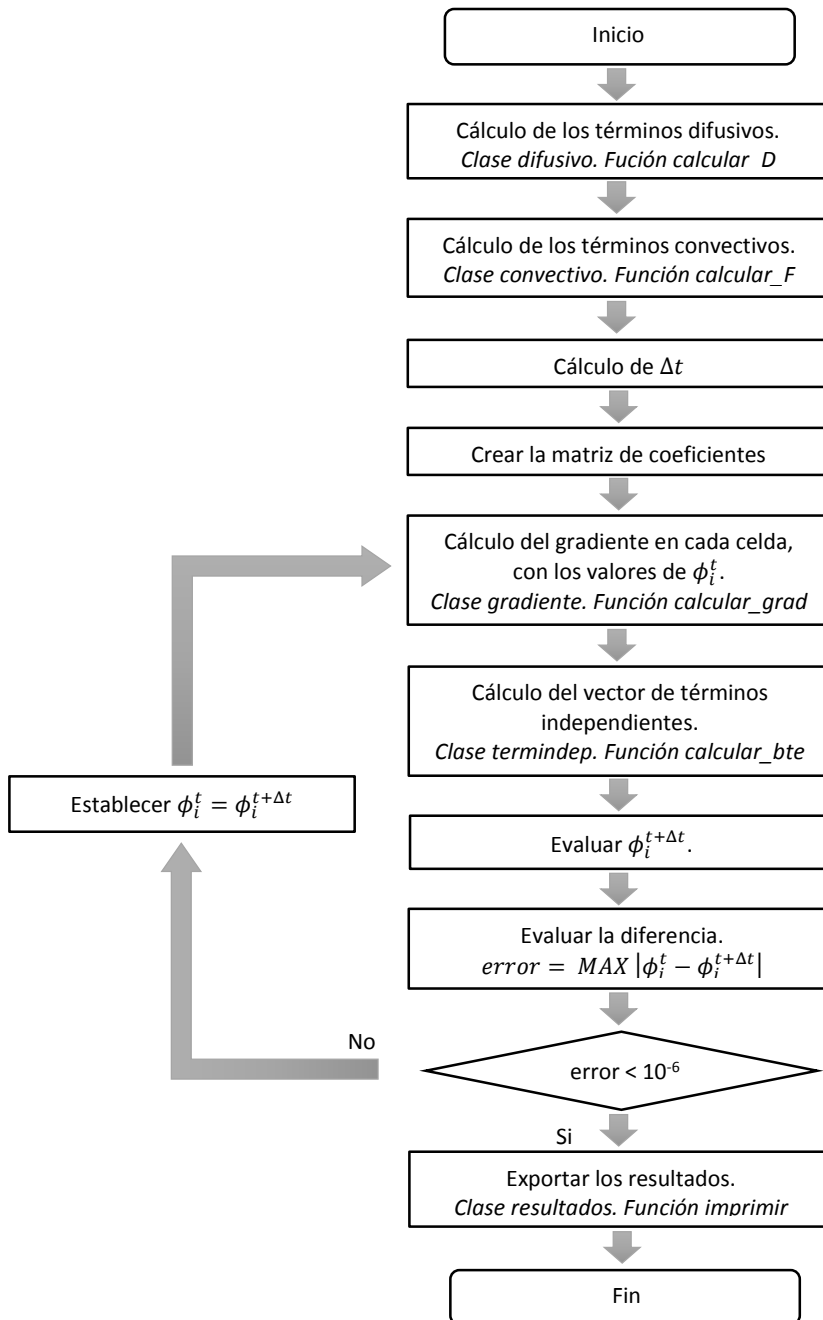
El problema de difusión-convección en estado transitorio se implementa en el código computacional mediante la clase `solexplicito`, la cual contiene una única función encargada de llevar a cabo la solución del problema utilizando el esquema explícito de discretización temporal.

Como se mencionó anteriormente, dentro de esta función se llaman las clases que se encargan de calcular los términos de la ecuación de igual forma a como se explicó en el problema de estado estable, con la diferencia de que en este caso, los términos independientes son diferentes, luego la función para calcular el vector de términos independientes es:

- `calcular_bte`(geom b, frontera f, Mat matriz_difusivo, Vec vec_difffront, Vec vec_convecfront, Vec vec_soluant, Mat matriz_gradphivc, Vec *vec_b): Los argumentos son los mismos de la función utilizada en el problema de estado estable, más un vector `vec_soluant` con los valores de ϕ en el paso de tiempo anterior.

La función que contiene el procedimiento de solución de este problema es `calcular_Ste(double densidad, double gamma, geom b, frontera f)`. En la figura 17 se presenta el diagrama de flujo que representa el procedimiento que se lleva a cabo dentro de la función.

Figura 17. Diagrama de flujo de la función `calcular_Ste`.



6.2 ESQUEMA IMPLICITO

El caso en que se establece $f = 1$ se conoce como esquema implícito. En este esquema el valor de ϕ_P cambia de ϕ_P^0 a ϕ_P^1 en el tiempo t y permanece con este valor durante todo el intervalo de tiempo hasta $t + \Delta t$ (Fig. 16).

6.2.1 Ecuación discreta

$$a_P \phi_P = \sum_{nb} a_{nb} \phi_{nb} + b \quad (\text{Ec. 6.11})$$

Donde,

$$a_{nb} = \text{MAX}(-F_f, 0) + D_f$$

$$a_P^0 = \frac{\rho \Delta V}{\Delta t}$$

$$a_P = a_P^0 + \left(\sum_{nb} a_{nb} + \sum_f F_f \right)$$

$$b = \sum_{nb} (\mathcal{S}_f)_{nb} + a_P^0 \phi_P^0$$

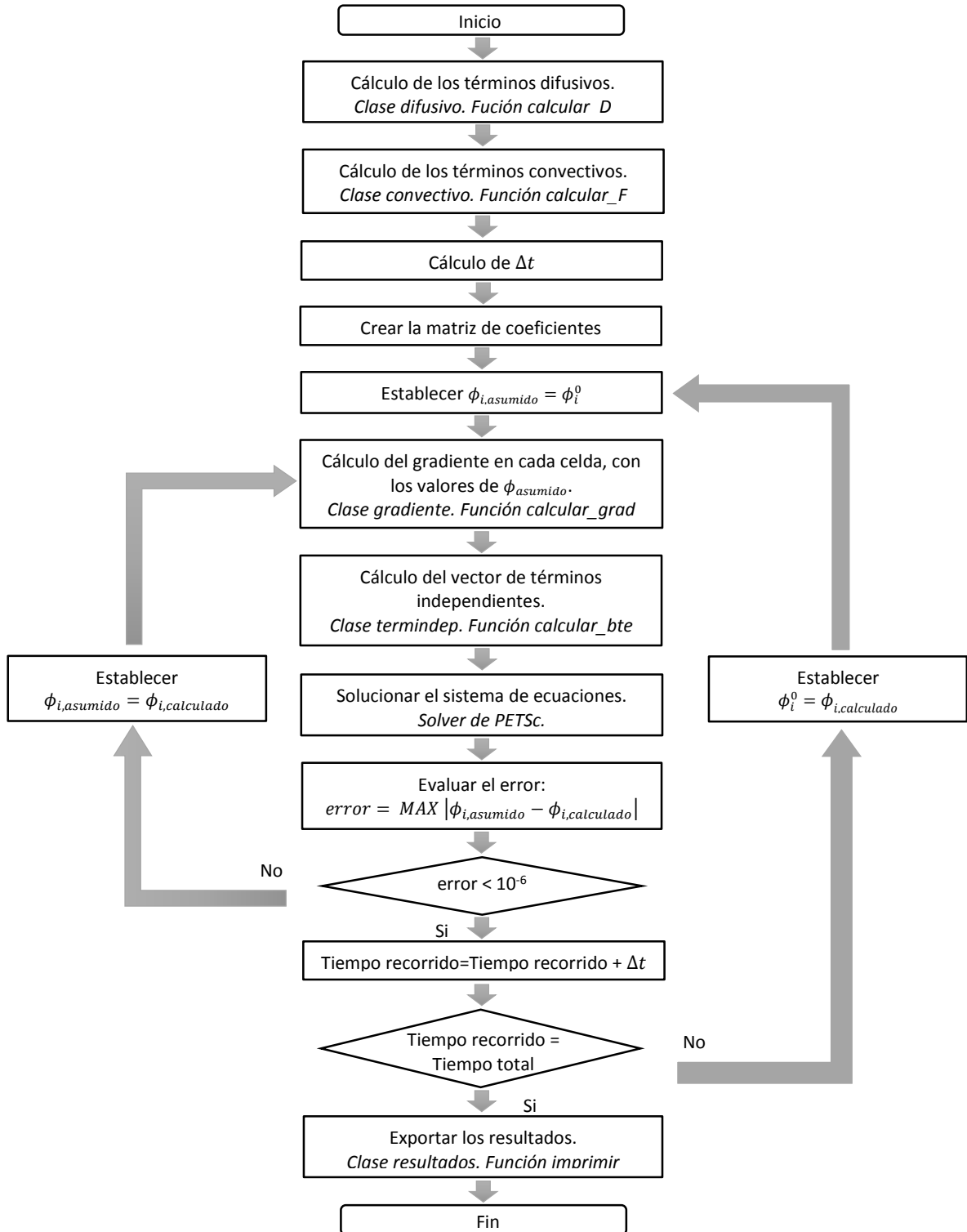
Al igual que en el esquema anterior cuando $\Delta t \rightarrow \infty$ se obtiene la ecuación de difusión-convección en estado estable.

En este caso si es necesario la solución del sistema de ecuaciones (Ec. 2.2), el procedimiento de solución es similar al presentado para la solución de la ecuación de difusión-convección en estado estable, con la diferencia de que en este caso se adiciona un bucle que corresponde al recorrido por el tiempo.

Como se puede observar en la ecuación 5.11, no hay posibilidad de que se de $a_P < \sum a_{nb}$, por esta razón este esquema es incondicionalmente estable y no implica ninguna restricción de tiempo, sin embargo, necesita de un mayor tiempo de solución debido al sistema de ecuaciones.

6.2.2 Implementación en el código computacional

Figura 18. Diagrama de flujo de la función calcular_Sti.



En el caso de la discretización temporal implícita, la implementación en el código se realiza mediante la clase `solimplicito`, esta contiene una única función encargada de llevar a cabo la solución del problema.

Al igual que en las anteriores, dentro de esta función se llaman las clases que se encargan de calcular los términos de la ecuación de igual forma a como se explicó en el problema de estado estable, con la diferencia de que en este caso, los términos independientes son diferentes, la función para calcular el vector de términos independientes es:

- `calcular_bti`(geom gm, frontera f, Mat matriz_difusivo, Vec vec_diffrent, Vec vec_soluant, Mat matriz_gradphivc, Vec vec_ap0, Vec *vec_b): Los argumentos son los mismos la función del problema anterior, más un vector con los valores del coeficiente α_p^0 en cada celda.

La función que contiene el procedimiento de solución de este problema es `calcular_Sti`(geom b, frontera f, double *velocidad, double densidad, double gamma, double tiempo).

En la figura 18 se presenta el diagrama de flujo que representa el procedimiento que se lleva a cabo dentro de la función.

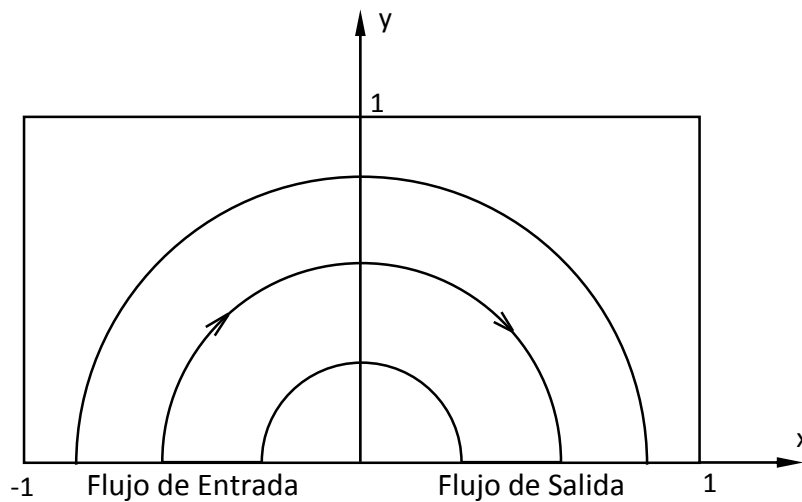
6.3 CASO DE ESTUDIO: PROBLEMA SMITH-HUTTON

Con el fin de validar la discretización de los términos de la ecuación de difusión-convección y el esquema explícito para la discretización temporal, los cuales serán utilizados más adelante en la solución del problema de estudio de este trabajo; se presentan los resultados numéricos obtenidos de la simulación del problema Smith-Hutton.

6.3.1 Descripción del problema

El problema propuesto por Smith y Hutton [12] es uno de los más utilizados en estudios numéricos para evaluar esquemas de difusión-convección. El objetivo es hallar la solución de estado estable de la ecuación de difusión-convección en una región rectangular (Fig. 19).

Figura 19. Esquema del problema Smith-Hutton.



El campo de velocidad está dado por la función de corriente $\psi = (1 - x^2)(1 - y^2)$, con esta, es posible determinar las componentes de la velocidad en dirección x y y .

$$u(x, y) = -\frac{\partial \psi}{\partial y} = 2y(1 - x^2) \quad (\text{Ec. 6.12a})$$

$$v(x, y) = \frac{\partial \psi}{\partial x} = -2x(1 - y^2) \quad (\text{Ec. 6.12b})$$

Todas las condiciones de frontera del dominio son de tipo Dirichlet, a excepción de la frontera de salida de flujo, allí se tiene una condición de tipo Neumann. Los valores son los siguientes:

$$\phi = 1 + \tanh(\alpha(2x + 1)); \quad y = 0; -1 < x < 0 \quad (\text{Flujo de entrada})$$

$$\frac{\partial \phi}{\partial y} = 0;$$

$y = 0; 0 < x < 1$ (Flujo de salida)

$$\phi = 1 - \tanh(\alpha);$$

Demás fronteras

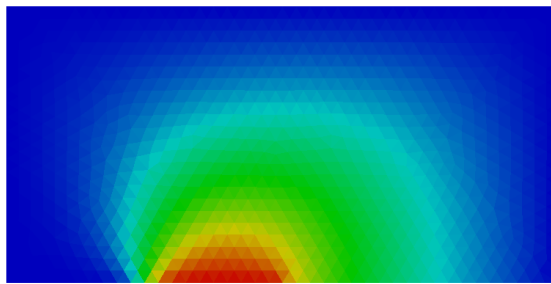
Donde α es un parámetro ajustable que controla el perfil de la variable ϕ en la frontera de entrada. En este caso se toma $\alpha = 10$.

La solución encontrada para la variable ϕ depende de la relación ρ/Γ , su valor indica que fenómeno influye más el difusivo o el convectivo.

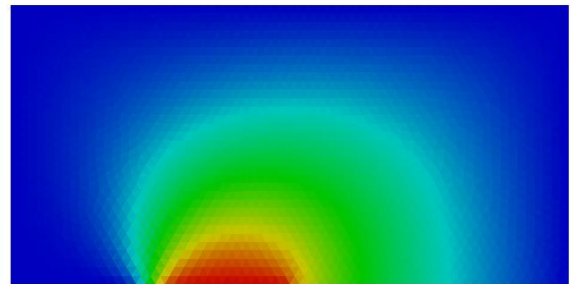
El problema se resuelve para dos casos de relación ρ/Γ , los resultados de la simulación se comparan con los resultados encontrados en la literatura [12].

5.3.2 Resultados numéricos

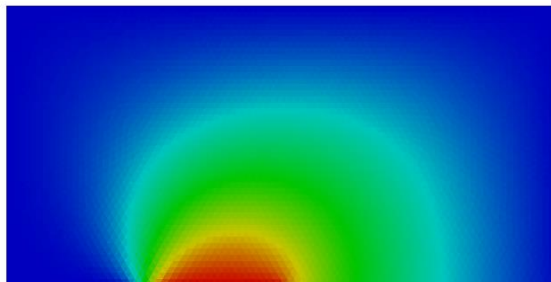
Figura 20. Distribución de ϕ para $\rho/\Gamma = 10$ en diferentes densidades de malla.



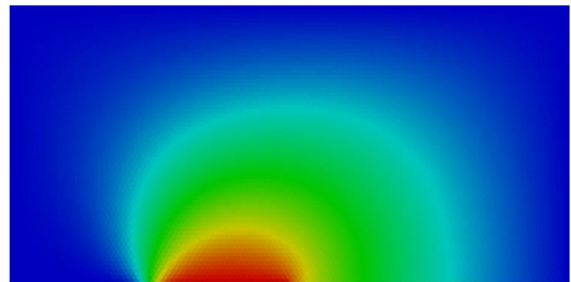
a) 1816 volúmenes



b) 3786 volúmenes



c) 7330 volúmenes



d) 14230 volúmenes

Figura 21. Valores de ϕ en la frontera de salida del dominio para $\rho/\Gamma = 10$. Estudio de independencia de malla y comparación con valores de referencia.

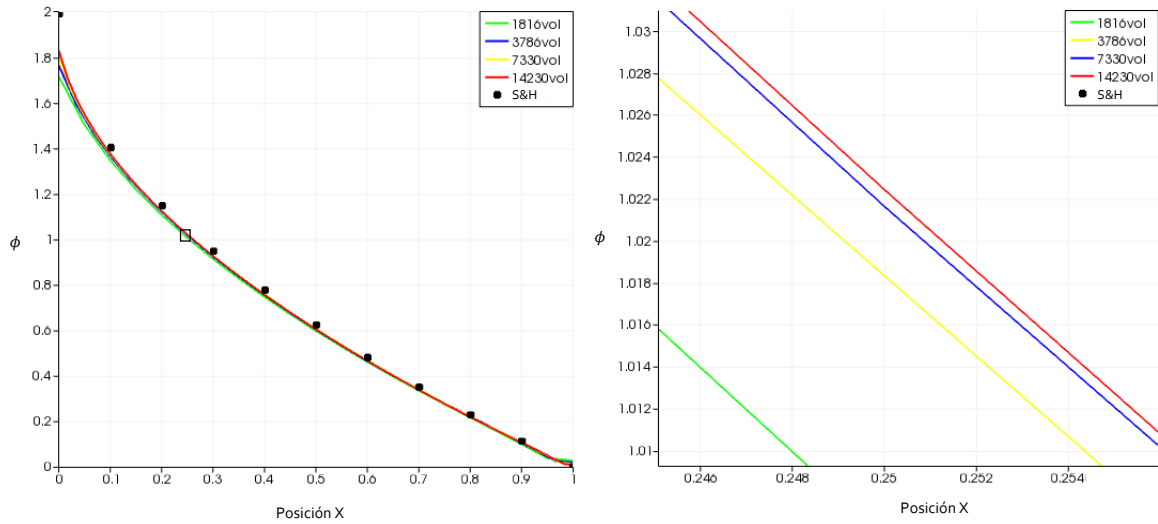


Figura 22. Distribución de ϕ para $\rho/\Gamma = 10^3$ en diferentes densidades de malla.

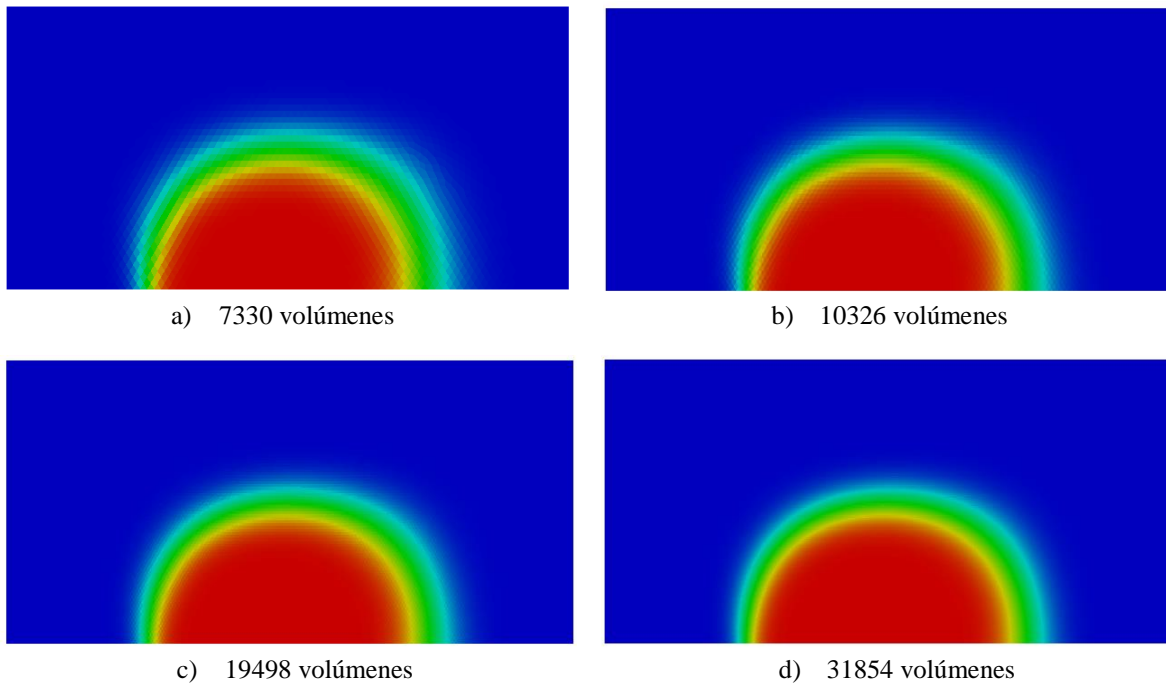


Figura 23. Valores de ϕ en la frontera de salida del dominio para $\rho/\Gamma = 10^3$. Estudio de independencia de malla y comparación con valores de referencia.

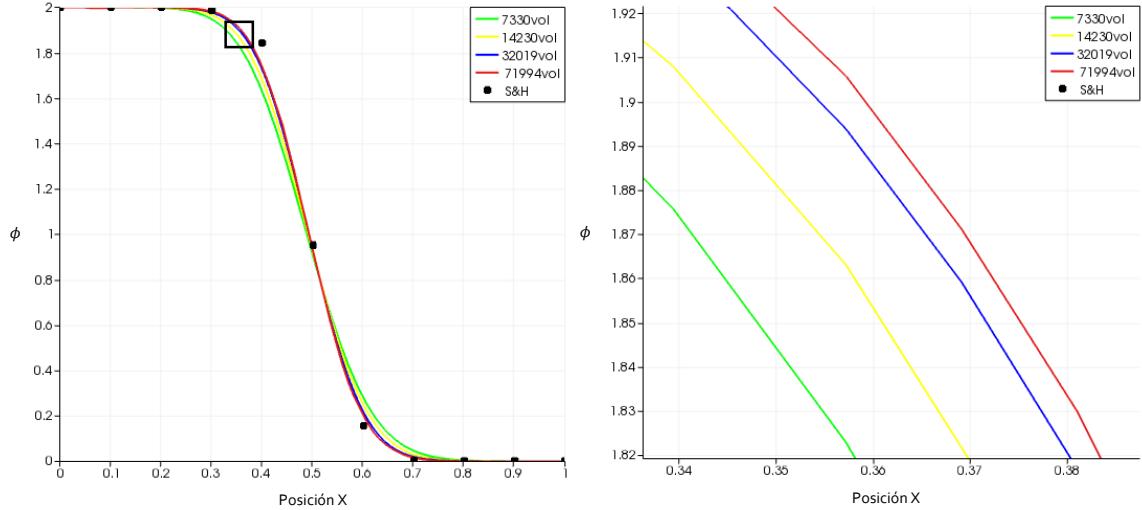
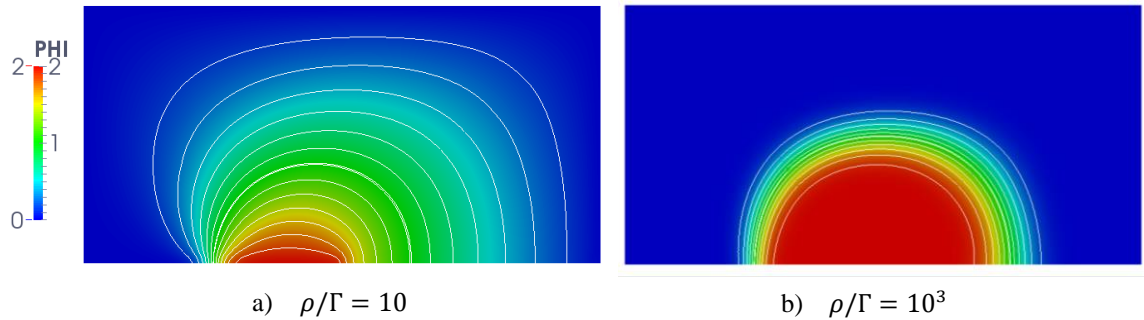


Figura 24. Distribución y líneas de valor constante de ϕ .



6.3.3 Discusión

El problema de Smith-Hutton es un caso de flujo en estado estacionario, la solución numérica presentada se halló al llegar a este punto con la condición descrita anteriormente. En la figura 24 se presentan la distribución y las líneas de valor constante de ϕ para los dos casos estudiados, estos resultados son de gran similitud con los encontrados en la literatura [12].

Con el propósito de asegurar la independencia de la malla de la solución numérica obtenida, se evalúan los dos casos del problema en diferentes densidades de mallas; en las figuras 20 y 22 se presenta la solución de la variable ϕ de ambos casos para cuatro densidades de malla diferentes.

En las figuras 21 y 23 se muestra la gráfica de los valores de ϕ en la frontera de salida del dominio, para los resultados obtenidos y los valores de referencia. En ambas, la figura de la derecha permite observar el comportamiento asintótico de la solución al refinar la malla, lo cual demuestra la consistencia del método numérico.

Se observa que al incrementar la relación ρ/Γ , la malla debe refinarse más para alcanzar una solución cercana a la solución de referencia, esto se debe a la influencia de la convección en el problema.

En el caso de $\rho/\Gamma = 10$, el fenómeno está dominado por la difusión, la convección no influye casi en el transporte de la variable ϕ ; caso contrario cuando $\rho/\Gamma = 10^3$, el fenómeno es dominado por la convección y la difusión tiene poco efecto, en este caso, la solución calculada se ve mayormente influenciada por el esquema numérico utilizado para aproximar la variable ϕ en los términos convectivos, el esquema utilizado fue el Upwind. La figura 23 permite observar la estabilidad de este esquema, pues la solución permanece acotada dentro de los valores que establece las condiciones de frontera¹⁹, sin embargo, este es un esquema de primer orden e introduce una falsa difusión en la solución, por lo cual su precisión no es muy alta.

¹⁹ Otros esquemas de discretización de los términos convectivos ocasionan que en la solución de este problema se presenten puntos donde el valor de ϕ sobrepasa los valores de las condiciones de frontera.

7. EVALUACIÓN DEL CAMPO DE FLUJO

Hasta el momento se consideró el fenómeno de difusión-convección de un campo escalar en la presencia de un campo de velocidades conocido. En este capítulo se considera el fenómeno del flujo de un fluido donde el campo de velocidades no se conoce y se quiere hallar, para esto se deben solucionar las ecuaciones de conservación de cantidad de movimiento presentadas en el capítulo 1 (Ec. 1.6a) y Ec. 1.6b).

$$\frac{\partial u}{\partial t} + \nabla \cdot (Vu) = \nabla \cdot (v\nabla u) - \frac{1}{\rho} \nabla p \cdot i$$

$$\frac{\partial v}{\partial t} + \nabla \cdot (Vv) = \nabla \cdot (v\nabla v) - \frac{1}{\rho} \nabla p \cdot j$$

Estas ecuaciones tienen la misma forma de la ecuación general de convección-difusión, la cual ya se ha explicado cómo se ha de discretizar. El inconveniente es que no se conoce el campo de presión y no se tiene una ecuación explícita para hallarlo, es por esta razón que se debe recurrir a la ecuación de continuidad (Ec. 1.5) como ecuación extra.

$$\nabla \cdot (\rho V) = 0$$

En general, existen varios métodos para la solución del problema de campo de flujo en un fluido incompresible; entre los más conocidos se encuentran los métodos de tipo predicción-corrección como son el FSM (Fractional Step Method) [8][9], el algoritmo SIMPLE (Semi-Implicit Method for Pressure-Linked Equations) y sus variaciones: SIMPLER, SIMPLEC [3].

La idea principal del algoritmo SIMPLE es crear una ecuación de corrección de la presión, a partir de la ecuación de continuidad. El procedimiento general es:

1. Asumir un campo de presión p^* .
2. Solucionar las ecuaciones de momento usando p^* . Se obtiene la solución para los campos de velocidad u^* y v^* .

3. Solucionar la ecuación obtenida para la presión con los valores de u^* y v^* .
4. Corregir los campos de presión y velocidades, de modo que satisfagan la ecuación de continuidad.

En el método del paso fraccionado, se calcula una solución aproximada de las ecuaciones de momento sin tener en cuenta los gradientes de presión, esta solución se denota como velocidad predictor y no satisface la condición de incompresibilidad; el campo de presión se calcula posteriormente mediante la ecuación de Poisson y el campo de velocidades predictoras, siendo este el único sistema de ecuaciones que se debe resolver; finalmente se calcula la velocidad real a partir de la velocidad predictor y el gradiente de la presión hallada.

Los métodos FSM se han convertido en una técnica muy popular para la resolución de las ecuaciones incompresibles de Navier-Stokes. Esto se debe a que tienen un mejor rendimiento que los algoritmos de tipo SIMPLE; y a su simplicidad para llevarlo al código computacional.

Por esta razón, el método utilizado en este trabajo para solucionar el acoplamiento entre la velocidad y la presión es el método de paso fraccionado.

7.1 PROBLEMA CHECKERBOARDING: Tablero de ajedrez

La discretización de la ecuación de continuidad es de la forma:

$$\int_A (\rho \mathbf{V}) \cdot d\mathbf{A} = \sum_f (\rho \mathbf{V})_f \cdot \mathbf{A}_f = 0 \quad (\text{Ec. 7.1})$$

Al no conocer el valor de la velocidad en la cara f es necesario de un esquema de interpolación; usualmente se utiliza el esquema de diferencias centradas (Ec. 7.2).

$$u_f = \frac{u_P + u_F}{2} \quad y \quad v_f = \frac{v_P + v_F}{2} \quad (\text{Ec. 7.2})$$

Al evaluar estos términos en la ecuación discreta (Ec. 7.1) obtenemos que la ecuación de continuidad para la celda P no contiene el valor de la velocidad de la celda P, depende únicamente de los valores de velocidad de sus vecinos:

$$\sum_f (\rho \mathbf{V})_f \cdot \mathbf{A}_f = \sum_f \rho \mathbf{V}_f \cdot \mathbf{A}_f = 0 \quad (\text{Ec. 7.3})$$

Este hecho permite un efecto de zig-zag en el campo de velocidad (Problema de Checkerboard, Fig. 25), como el campo de presión se obtiene a partir de la velocidad, es posible que se creen campos de presión con el mismo efecto.

Figura 25. Campo de velocidad con efecto de tablero de ajedrez.

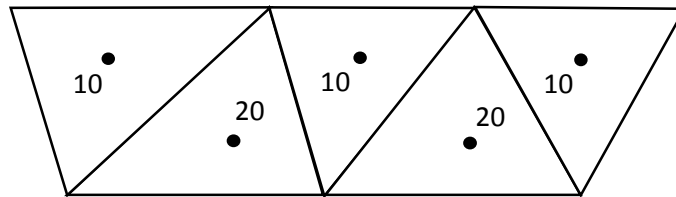
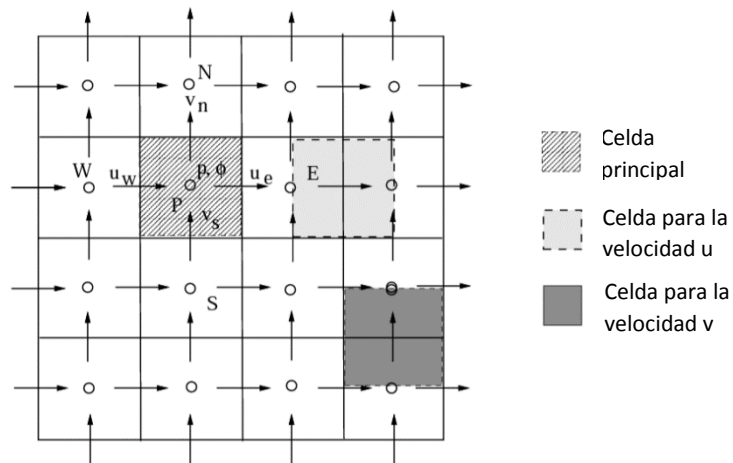


Figura 26. Malla desplazada en malla estructurada.



Fuente: PATANKAR, S. V. Numerical Heat Transfer and Fluid Flow.

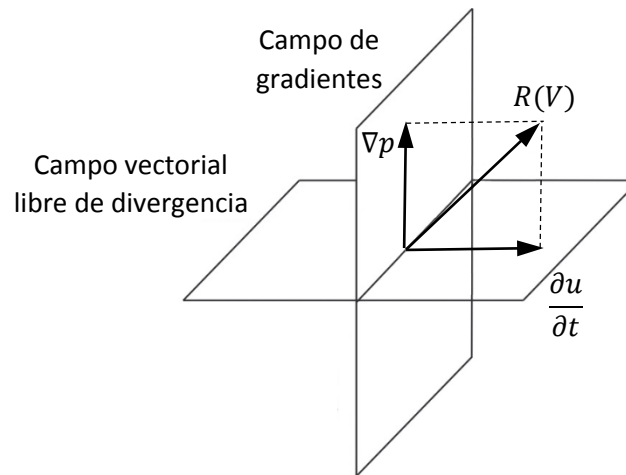
La solución común al problema mencionado es utilizar mallas desplazadas (Fig. 26) para ubicar los valores de la velocidad directamente en las caras; sin embargo, en mallas no estructuradas no es posible determinar una malla desplazada de forma evidente, luego necesariamente se deben utilizar mallas colocadas.

En el caso de mallas colocadas, el algoritmo FSM reduce el problema del checkerboarding al determinar las siguientes acciones: en la estimación de la velocidad no se tienen en cuenta los efectos de la presión, al calcular la presión centrada se utilizan las velocidades interpoladas a las caras, y al calcular la velocidad corregida se utiliza la presión interpolada en las caras. Además se evita el esquema de diferencias centradas para la interpolación de la velocidad y de la presión, se utilizan esquemas más elaborados [6][10].

7.2 MÉTODO DEL PASO FRACCIONADO

Los métodos de paso fraccionado también son conocidos como métodos de proyección. Se denota un campo vectorial de velocidades $R(V)$ que se descompone en dos campos ortogonales (Fig. 27): uno de gradientes de presión y un campo vectorial libre de divergencia; la presión se convierte en un operador que proyecta este campo de velocidades en el campo vectorial libre de divergencia.

Figura 27. Descomposición única del campo vectorial $R(V)$.



7.2.1 Planteamiento del método

El método FSM se basa en la aplicación del teorema de Helmholtz-Hodge [11] a la ecuación vectorial de momento, de la siguiente forma:

$$\Pi\left(\frac{\partial \mathbf{V}}{\partial t} + \frac{1}{\rho} \nabla p\right) = \Pi(-(\nabla \cdot \mathbf{V})\mathbf{V} + \nabla \cdot (v\nabla \mathbf{V})) \quad (\text{Ec. 7.4})$$

Donde $\Pi(\cdot)$ es un operador de proyección, que proyecta un campo vectorial en un campo libre de divergencia.

El campo de velocidad es incompresible, luego el término transitorio permanece invariante al aplicar el operador (Ec. 7.5); por otro lado, el gradiente de la presión pertenece al plano ortogonal al campo libre de divergencia, luego la proyección es nula (Ec. 7.6).

$$\Pi\left(\frac{\partial \mathbf{V}}{\partial t}\right) = \frac{\partial \mathbf{V}}{\partial t} \quad (\text{Ec. 7.5})$$

$$\Pi\left(\frac{1}{\rho} \nabla p\right) = 0 \quad (\text{Ec. 7.6})$$

Por lo tanto, las ecuaciones de Navier-Stokes pueden ser divididas en dos partes: Un vector libre de divergencia (Ec. 7.7) y el gradiente de un campo escalar (Ec. 7.8).

$$\frac{\partial \mathbf{V}}{\partial t} = \Pi(-(\nabla \cdot \mathbf{V})\mathbf{V} + \nabla \cdot (v\nabla \mathbf{V})) \quad (\text{Ec. 7.7})$$

$$\frac{1}{\rho} \nabla p = (-(\nabla \cdot \mathbf{V})\mathbf{V} + \nabla \cdot (v\nabla \mathbf{V})) - \Pi(-(\nabla \cdot \mathbf{V})\mathbf{V} + \nabla \cdot (v\nabla \mathbf{V})) \quad (\text{Ec. 7.8})$$

Finalmente, al aplicar el operador divergencia a la Ec. 7.8 se obtiene la ecuación de Poisson para la presión:

$$\frac{1}{\rho} \nabla p = \nabla \cdot (-(\nabla \cdot \mathbf{V})\mathbf{V} + \nabla \cdot (v\nabla \mathbf{V})) \quad (\text{Ec. 7.9})$$

El término entre paréntesis será representado por el vector $R(\mathbf{V})$:

$$R(\mathbf{V}) = -(\nabla \cdot \mathbf{V})\mathbf{V} + \nabla \cdot (v\nabla \mathbf{V}) \quad (\text{Ec. 7.10})$$

Es posible observar que el papel del gradiente de la presión, es proyectar el vector $R(\mathbf{V})$ en un campo libre de divergencia (Fig. 27).

7.2.2 Discretización temporal

La forma final del método del paso fraccionado depende del método de discretización temporal utilizado. La ecuación de momento en dirección x (Ec. 1.6a) puede reescribirse como:

$$\frac{\partial u}{\partial t} = R(u) - \frac{1}{\rho} \nabla p \cdot \mathbf{i} \quad (\text{Ec. 7.11})$$

Con $R(u) = -\nabla \cdot (\mathbf{V}u) + \nabla \cdot (v\nabla u)$.

Para el término transitorio se usa el esquema de diferencias centradas:

$$\left. \frac{\partial u}{\partial t} \right|^{n+1/2} = \frac{u^{n+1} - u^n}{\Delta t} \quad (\text{Ec. 7.12})$$

Para los términos convectivos y difusivos agrupados en $R(u)$ se utiliza el esquema de discretización explícito de segundo-orden Adams-Bashforth [11].

$$R(u^{n+1/2}) = \frac{3}{2} R(u^n) - \frac{1}{2} R(u^{n-1}) \quad (\text{Ec. 7.13})$$

Para el término del gradiente de la presión se utiliza un esquema de primer orden hacia atrás de Euler. Reemplazando todo en la Ec. 7.11 se obtiene:

$$\frac{u^{n+1} - u^n}{\Delta t} = \frac{3}{2} R(u^n) - \frac{1}{2} R(u^{n-1}) - \frac{1}{\rho} \nabla p^{n+1} \cdot \mathbf{i} \quad (\text{Ec. 7.14})$$

Se determina una velocidad predictora en dirección x:

$$u^p = u^n + \Delta t \left(\frac{3}{2} R(u^n) - \frac{1}{2} R(u^{n-1}) \right) \quad (\text{Ec. 7.15})$$

Los valores de u^p y v^{p20} componen el vector de velocidad predictora $\mathbf{V}^p = u^p \mathbf{i} + v^p \mathbf{j}$, y se utiliza el teorema Helmholtz-Hodge para descomponer este vector en:

²⁰ Las ecuaciones descritas para la velocidad en dirección x se aplican de igual forma para la velocidad en dirección y (v).

$$\mathbf{V}^p = \mathbf{V}^{n+1} + \frac{\Delta t}{\rho} \nabla p^{n+1} \quad (\text{Ec. 7.16})$$

Es necesario aclarar que la ecuación de continuidad únicamente se cumple en el instante de tiempo $n + 1$:

$$\nabla \cdot \mathbf{V}^{n+1} = 0 \quad (\text{Ec. 7.17})$$

Al aplicar la divergencia a la Ec. 7.16, se obtiene:

$$\nabla \cdot \mathbf{V}^p = \nabla \cdot \mathbf{V}^{n+1} + \nabla \cdot \left(\frac{\Delta t}{\rho} \nabla p^{n+1} \right) \quad (\text{Ec. 7.18})$$

Teniendo en cuenta la Ec. 7.17, es posible obtener la siguiente ecuación de Poisson para el campo escalar p^{n+1} .

$$\Delta p^{n+1} = \frac{\rho}{\Delta t} \nabla \cdot \mathbf{V}^p \quad (\text{Ec. 7.19})$$

Una vez se calcule el campo de presión es posible obtener la solución de la velocidad en el tiempo $n + 1$, mediante la siguiente corrección:

$$u^{n+1} = u^n - \frac{\Delta t}{\rho} \nabla p^{n+1} \cdot \mathbf{i} \quad (\text{Ec. 7.20a})$$

$$v^{n+1} = v^n - \frac{\Delta t}{\rho} \nabla p^{n+1} \cdot \mathbf{j} \quad (\text{Ec. 7.20b})$$

En conclusión, el algoritmo que se debe realizar en cada paso de tiempo es:

1. Evaluar $R(u^n), R(u^{n-1}), R(v^n), R(v^{n-1})$
2. Evaluar u^p y v^p de la Ec. 7.15
3. Resolver la ecuación de Poisson (Ec. 7.19)
4. Calcular el nuevo campo de velocidad (Ec. 7.20).

Como se mencionó anteriormente, los esquemas temporales explícitos introducen severas restricciones en cuanto al valor del paso del tiempo Δt ; es por esto que debe ser limitado utilizando la condición de estabilidad explicada en la sección 6.1.

En el caso de los problemas que se estudian en este trabajo, se requiere que el programa termine cuando la solución llegue al estado estacionario; se asumirá que la solución llega a este punto cuando la diferencia entre los valores de u^n y u^{n+1} y v^n y v^{n+1} sea menor que 10^{-6} .

7.2.3 Ecuación discreta

1. Discretización del término R

El término R consiste en la unión del término convectivo y el término difusivo, la discretización de ambos términos fue expuesta en el capítulo 4; de la Ec. 4.19, reemplazando la variable ϕ por u se obtiene:

$$R(u) = \sum_{nb} \left((D_f(u_{nb} - u_p) + \mathcal{S}_f - \text{MAX}(F_f, 0)u_p + \text{MAX}(-F_f, 0)u_{nb}) \right) \quad (\text{Ec. 7.21})$$

2. Discretización de la ecuación de Poisson para la presión

El operador laplaciano Δ se discretizó en el capítulo 4 como operador del término difusivo, los términos D_f y \mathcal{S}_f son los mismos para la ecuación de velocidad como para la ecuación de presión. El operador divergencia también se discretizó anteriormente como parte del término convectivo (Flujo másico F_f , Ec 4.8). Partiendo de esto, se obtiene la ecuación discreta:

$$\sum_{nb} D_f(p_p - p_{nb}) = \sum_{nb} \left((\mathcal{S}_f)_{nb} - (u_f^p A_{x_f} + v_f^p A_{y_f})_{nb} \right) \quad (\text{Ec. 7.22})$$

Luego se tiene una ecuación de la forma:

$$a_p \phi_p = \sum_{nb} a_{nb} \phi_{nb} + b$$

Donde,

$$a_{nb} = D_f$$

$$a_p = \sum_{nb} a_{nb}$$

$$b = \sum_{nb} \left((\mathcal{S}_f)_{nb} - (u_f^p A_{x_f} + v_f^p A_{y_f}) \right)$$

Al aplicar la ecuación discreta en cada uno de los volúmenes de control se obtiene un sistema de ecuaciones lineales mencionado en la sección 2.3 (Ec. 2.2).

$$A\phi = B$$

Para la solución de este sistema de ecuaciones²¹, se utiliza el método de solución de mínimos residuos generalizados (GMRES) [23], este método presenta buenas características de convergencia y permite obtener una solución para cualquier condición de la matriz de coeficientes (en cuanto a simetría y positividad).

Además, se utiliza el método de preconditionamiento Multigrid algebraico [3], con el fin de acelerar la convergencia de la solución; esta técnica de aceleración resulta eficiente cuando se utilizan mallas no uniformes, y ha sido ampliamente usada en el problema del flujo en un canal con expansión [9][16].

7.2.4 Implementación en el código computacional

El problema de evaluación del campo de flujo se implementa en el código computacional mediante la clase `fractional`, la cual contiene una única función encargada de llevar a cabo la solución del problema.

Como se mencionó anteriormente, dentro de esta función se llaman las clases que se encargan de calcular los términos de la ecuación de igual forma a como se explicó en los problemas anteriores, con la diferencia de que en este caso, los términos convectivos y los términos independientes son diferentes; la función para calcular los términos convectivos que se requieren para evaluar $R(u)$ y $R(v)$ es:

²¹ En el Anexo A se hace una breve descripción del método utilizado.

- `calcular_Ff(double densidad, geom b, Vec vec_u, Vec vec_v, frontera fu, frontera fv, Mat *matriz_convectivo, Vec *vec_convecfront)`: Requiere de ocho argumentos: el valor de la densidad, un objeto de la clase `geom`, dos vectores con los valores de la velocidad u y v para cada una de las celdas del dominio, dos objetos de la clase `frontera` con la información de frontera de u y v , un puntero a la matriz donde se va a guardar los términos convectivos de los volúmenes de control, y un puntero al vector donde se guardarán los términos convectivos de las fronteras.

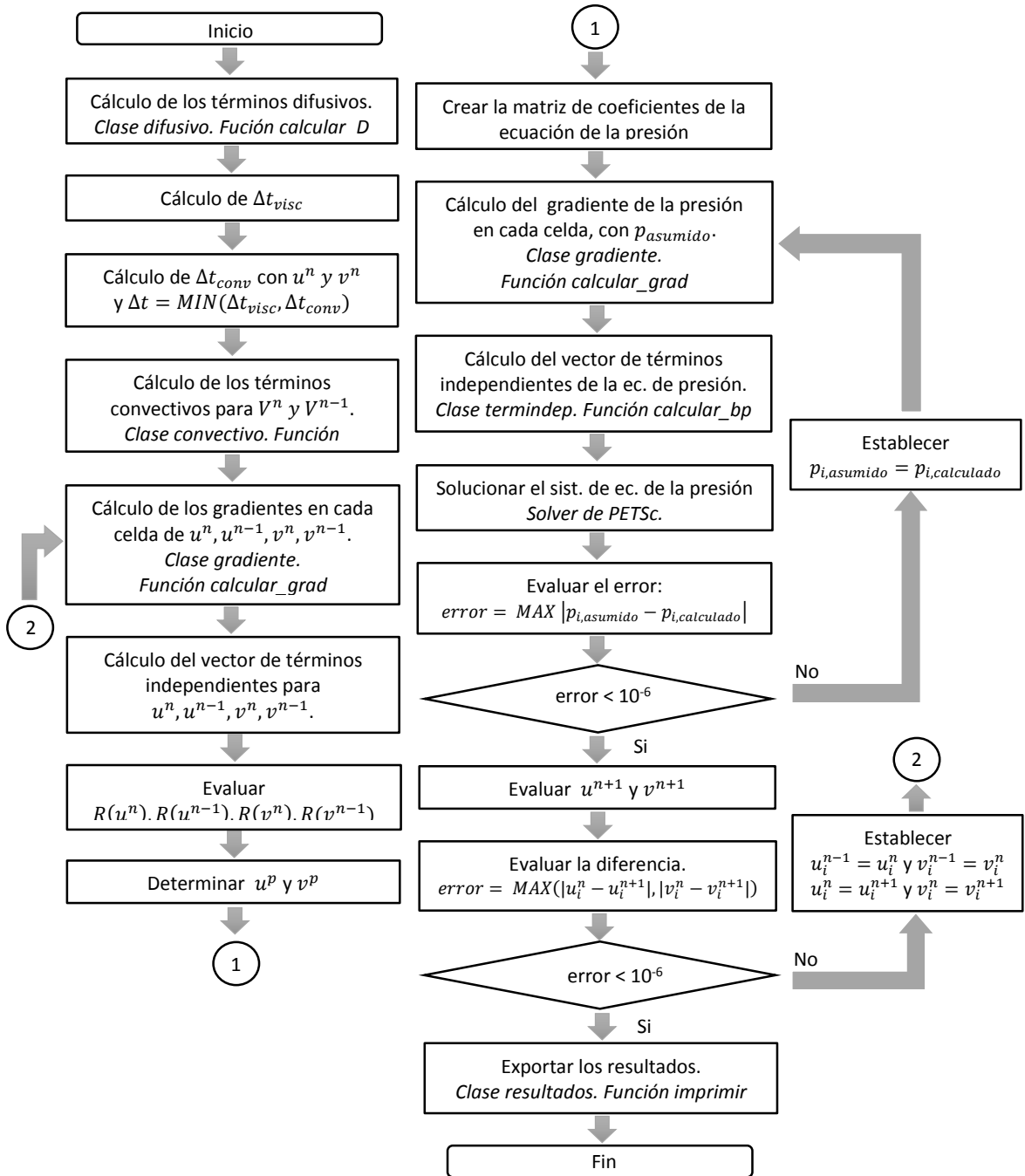
La función para calcular los términos independientes de la ecuación de presión es:

- `calcular_bp(geom b, frontera f, Mat matriz_difusivo, Vec vec_difffront, Mat matriz_gradp, Mat matriz_upf, Mat matriz_vpf, double densidad, double deltat, Vec *vec_b)`: Los argumentos son los mismos que la función del problema anterior de esta clase, más dos matrices con los valores de las velocidades predictoras interpoladas a las caras, el valor de la densidad, y el valor del Δt de la ecuación.

La función que contiene el procedimiento de solución de este problema es `calcular_SF(geom b, frontera fu, frontera fv, frontera fp, double viscosidad, double densidad)`.

En la figura 28 se presenta el diagrama de flujo que representa el procedimiento que se lleva a cabo dentro de la función.

Figura 28. Diagrama de flujo de la función calcular_Sf



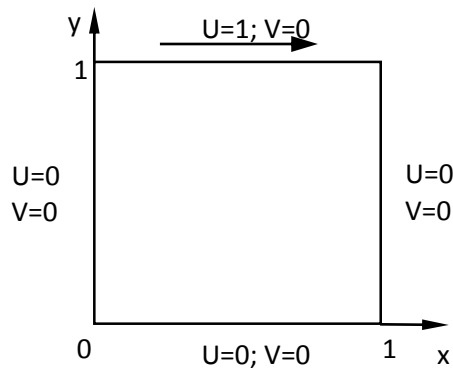
7.3 CASO DE ESTUDIO: DRIVEN CAVITY

Con el fin de validar el esquema numérico desarrollado para la solución de las ecuaciones de gobierno en un campo de flujo, se presentan los resultados numéricos obtenidos de la simulación del problema Driven Cavity.

7.3.1 Descripción del problema

El problema conocido como Driven Cavity [13] es ampliamente utilizado para probar y evaluar técnicas numéricas de solución de las ecuaciones de Navier Stokes. Consiste en un flujo laminar e incompresible que se encuentra en una cavidad cuadrada, cuya pared superior se mueve con una velocidad uniforme en su mismo plano, generando un fenómeno de convección forzada, las demás paredes de la cavidad permanecen sin movimiento (Fig. 29).

Figura 29. Esquema del problema Driven Cavity.



Este es un problema bidimensional en estado estacionario, la razón por la cual es de gran interés en la literatura, es debido a que presenta una geometría y condiciones de frontera simples, y, a su vez, introduce cierta dificultad en su solución, debido a los altos gradientes que se presentan en las zonas cercanas a las paredes.

Las condiciones de frontera para la velocidad son de tipo Dirichlet y para la presión son de tipo Newman:

$$u = 1; v = 0; \frac{\partial p}{\partial y} = 0; \quad y = 1; 0 < x < 1$$

$$u = 0; v = 0; \frac{\partial p}{\partial y} = 0; \quad y = 0; 0 < x < 1$$

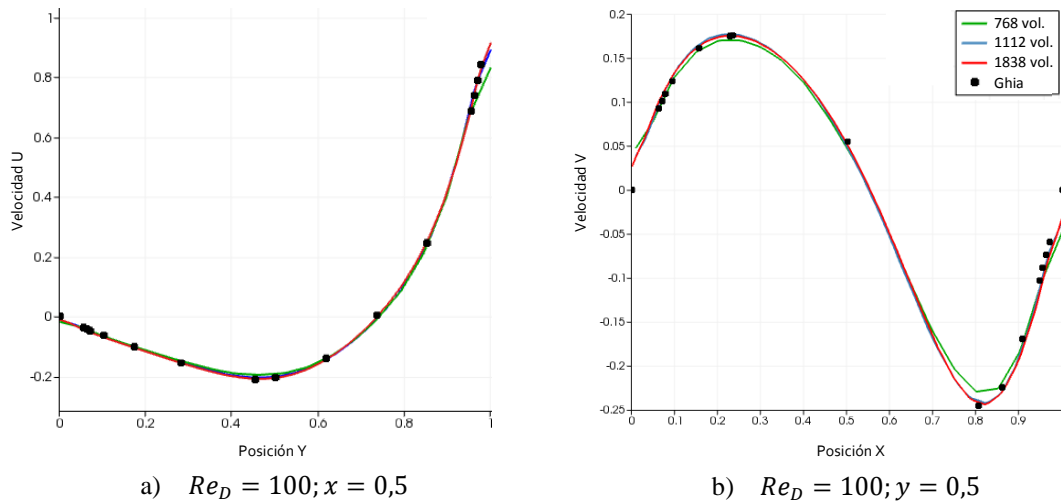
$$u = 0; v = 0; \frac{\partial p}{\partial x} = 0; \quad x = 0; 0 < y < 1$$

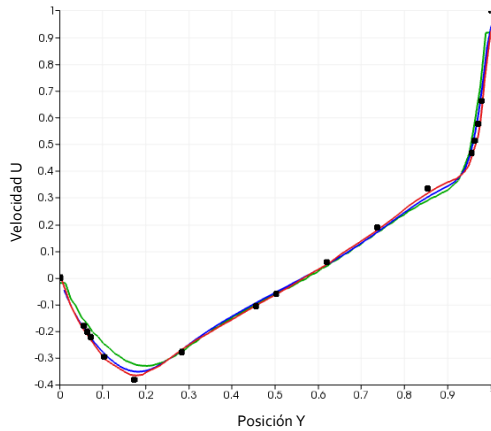
$$u = 0; v = 0; \frac{\partial p}{\partial x} = 0; \quad x = 1; 0 < y < 1$$

El problema se resuelve para dos números de Reynolds, y su solución se compara con valores de referencia tomados de Ghia et. al. [13].

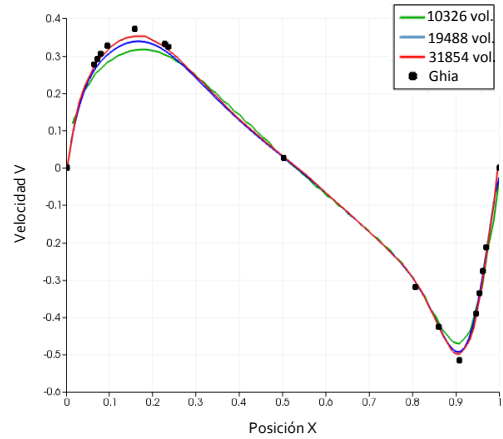
7.3.2 Resultados numéricos

Figura 30. Velocidades en los ejes centrales de la cavidad. Estudio de independencia de malla y comparación con valores de referencia de Ghia et. al.





c) $Re_D = 1000; x = 0,5$



d) $Re_D = 1000; y = 0,5$

Tabla 1. Errores relativos asociados a las mallas empleadas.

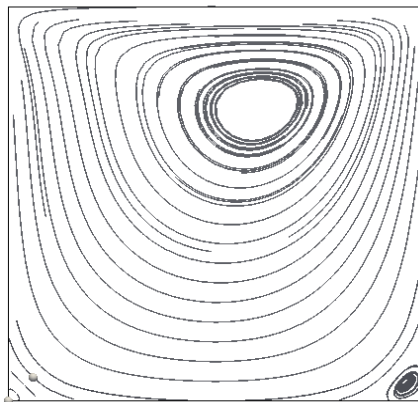
MALLA (no. volúmenes)	ERROR (%)		
	$U_{mín}$	$V_{mín}$	$V_{máx}$
419	4,628	4,591	2,743
1112	1,689	1,419	1,092
1838	1,167	0,830	0,735

a) $Re_D = 100$

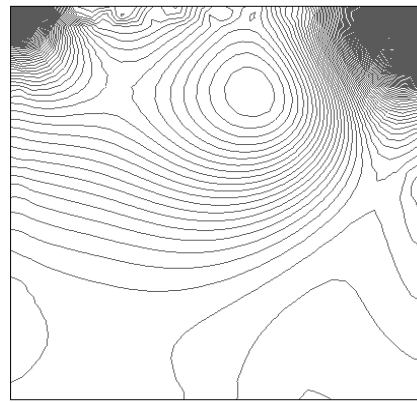
MALLA (no. volúmenes)	ERROR (%)		
	$U_{mín}$	$V_{mín}$	$V_{máx}$
10326	14,129	14,655	8,649
19498	7,349	7,624	2,957
31854	4,777	4,947	2,180

b) $Re_D = 1000$

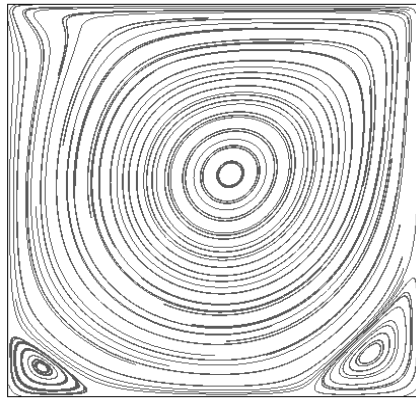
Figura 31. Líneas de corriente y líneas de presión constante en la cavidad.



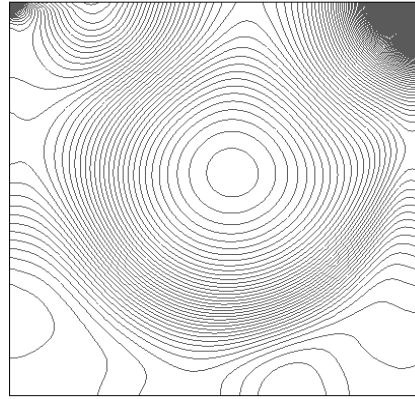
a) Líneas de corriente. $Re_D = 100$



b) Líneas de presión. $Re_D = 100$



c) Líneas de corriente. $Re_D = 1000$



d) Líneas de presión. $Re_D = 1000$

7.3.3 Discusión

Al igual que el Smith-Hutton, este es un problema de flujo en estado estacionario, el mismo criterio fue utilizado para determinar cuándo la solución temporal alcanza la este estado.

Con el propósito de asegurar la independencia de la malla de la solución numérica obtenida, se evalúan los dos casos del problema en tres densidades de malla cada uno; en la figura 30 se presenta la solución de ambos casos del problema para las mallas estudiadas y la solución de referencia tomada de [13].

La tabla 1 presenta los errores relativos asociados a las mallas empleadas para tres valores representativos de la solución: valor mínimo de la componente u de la velocidad en el eje vertical que pasa por el centro de la cavidad, valor mínimo y máximo de la componente v de la velocidad en el eje horizontal que pasa por el centro de la cavidad.

Se observa que al incrementar el número de Reynolds, la malla debe refinarse más para alcanzar una solución cercana a la solución de referencia, esto se debe a la influencia de la convección en el problema. Al aumentar el número de Reynolds las fuerzas convectivas ejercen un mayor dominio sobre las fuerzas viscosas, la velocidad será mayor, y por lo tanto los gradientes en las zonas cercanas a las

paredes serán más altos también debido a la condición de no deslizamiento; en la figura 30 (b y d) se puede observar que las pendientes de la velocidad v cercanas a las paredes son más elevadas para $Re = 1000$. Esta es la razón por la cual se debe refinar más la malla al aumentar el número de Reynolds, ya que se necesita una malla más fina para percibir los gradientes conforme se hacen más altos.

En la figura 31 se presentan las líneas de corriente y el mapa de presiones para los dos casos estudiados, estos resultan ser muy similares a los encontrados en la literatura [7] [13].

7.4 CASO DE ESTUDIO: FLUJO EN UN CANAL CON ESCALÓN RECTO

Como se mencionó anteriormente, no se han publicado estudios del flujo en un canal con escalón inclinado que presenten resultados para flujo laminar; sin embargo, para el caso del escalón recto, hay una gran cantidad de publicaciones al respecto. Por esta razón, además de validar el esquema numérico mediante el problema Driven Cavity, también se hizo el estudio para el problema de flujo en un canal con escalón recto, el cual es más cercano al problema en que se centra el presente trabajo.

7.4.1 Descripción del problema

La descripción del problema del flujo en un canal con escalón se explicó en el primer capítulo; el objetivo principal, es encontrar la posición del punto de reencuentro del flujo; el punto de separación no se tiene en cuenta, debido a que cuando el escalón es recto la separación se da en el inicio del mismo²².

²² El estudio de Biswas et. al. [16] confirma que para canales con escalón recto y $Re_D > 10$ el punto de separación se encuentra en la esquina donde comienza la expansión; la región de recirculación cubre completamente la cara del escalón.

Al igual que los problemas anteriores, este es un problema de flujo en régimen permanente, el mismo criterio anterior fue utilizado para determinar cuándo la solución temporal alcanza la estabilidad.

El estudio se realizó para dos números de Reynolds que cumplen con la condición de flujo laminar, y pertenecen al rango en el que el flujo se considera bidimensional ($Re_D < 400$). La relación de expansión se tomó como $H/h = 1.9423$, este valor fue considerado en los estudios experimentales de Armaly et. al. [14] y ha sido utilizado en varios estudios numéricos.

La posición encontrada del punto de reencuentro se compara con valores de referencia tomados de Armaly et al. [14].

7.4.2 Resultados numéricos

Figura 32. Líneas de corriente en la región cercana al escalón.

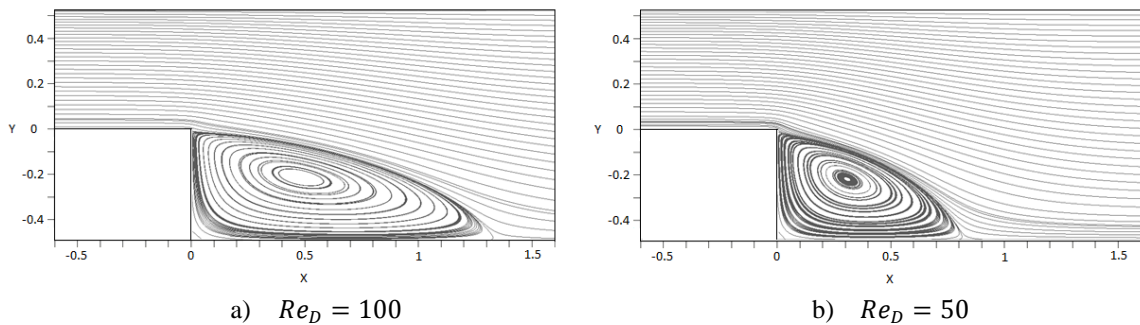


Tabla 2. Posición del punto de reencuentro. Estudio de independencia de malla y errores relativos asociados.

<i>MALLA</i> <i>A_{min}/h</i>	<i>x_r/h</i>	<i>Error (%)</i>
0,05102	2,59327	12,131
0,04082	2,75510	6,648
0,03265	2,78816	5,528

a) $Re_D = 100$

<i>MALLA</i> <i>A_{min}/h</i>	<i>x_r/h</i>	<i>Error (%)</i>
0,05102	1,58410	11,129
0,04082	1,67551	6,007
0,03265	1,68163	5,657

b) $Re_D = 50$

Figura 33. (a) Gráfica de referencia de la variación de la posición del punto de reencuentro con respecto al número de Reynolds. Tomada de Armaly et. al. (b) Valores para los números de Reynolds estudiados obtenidos mediante el programa G3data.

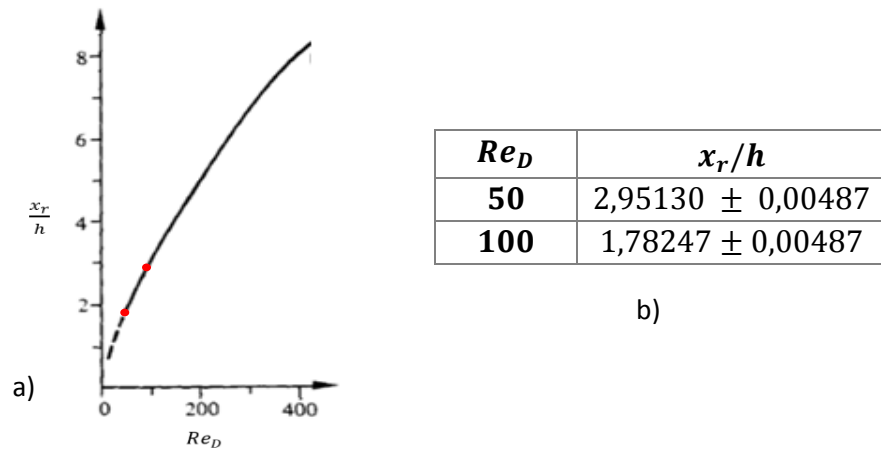
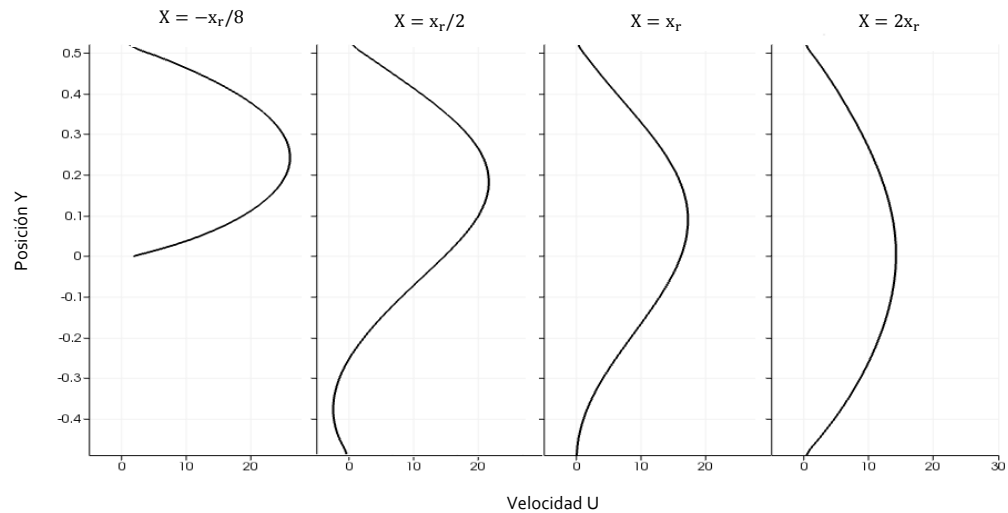


Figura 34. Perfiles de velocidad en varias posiciones del canal para $Re_D = 100$.



7.4.3 Discusión

En la figura 32 se observan las líneas de corriente de flujo para los números de Reynolds de 100 y 50; como se mencionó anteriormente, la zona de recirculación

comienza en la esquina donde comienza el escalón y termina en el punto denominado como punto de reencuentro. Como es de esperar, la longitud de separación del flujo es mayor para el número de Reynolds mayor; esto se debe a que los gradientes son más altos.

La figura 32 no muestra el dominio completo simulado, únicamente la región cercana al escalón; la longitud del canal se tomó acorde con las condiciones de frontera explicadas en el capítulo 1, con el fin de lograr flujo completamente desarrollado en el canal aguas arriba y aguas abajo del escalón. En la figura 34 se muestran los perfiles longitudinales de velocidad en diferentes posiciones del canal, es posible ver que en la posición justo antes del escalón ($X = -x_r/8$) el flujo es completamente desarrollado (Perfil parabólico de velocidad), lo mismo sucede aguas abajo de la zona de recirculación ($X = 2x_r$).

Este comportamiento permite validar las condiciones de frontera de entrada y salida de flujo utilizadas en el esquema numérico.

La figura 34 también permite observar el comportamiento de la velocidad en la zona de separación ($X = x_r/2$), la componente de la velocidad en dirección x , u , se hace negativa, lo cual ocasiona la recirculación del flujo. En la posición del punto de reencuentro ($X = x_r$) ya no se presentan velocidades negativas, la componente x de la velocidad cercana a la pared del canal tiende a 0.

El estudio de Armaly et. al. [14] presenta una gráfica con los valores obtenidos de la posición de reencuentro en función del número de Reynolds (Fig. 33a); con el fin de obtener los valores de referencia requeridos para los números de Reynolds estudiados en este trabajo, se utilizó el programa analizador de gráficos "G3data", este permite obtener de la gráfica los valores con un error de $\pm 0,00487$ en cada uno (Fig. 33b).

Con el propósito de asegurar la independencia de la malla de la solución numérica obtenida, se evalúan los dos casos del problema en tres densidades de malla cada uno; en la tabla 2 se presenta la posición del punto de reencuentro para cada una

de las mallas estudiadas y los errores relativos asociados al compararlos con los valores tomados como referencia (Fig. 33b).

El valor presentado $A_{mín}/h$ (Tabla 2) representa la densidad de malla utilizada en la región de recirculación de flujo (Longitud mínima de las caras de los triángulos de la malla), en el resto del dominio se utilizó una densidad de malla más baja.

Los errores obtenidos para las mallas más finas son aceptables, estas densidades de mallas serán las utilizadas para realizar el estudio del flujo en el canal con expansión inclinado.

8. RESULTADOS DEL ESTUDIO DEL FLUJO EN UN CANAL CON EXPANSIÓN INCLINADA

La descripción del problema del flujo en un canal con expansión inclinada se presentó en el capítulo 1, en este capítulo se presentarán los resultados obtenidos del estudio numérico.

La solución de este problema se realizó de la misma forma que el problema del flujo en el canal con expansión recta: utilizando el método FSM explicado en el capítulo anterior y un mallado no estructurado. La densidad de malla se tomó igual a la densidad más fina utilizada en ese problema: $A_{\text{mín}}/h = 0.03265$ en la zona de recirculación.

El objetivo es encontrar la posición del punto de separación y del punto de reencuentro del flujo, la longitud entre estos dos puntos es denominada longitud de separación.

El estudio se realizó para dos números de Reynolds que cumplen con la condición de flujo laminar, y pertenecen al rango en el que el flujo se considera bidimensional ($Re_D < 400$); la relación de expansión se tomó como $H/h = 1.9423$, y se estudiaron ángulos de inclinación de 15° , 30° , 45° y 90° . Adicionalmente se presentan resultados para diferentes relaciones de expansión, ángulo de inclinación de 45° y $Re_D = 50$.

8.1 Resultados numéricos

Tabla 3. Ubicación de los puntos de separación y reencuentro, y longitud de separación, para los ángulos estudiados.

α	x_s	x_r	L_s
90°	0	1,36620	1,36620
45°	0,07250	1,21775	1,14525
30°	0,36270	1,14400	0,78130
15°	—	—	—

a) $Re_D = 100$

α	x_s	x_r	L_s
90°	0	0,82400	0,82400
45°	0,17260	0,72160	0,54900
30°	—	—	—
15°	—	—	—

b) $Re_D = 50$

Figura 35. Líneas de corriente en la región cercana al escalón para varios ángulos de inclinación y $Re_D = 100$.

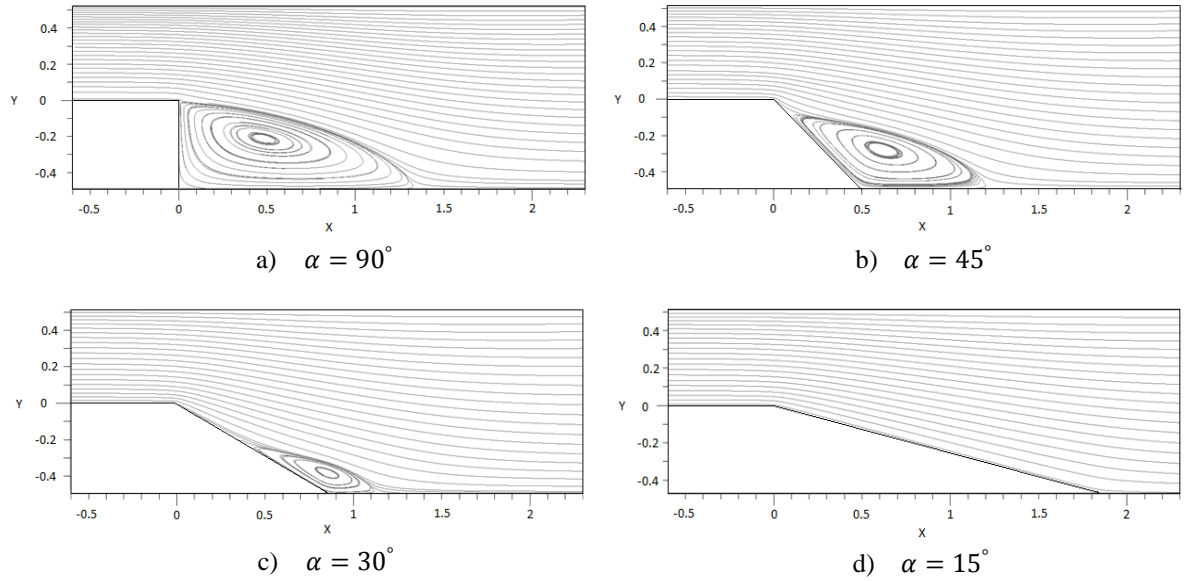


Figura 36. Líneas de corriente en la región cercana al escalón para varios ángulos de inclinación y $Re_D = 50$.

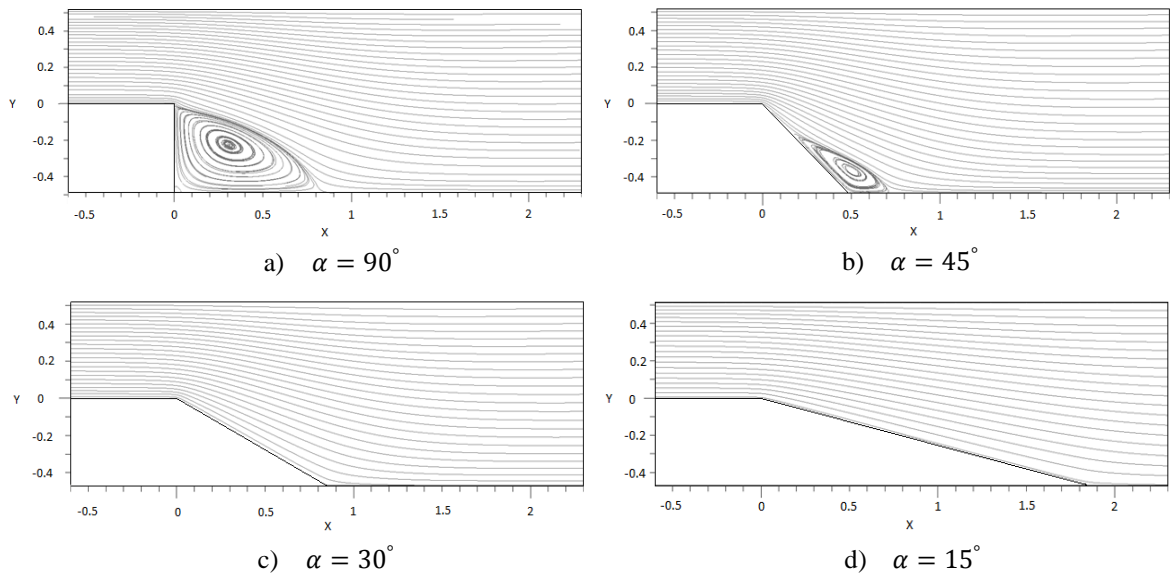
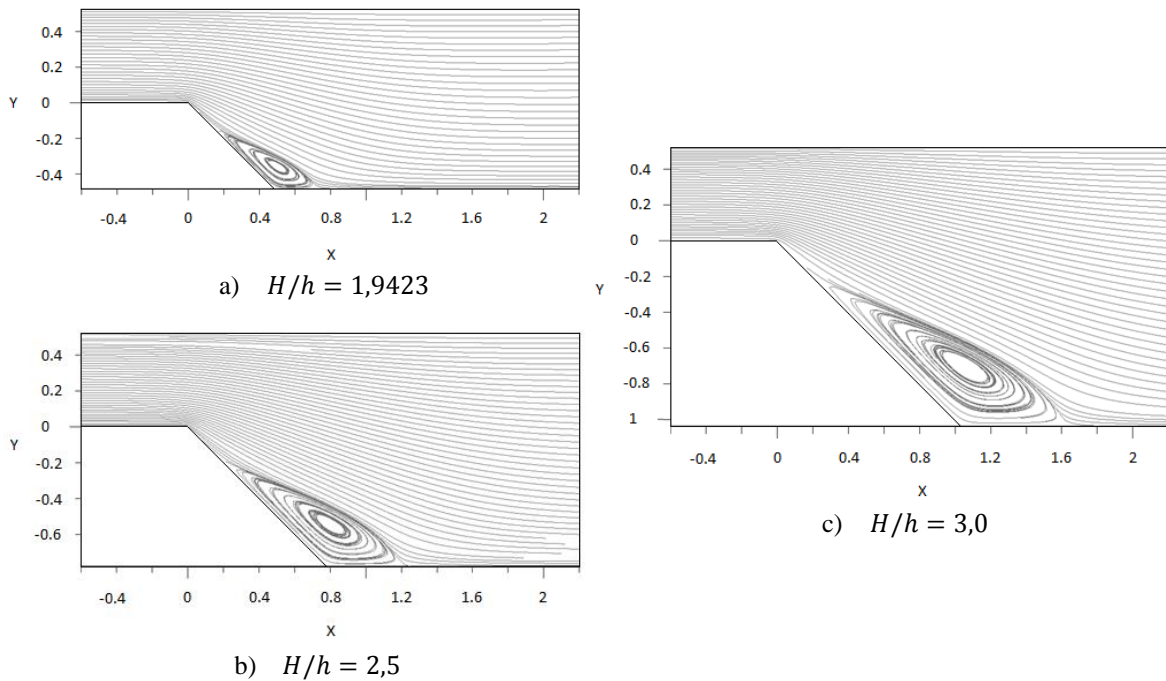


Tabla 4. Ubicación de los puntos de separación y reencuentro, y longitud de separación, para $\alpha = 45^\circ$ y tres relaciones de expansión.

H/h	x_s	x_r	L_s
1,9423	0,17260	0,72160	0,54900
2,5000	0,20200	1,21000	1,00800
3,0000	0,22640	1,62630	1,60366

Figura 37. Líneas de corriente en la región cercana al escalón para diferentes relaciones de expansión, $\alpha = 45^\circ$ y $Re_D = 50$



8.2 Discusión

En las figuras 35 y 36 se observan las líneas de corriente del flujo para el canal con relación de expansión $H/h = 1,9423$ y los diferentes ángulos estudiados para $Re_D = 50$ y $Re_D = 100$, se observa como la zona de recirculación se hace más pequeña conforme disminuye el ángulo de inclinación del escalón, para algunos casos, incluso, llega a ser inexistente. La tabla 3 presenta la posición de los puntos de

separación y reencuentro y la longitud de separación en cada caso; los resultados muestran como la longitud de separación disminuye al disminuir el ángulo de inclinación; la separación del flujo se presenta cada vez más apartada del inicio del escalón conforme disminuye el ángulo de inclinación; para los casos de $Re_D = 100$ y ángulo de 15° , y $Re_D = 50$, y ángulos de 15° y 30° , no se presenta el fenómeno de separación de flujo. Este comportamiento coincide con el presentado para flujo laminar tridimensional en [17] y para flujo turbulento en [18].

Al igual que en el caso del escalón recto, la longitud de separación también disminuye al disminuir el número de Reynolds.

En la figura 37 se presentan las líneas de corriente del flujo par $Re_D = 50$, escalón con ángulo de inclinación de 45° y varias relaciones de expansión; la tabla 4 muestra las posiciones de los puntos de separación y reencuentro, y la longitud de separación para estos tres casos; la longitud de separación aumenta conforme aumenta la relación de expansión, la posición del punto de separación se aleja de la esquina donde empieza el escalón a medida que aumenta la relación, sin embargo, no es un aumento significativo con respecto al aumento en la longitud de separación. El aumento de la zona de recirculación conforme aumenta la relación de expansión coincide con los resultados encontrados en [16] para flujo laminar en un canal con escalón recto.

9. CONCLUSIONES

- Se desarrolló una herramienta computacional para la solución bidimensional de las ecuaciones incompresibles de Navier-Stokes para bajos números de Reynolds. Se utilizó el método de volúmenes finitos, y esquemas de primer orden y segundo orden para la discretización espacial y temporal, respectivamente.
- La comparación de los resultados obtenidos del problema Smith-Hutton, y el problema Driven Cavity, con las soluciones de referencia presentes en la literatura permitieron validar la herramienta desarrollada.
- El mallado no estructurado se adapta con efectividad a cualquier geometría; tanto en geometrías sencillas como dominios rectangulares (donde se suele usar malla estructurada), como en problemas con geometrías de mayor complejidad, se obtienen resultados satisfactorios. Sin embargo, aumenta el tiempo de cálculo de la simulación debido a los elementos geométricos y el término del segundo gradiente de difusión que introduce.
- El esquema de interpolación aguas arriba (Upwind) es de fácil implementación en el código computacional y garantiza resultados físicamente posibles; sin embargo es de bajo orden de precisión e introduce una falsa difusión, lo cual conlleva a errores significativos en la solución encontrada, principalmente cuando el problema de estudio se caracteriza por tener una gran influencia del término convectivo.
- Se aseguró la estabilidad de las soluciones utilizando el criterio de estabilidad CFL con valores del número de Courant convectivo y viscoso de 0,2 y 0,35, respectivamente.

- El método del paso fraccionado resulta ser de fácil implementación en el código computacional y permite reducir el problema de checkerboarding en mallas colocadas, lo cual lo hace una técnica conveniente al usar malla no estructurada.
- Se desarrolló un modelo matemático para la descripción del flujo laminar e incompresible que pasa por un canal que presenta una expansión inclinada en su geometría. El modelo fue validado comparando los resultados de la solución para el caso del problema con escalón recto con los resultados encontrados en la literatura.
- El problema del flujo en un canal con expansión inclinada tiene una geometría sencilla, sin embargo, tiene características del flujo complejas, como gradientes de presión adversos, recirculaciones de flujo, separación reencuentro y redesarrollo de la capa límite.
- La solución numérica del problema del flujo en un canal con expansión permite obtener resultados bastante aproximados de su comportamiento real estudiado experimentalmente, para el rango de números de Reynolds en que el flujo permanece bidimensional.
- El uso de un esquema de discretización temporal explícito para la solución del problema del flujo en un canal con expansión implica que se requieran grandes tiempos de cálculo debido a la restricción de tiempo que introduce, ya que, en este problema, se requieren mallas bastante finas.

10. RECOMENDACIONES

- En este trabajo se solucionó el problema del flujo laminar e incompresible en un canal con expansión; es posible continuar el desarrollo de este problema al incluir la solución en régimen turbulento utilizando modelos tipo LES (Large Eddy Simulation).
- Se podría mejorar la precisión del método numérico desarrollado utilizando un esquema de mayor orden para la discretización espacial de los términos convectivos de la ecuación de transporte.
- El código creado puede ser optimizado en cuanto al uso de memoria y el tiempo de procesamiento. También resultaría favorable aprovechar el uso de la programación en paralelo que permite PETSc.
- El código desarrollado solo admite mallas con elementos triangulares, sin embargo, es posible y no resulta complicado implementar los elementos necesarios para poder ingresar mallas con otras formas geométricas. La implementación de elementos cuadráticos permitiría el uso de mallas estructuradas (bidimensionales).

BIBLIOGRAFÍA

1. ARMALY, B. F. et al. Experimental and theoretical investigation of backward-facing step flow. En: Journal of Fluids Mechanics. 1983, vol.127.
2. CHORIN, A. J. Numerical Solution of the Navier-Stokes Equations. En: Journal of Computational Physics. 1968, vol. 22, pag. 745-62.
3. CIMEC, Centro Internacional de Métodos Computacionales en Ingeniería. Métodos iterativos para la solución de problemas lineales y no-lineales. (<http://www.cimec.org.ar/>) Consultado: Diciembre, 2013.
4. CTTC. Introduction to the fractional step method. Universidad Politécnica de Catalunya.
5. FERNANDEZ ORO, Jesús Manuel. Técnicas numéricas en ingeniería de fluidos. Barcelona: Reverté, 2012.
6. GHIA, U. et. al. High-resolutions for incompressible flow using the Navier-Stokes equations and a multigrid method. En: Journal of Computational Physics. 1982.
7. MURTHY, J. Y. Numerical Methods in Heat, Mass, and Momentum Transfer. J.Y. School of Mechanical Engineering, Purdue University, 1998.
8. PATANKAR, S. V. Numerical Heat Transfer and Fluid Flow. New York: Hemisphere Publishing Corporation, 1980.
9. PEREZ-SEGARRA C.D. et. al. Analysis of different numerical schemes for the resolution of convection-diffusion equations using finite-volume methods on three-dimensional unstructured. En: Numerical Heat Transfer. 2006, parte B, vol. 49.
10. SMITH. R. M. and HUTTON A. G. The numerical treatment of advection: a performance comparison of current methods. Numerical Heat Transfer, 5:439–461, 1982.

REFERENCIAS

- [1] PATANKAR, S. V. Numerical Heat Transfer and Fluid Flow. New York: Hemispher Publishing Corporation, 1980.
- [2] FERNANDEZ ORO, Jesús Manuel. Técnicas numéricas en ingeniería de fluidos. Barcelona: Reverté, 2012.
- [3] MURTHY, J. Y. Numerical Methods in Heat, Mass, and Momentum Transfer. J.Y. School of Mechanical Engineering, Purdue University, 1998.
- [4] BELEÑO MIER, A. A. et al. Seminario de investigación en dinámica de fluidos computacional. Trabajo de grado ingeniero mecánico. Bucaramanga: Universidad Industrial de Santander. Facultad de ingenierías físico mecánicas. 2009.
- [5] JEREZ CARRIZALES, Manuel Fernando. Modelado y simulación del flujo de un fluido sobre una placa mediante volúmenes finitos. Trabajo de grado ingeniero mecánico. Bucaramanga: Universidad Industrial de Santander. Facultad de ingenierías físico mecánicas. 2012.
- [6] PEREZ-SEGARRA C.D. et. al. Analysis of different numerical schemes for the resolution of convection-diffusion equations using finite-volume methods on three-dimensional unstructured. En: Numerical Heat Transfer. 2006, parte B, vol. 49, pag. 333-350.
- [7] CASCAVITA MELLADO, K. L. et. al. Solución numérica de las ecuaciones de Navier-Stokes incompresibles por el método de los volúmenes finitos. En: Revista Ion. 2013, vol. 26, no. 2.
- [8] CHORIN, A. J. Numerical Solution of the Navier-Stokes Equations. En: Journal of Computational Physics. 1968, vol. 22, pag. 745-62.

- [9] KIM, J. and MOIN, P. Application of a fractional-step method to incompressible Navier-Stokes equations. En: Journal of Computational Physics. 1985, vol. 59, pag. 308–323.
- [10] BOIVIN, S. et. al. A finite volume method to solve the Navier–Stokes equations for incompressible flows on unstructured meshes. En: International Journal of Thermal Sciences. 2000, vol. 39, pag. 806–25.
- [11] CTTC. Introduction to the fractional step method. Universidad Politécnica de Catalunya.
- [12] SMITH. R. M. and HUTTON A. G. The numerical treatment of advection: a performance comparison of current methods. Numerical Heat Transfer, 5:439–461, 1982.
- [13] GHIA, U. et. al. High-resolutions for incompressible flow using the Navier-Stokes equations and a multigrid method. En: Journal of Computational Physics. 1982, vol. 48, pag. 387-411.
- [14] ARMALY, B. F. et al. Experimental and theoretical investigation of backward-facing step flow. En: Journal of Fluids Mechanics. 1983, vol.127.
- [15] NOH, F. et al. Solución numérica para el flujo laminar en un canal con expansión brusca. En: Revista Sociedad mexicana de ingeniería mecánica. Septiembre, 2004, vol. 1 no. 5.
- [16] BISWAS, G. et al. Backward-facing step flows for various expansion ratios at low and moderate reynolds numbers. En: Journal of fluids engineering. Mayo, 2004, vol. 123.
- [17] CHEN, Y. T. et al. Three-dimensional convection flow adjacent to inclined backward-facing step. En: International journal of heat and mass transfer. Agosto, 2006.

- [18] RUCK B. and MAKIOLA B. Flow separation over the inclined step. Institut für Hidromechanik, Universität Karlsruhe. 1993.
- [19] GANDJALIKHAN NASSAB S. A. et. al. Study of laminar forced convection of radiating gas over an inclined backward facing step under bleeding condition using the blocked-off method. En: Journal of Heat Transfer. Julio de 2011, vol. 133.
- [20] GANDJALIKHAN NASSAB S. A. et. al. Numerical investigation of entropy generation in laminar forced convection flow over inclined backward and forward facing steps in a duct under bleeding condition. Mechanical Engineering Department, School of Engineering, Shahid Bahonar University, Kerman, Iran.
- [21] SALOME, The open source integration platform for numerical simulation. [2014] (<http://www.salome-platform.org/>) Consultado: Mayo, 2014.
- [22] PETSc, Portable, Extensible Toolkit for Scientific Computation. [2014] (<http://www.mcs.anl.gov/petsc/>) Consultado: Mayo, 2014.
- [23] ParaView. [2013] (<http://www.paraview.org/>) Consultado: Septiembre, 2013.
- [24] CIMEC, Centro Internacional de Métodos Computacionales en Ingeniería. Métodos iterativos para la solución de problemas lineales y no-lineales. (<http://www.cimec.org.ar/>) Consultado: Diciembre, 2013.

ANEXO A. MÉTODOS DE SOLUCIÓN DE SISTEMAS DE ECUACIONES LINEALES

A continuación se dará una breve explicación de los métodos de solución de ecuaciones lineales que combinan un método de espacio Krylov y un preconditionador; se describirá brevemente el método de solución utilizado en este trabajo.

Los métodos Krylov son actualmente los algoritmos más exitosos en la solución de ecuaciones lineales, funcionan mediante la formación de una serie de vectores lineales independientes a partir del producto de la secuencia de potencias de la matriz por el vector de producto inicial. Las aproximaciones a la solución se forman minimizando el residuo en el subespacio formado.

$$K_r(A, b) = \text{span}\{b, Ab, A^2b, \dots, A^{r-1}b\}$$

La ecuación anterior corresponde a un subespacio Krylov de orden r , generado por una matriz cuadrada A de orden n , y en vector b de tamaño n .

Algunos de los métodos Krylov más utilizados son: método del gradiente conjugado (CG), método del residuo mínimo generalizado (GMRES), y método del gradiente biconjugado (BICG).

La convergencia de los métodos basados en los subespacios de Krylov mejora con el uso de las técnicas de preconditionamiento. Éstas consisten generalmente en cambiar el sistema original $Ax = b$ por otro de idéntica solución, de forma que el número de condicionamiento de la matriz del nuevo sistema sea menor que el de A , o que tenga una mejor distribución de sus valores.

Generalmente, se considera como matriz de preconditionamiento a M^{-1} , de modo que: $M^{-1}Ax = M^{-1}b$.

Los preconditionadores deben de cumplir dos requisitos: fácil implementación, evitando un costo computacional excesivo del producto de M^{-1} por un vector; y mejorar la convergencia del método.

El campo de investigación de los preconditionadores es muy extenso. Algunos de los más usados y cuyas prestaciones son bien conocidas son: Factorizaciones ILU, diagonal o de Jacobi, el método SOR, y los métodos Multigrid.

El método de solución del sistema de ecuaciones utilizado en este trabajo, consiste en la combinación del método del residuo mínimo generalizado (GMRES) y un preconditionador Multigrid algebraico. A continuación se hace una breve descripción de en que consisten.

MÉTODO DEL RESIDUO MÍNIMO GENERALIZADO (GMRES)

Fue propuesto en 1986 por Y. Saad y M. Schulz como un método iterativo por subespacios de Krylov para sistemas no-simétricos y no necesariamente definidos positivos, no requiere el cálculo de productos de A^T con un vector, lo cual es una gran ventaja en muchos casos.

El desarrollo del algoritmo consiste en encontrar un vector $x = x_0 + V_y$, imponiendo la condición de mínimo para el residuo de la ecuación: $J(y) = \|b - Ax\|$.

Este algoritmo requiere de un elevado costo computacional y de almacenamiento en memoria, para solucionar esto se usa una técnica de reinicio y truncamiento que consiste en que se realizan n iteraciones y se comienza de nuevo a partir de la última iteración, de modo que no se exceda la memoria de la máquina.

MÉTODO DE PRECONDICIONAMIENTO MULTIGRID

La principal idea del método Multigrid es acelerar la convergencia del método iterativo mediante correcciones hechas en cada iteración, el principio es similar a calcular una solución en malla basta e interpolarla a una malla más fina.

El método multigrid algebraico construye los niveles de interpolación basándose en la matriz del sistema, se asocian las ecuaciones de un grupo de volúmenes de control y a partir de ellas se obtiene una ecuación que corresponde a una malla más basta. Así, los coeficientes de la matriz del nivel basto se obtienen sumando los coeficientes de la matriz de nivel más fino.

ANEXO B. USO DE PETSC

PETSc (Portable, Extensible Toolkit for Scientific Computation) es una serie de estructuras de datos y rutinas para la implementación de aplicaciones de código computacional en paralelo (o serie si se requiere); utiliza el estándar MPI para la comunicación de paso de mensajes.

La programación en paralelo permite mejorar la velocidad en la solución de grandes problemas al permitir que muchas instrucciones se realicen simultáneamente. El comunicador MPI es una forma de indicar una colección de procesos que se involucrarán en el cálculo; PETSc da la opción de especificar si el programa o una rutina se realiza en paralelo o secuencial, o si se prefiere no se especifica y Petsc es quién decide según sea más conveniente.

Es posible referirse al manual de PETSc para conocer cómo funcionan todas las rutinas y comandos de forma detallada, así como la explicación de la descarga e instalación del mismo. A continuación se dará explicación de las rutinas utilizadas en el código computacional creado en este trabajo, y se mostrarán ejemplos de su uso para un mayor entendimiento del mismo.

1. PROGRAMANDO CON PETSC

Para poder utilizar todas las rutinas de PETSc, es necesario incluir las librerías mediante la declaración:

```
#include "petsc.h"
```

Todos los programas deben empezar con el comando:

```
PetscInitialize(int *argc, char ***argv, char *file, char *help);
```

Que inicializa PETSc y MPI. Los argumentos `argc` y `argv` son los argumentos de línea de comandos dados en todos los programas de C y C++ (Función main); el

argumento `file` indica un nombre alternativo para el archivo de opciones de Petsc, y `help` corresponde a un comando de ayuda para el programa.

Al finalizar el programa se debe llamar el comando:

```
PetscFinalize();
```

2. DECLARACIÓN DE VARIABLES

Aparte de los tipos de variables usadas en C++, Petsc introduce otros tipos de variables, algunos de ellos son:

`PetscInt`: Tipo de variable que representa un entero, se usa principalmente para representar dimensiones e indexación.

`PetscScalar`: Tipo de variable que representa una número real o complejo de precisión *double*, un número real de precisión *float*, un *long double*, o un entero.

`PetscReal`: Tipo de variable que representa una versión real de `PetscScalar`.

Por otro lado, todas las rutinas de Petsc devuelven un entero que indica si un error ha ocurrido durante la ejecución del programa, esta variable se declara como:

```
PetscErrorCode ierr;
```

Para poder rastrear cualquier error es necesario que cada rutina se escriba de la siguiente forma:

```
ierr = rutina de petsc; CHKERRQ(ierr);
```

De esta forma se detectan los errores y se muestran en la terminal al ejecutar el programa.

3. USO DE VECTORES

Los vectores se declaran como objetos así: `Vec v`. Petsc provee dos tipos de vector: secuencial y paralelo (basado en MPI); al crear el vector es posible especificar a

qué tipo corresponde, o pueden utilizarse las siguientes rutinas que generan automáticamente el tipo de vector apropiado según el caso:

```
VecCreate(MPI Comm comm,Vec *v);  
VecSetSizes(Vec v, int m, int M);  
VecSetFromOptions(Vec v);
```

La variable `comm` declarada como `MPI Comm` es el comunicador que corresponde a un grupo de procesos sobre el que se realiza la comunicación. `M` es el número de componentes totales del vector, y `m` indica el número de componentes que se guardarán en el proceso local, es posible dejar que PETSc sea quien determine este valor mediante el argumento `PETSC_DECIDE`.

Para el llenado del vector, es posible asignar un valor singular a todos los componentes del vector con el comando:

```
VecSet(Vec v,PetscScalar valor);
```

Para asignar valores individuales a los componentes se utiliza el comando:

```
VecSetValues(Vec v,int n,int *indices,PetscScalar  
*values,INSERT_VALUES);
```

El argumento `n` establece el número de componentes a los que se asignará un valor, el array de tipo entero contiene los índices de los componentes, y el array de tipo `PetscScalar` contiene los valores que se van a insertar.

Una vez se hayan ingresado todos los valores del vector, es necesario llamar los siguientes comandos para ensamblar el vector:

```
VecAssemblyBegin(Vec v);  
VecAssemblyEnd(Vec v);
```

Para acceder a los elementos del vector se utiliza el siguiente comando, el cual permite obtener un puntero con los valores del vector.

```
VecGetArray(Vec v,PetscScalar **array);
```

Cuando ya no se necesiten los valores, es necesario devolverlos mediante el comando:

```
VecRestoreArray(Vec v, PetscScalar **array);
```

Finalmente cuando un vector ya no se necesite debe ser destruido con el comando:

```
VecDestroy(Vec *v);
```

EJEMPLO

A continuación se presenta un ejemplo tomado del código computacional desarrollado en este trabajo para la aplicación del uso de vectores.

El ejemplo muestra cómo se crea y se llena un vector (`Vec vec_ap0`) para guardar los valores de un coeficiente en cada celda (el número de celdas se define anteriormente en el código como `int n_vc`). Para calcular el valor del coeficiente, se necesita el valor del volumen en cada celda, el cual se tiene guardado en un vector (`Vec vec_volumen`) que se creó y llenó anteriormente en el código. La variable para obtener los valores de volumen se declara como `PetscScalar *volumenvc`.

```
...
VecCreate(PETSC_COMM_WORLD, &vec_ap0);
VecSetSizes(vec_ap0, PETSC_DECIDE, n_vc);
VecSetFromOptions(vec_ap0);

VecGetArray(vec_volumen, &volumenvc);
for (i=0; i<n_vc; i++)
{
    ap_0=densidad*volumenvc[i]/timestep;
    VecSetValues(vec_ap0, 1, &i, &ap_0, INSERT_VALUES);
}
VecRestoreArray(vec_volumen, &volumenvc);
```

```
ierr = VecAssemblyBegin(vec_ap0);  
ierr = VecAssemblyEnd(vec_ap0);  
...
```

4. USO DE MATRICES

Las matrices se declaran como objetos así: `Mat A`. Petsc provee una variedad de tipos de matrices: matrices densas y dispersas, ambas en versiones secuenciales o paralelas), también tiene otros formatos especializados.

La rutina más sencilla para crear un matriz es la siguiente:

```
MatCreate(MPI Comm comm, Mat *A);  
MatSetSizes(Mat A, int m, int n, int M, int N);
```

Esta rutina genera una matriz secuencial si se corre un proceso, o una matriz paralela si se corren dos o más procesos. Los argumentos `M` y `N` designan el tamaño global de la matriz; `m` y `n` designan el tamaño local, estos últimos pueden establecerse como `PETSC_DECIDE`, de modo que sea PETSc quien determine este valor.

Para ingresar valores a una matriz se utiliza el comando:

```
MatSetValues(Mat A, int m, const int idxm[], int n, const int  
idxn[], const PetscScalar values[], INSERT_VALUES);
```

Esta rutina inserta un bloque de valores de dimensión $m \times n$ a la matriz, Los índices `idxm` y `idxn`, indican los números de fila y columna donde se ingresaran los valores, respectivamente. El argumento `values[]` es un array bidimensional que contiene los valores a ingresar a la matriz.

Luego de que se han ingresado los elementos a la matriz se deben ensamblar antes de poder ser usados, esto se hace mediante las rutinas:

```
MatAssemblyBegin(Mat A, MAT_FINAL_ASSEMBLY);
```

```
MatAssemblyEnd(Mat A, MAT_FINAL_ASSEMBLY);
```

Una vez la matriz es ensamblada, se compacta y puede ser utilizada en operaciones; las posiciones que no se hallan llenado con ningún valor se pierden al comprimirse la matriz, si estas posiciones serán usadas posteriormente, se deben insertar ceros en ellas antes de utilizar las rutinas mencionadas.

Para acceder a los elementos de la matriz se utiliza el comando:

```
MatGetRow(Mat A, int row, int *ncols, const PetscInt (*cols)[], const PetscScalar (*vals)[]);
```

El argumento `ncols` devuelve el número de elementos con valor diferente de cero en la fila `row`, mientras `cols` y `vals` devuelven los índices de las columnas y los valores de la fila. Si uno de estos elementos no se requiere es posible utilizar `PETSC_NULL` como argumento en lugar del otro. Los valores extraídos de la matriz con este comando no pueden ser modificados.

Una vez se haya finalizado el uso de una fila es necesario liberar el espacio de memoria mediante el siguiente comando:

```
MatRestoreRow(Mat A, int row, int *ncols, int **cols, PetscScalar **vals);
```

Finalmente cuando una matriz ya no se necesite debe ser destruida con el comando:

```
MatDestroy(Mat *A);
```

EJEMPLO

A continuación se presenta un ejemplo tomado del código computacional desarrollado en este trabajo para la aplicación del uso de matrices.

El ejemplo muestra cómo se crea y se llena una matriz (`Mat mat_coord`) para guardar los valores de las coordenadas del centroide de cada celda (el número de

celdas se define anteriormente en el código como `int vc`). Para calcular el valor del centroide se necesitan los índices de los vértices que pertenecen a la celda, y sus coordenadas; los índices de los vértices se obtuvieron anteriormente y se encuentran en la matriz `Mat matriz_vc`, sus valores se obtienen mediante la variable `const PetscScalar *vertvc`; las coordenadas de los vértices también se obtuvieron anteriormente y se encuentran en la matriz `Mat matriz_n`, sus valores se obtienen mediante la variable `const PetscScalar *coordvert`.

```

...
MatCreate(PETSC_COMM_WORLD,&matriz_coord);
MatSetSizes(matriz_coord,PETSC_DECIDE,PETSC_DECIDE,vc,2);
MatSetFromOptions(matriz_coord);
MatSetUp(matriz_coord);
...
for (j=0;j<vc;j++)
{
    MatGetRow(matriz_vc,j,PETSC_NULL,PETSC_NULL,&vertvc);
    for (i=0;i<3;i++)
    {
        k=vertvc[i];
        MatGetRow(matriz_n,k,PETSC_NULL,PETSC_NULL,&coordvert);
        vertx[i]=coordvert[0];
        verty[i]=coordvert[1];
        MatRestoreRow(matriz_n,k,PETSC_NULL,PETSC_NULL,&coordvert);
    }
    value[0]=(vertx[0]+vertx[1]+vertx[2])/3;
    value[1]=(verty[0]+verty[1]+verty[2])/3;
    MatSetValues(matriz_coord,1,&j,2,col,value,INSERT_VALUES);
    ...
    MatRestoreRow(matriz_vc,j,PETSC_NULL,PETSC_NULL,&vertvc);
}
MatAssemblyBegin(matriz_coord,MAT_FINAL_ASSEMBLY);
MatAssemblyEnd(matriz_coord,MAT_FINAL_ASSEMBLY);

```

...

5. SOLUCIÓN DE ECUACIONES LINEALES

El objeto `KSP` permite el acceso a todos los paquetes de solucionadores de sistemas lineales que provee PETSc; el sistema de ecuaciones a resolver debe ser de la forma:

$$Ax = b$$

Donde A denota una matriz que representa un operador lineal, b es el vector del lado derecho de la ecuación y x es el vector solución. `KSP` utiliza las mismas secuencias para solucionadores directos e iterativos.

Para solucionar un sistema de ecuaciones lineales con `KSP` primero se debe crear la interface con el comando:

```
KSPCreate(MPI Comm comm, KSP *ksp);
```

Además se deben especificar las matrices asociadas con el sistema de ecuaciones:

```
KSPSetOperators(KSP ksp, Mat Amat, Mat Pmat, MatStructure flag);
```

Los argumentos `Amat` y `Pmat` son el mismo valor y representan la matriz que define el sistema lineal. El argumento `flag` puede ser usado para eliminar trabajo innecesario cuando se solucionan repetidamente sistemas lineales del mismo tamaño con el mismo preconditionador, cuando se resuelve solo un sistema de ecuaciones se puede ignorar este argumento; en el caso de no conocer la estructura de la matriz antes de solucionar el sistema, se debe designar el argumento `flag` como `DIFFERENT_NONZERO_PATTERN`.

Para la solución de sistemas de ecuaciones lineales `Petsc` permite la combinación de un método de sub-espacio Krylov y un preconditionador.

En la siguiente tabla se muestran los métodos de subespacio Krylov que ofrece PETSc con el nombre de su respectivo comando de llamado.

<i>Método</i>	<i>KSPTType</i>
<i>Richardson</i>	KSPRICHARDSON
<i>Chebyshev</i>	KSPCHEBYSHEV
<i>Gradiente Conjugado</i>	KSPCG
<i>Gradiente Biconjugado</i>	KSPBICG
<i>Mínimos Residuos Generalizado</i>	KSPGMRES
<i>Mínimos Residuos Generalizado Flexible</i>	KSPFGMRES
<i>Mínimos Residuos Generalizado Reducido</i>	KSPDGMRES
<i>Residuos Conjugados Generalizado</i>	KSPGCR
<i>Gradiente Biconjugado STAB</i>	KSPBCGS
<i>Gradiente Conjugado Cuadrado</i>	KSPCGS
<i>Transpuesta Libre de Residuo Cuasi-Mínimo (1)</i>	KSPTFQMR
<i>Transpuesta Libre de Residuo Cuasi-Mínimo (2)</i>	KSPTCQMR
<i>Residuo Conjugado</i>	KSPCR
<i>Mínimos Cuadrados</i>	KSPLSQR
<i>Opción sin método KSP</i>	KSPPREONLY

Para definir el método a utilizar se utiliza el comando:

```
KSPSetType(KSP ksp, KSPTType method);
```

El argumento `method` puede ser cualquiera de los listados en la tabla anterior. Es posible definir opciones específicas según el método que se escoja, sin embargo, ese tema no es de relevancia aquí, luego no será abordado.

En la siguiente tabla se muestran las opciones de preconditionadores disponibles en PETSc; en esta se encuentran divididos, los primeros corresponden a aquellos que pueden ser usados sin subespacio Krylov (KSPPREONLY), para los otros es necesario definir un método de subespacio Krylov.

<i>Método</i>	<i>PCType</i>
<i>Jacobi</i>	PCJACOBI
<i>Jacobi en Bloque</i>	PCBJACOBI
<i>SOR (y SSOR)</i>	PCSOR
<i>SOR con el truco Eisenstat</i>	PCEISENSTAT
<i>Cholesky Incompleta</i>	PCICC
<i>LU Incompleta</i>	PCILU
<i>Schwarz Aditivo</i>	PCASM
<i>Multigrid algebraico</i>	PCGAMG
<i>Método de Solución Lineal</i>	PCKSP
<i>Combinación de Precondicionadores</i>	PCCOMPOSITE
<i>LU</i>	PCLU
<i>Cholesky</i>	PCCHOLESKY
<i>Sin Precondicionador</i>	PCNONE
<i>Opción para que el usuario defina el preconditionador</i>	PCSHELL

Para definir el preconditionador a usar se utilizan las siguientes rutinas:

```
KSPGetPC(KSP ksp, PC *pc);
PCSetType(PC pc, PCType type);
```

El argumento `type` puede ser cualquiera de los listados en la tabla anterior.

Una vez definido el método y el preconditionador se deben utilizar las siguientes rutinas para realizar cualquier configuración necesaria del solucionador:

```
KSPSetFromOptions(KSP ksp);
KSPSetUp(KSP ksp);
```

Con todo lo anterior ya es posible solucionar el sistema de ecuaciones mediante el comando:

```
KSPSolve(KSP ksp, Vec b, Vec x);
```

Donde el argumento b corresponde al vector del lado derecho de la ecuación, y x es el vector solución.

Finalmente cuando el espacio KSP ya no se necesite debe ser destruido con el comando:

```
KSPDestroy(KSP *ksp);
```

ANEXO C. CÓDIGO COMPUTACIONAL DESARROLLADO

1. ARCHIVO DE LA FUNCIÓN MAIN

```
1 //ARCHIVO DE LA FUNCIÓN MAIN: programa.cpp
2
3 #include <petsc.h>
4 #include "geom.h"
5 #include "frontera.h"
6 #include "solucion.h"
7 #include "soltransitoria.h"
8 #include "solimplicito.h"
9 #include "fractional.h"
10
11 using namespace std;
12
13 #undef __FUNCT__
14 #define __FUNCT__ "main"
15
16 int main(int argc, char **args)
17 {
18 /* ----- DATOS PROPORCIONADOS POR EL PROBLEMA ----- */
19
20 //Propiedades
21 double densidad=1;
22 double gamma=10;
23
24 //Tiempo
25 double tiempo=2;
26
27 //Geometría: 1-->dominio rectangular 2-->canal con expansión 3-->Smith-Hutton
28 int geometría=1;
29
30 //Archivo de la malla
31 char malla[100]="mallabfs_44000.dat";
32
33 //Problema a resolver: 1-->Ec. de D.C. en estado estable 2-->Ec. de D.C. en estado
transitorio(explicito) 3-->Ec. de D.C. en estado transitorio (implicito) 4-->Ec. de flujo
5-->Smith-Hutton
34 int problema=4;
35
36 //Velocidad conocida constante en todo el dominio. Ec. de D.C.
37 double velocidad[0]=0;
38 double velocidad[1]=0;
39
40 //Phi inicial constante en todo el dominio
41 double tempinicial=100;
42
43 //Variables
44 double condicion[4];
45 double valor[4];
46
47 PetscInitialize(&argc, &args, (char*)0, help);
48
49 /* ----- GEOMETRÍA DEL DOMINIO ----- */
50 geom gm;
51 gm.leerdatos(malla);
52 gm.calcular();
53
```

```

54  /*----- CONDICIONES DE FRONTERA -----*/
55
56  //Condición Dirichlet=1, Condición Neumann=-1
57
58  //Frontera para phi en Ec. de D.C.
59  condicion[0]=1;
60  valor[0]=1;
61  condicion[1]=1;
62  valor[1]=0;
63  condicion[2]=1;
64  valor[2]=0;
65  condicion[3]=1;
66  valor[3]=0;
67
68  if(problema==1)
69  {
70      if(geometria==1)
71      {
72          frontera ft;
73          ft.leerR(a,condicion,valor);
74      }
75  }
76
77  //Frontera para la velocidad u en problema de flujo
78  condicion[0]=1;
79  valor[0]=1;
80  condicion[1]=1;
81  valor[1]=0;
82  condicion[2]=1;
83  valor[2]=0;
84  condicion[3]=1;
85  valor[3]=0;
86
87  if(problema==2)
88  {
89      if(geometria==1)
90      {
91          frontera fu;
92          fu.leerR(a,condicion,valor);
93      }
94      if(geometria==2)
95      {
96          frontera fu;
97          fu.leerBFS(a,condicion,valor);
98      }
99  }
100
101  //Frontera para la velocidad v en problema de flujo
102  valor[0]=0;
103  valor[1]=0;
104  valor[2]=0;
105  valor[3]=0;
106
107  if(problema==2)
108  {
109      if(geometria==1)
110      {
111          frontera fu;
112          fu.leerR(a,condicion,valor);
113      }
114      if(geometria==2)
115      {
116          frontera fu;
117          fu.leerBFS(a,condicion,valor);
118      }
119  }
120

```

```

121 //Frontera para la presion
122 condicion[0]=-1;
123 valor[0]=0;
124 condicion[1]=-1;
125 valor[1]=0;
126 condicion[2]=-1;
127 valor[2]=0;
128 condicion[3]=-1;
129 valor[3]=0;
130
131 if(problema==2)
132 {
133     if(geometria==1)
134     {
135         frontera fu;
136         fu.leerR(a,condicion,valor);
137     }
138     if(geometria==2)
139     {
140         frontera fu;
141         fu.leerBFS(a,condicion,valor);
142     }
143 }
144
145 //Frontera para el Smith-Hutton
146 if(geometria==3)
147 {
148     frontera f;
149     f.leerSH(a);
150 }
151
152
153 /*----- Solución -----*/
154
155 //Solución de la Ec. de D.C. en estado estable.
156 if(problema==1)
157 {
158     solucion se;
159     se.calcular_Se(gamma,densidad,gm,ft,velocidad);
160 }
161
162 //Solución a la Ec. de D.C. en estado transitorio. Solución explícita.
163 if(problema==2)
164 {
165     soltransitoria ste;
166     ste.calcular_Ste(gm,ft,densidad,gamma,velocidad,tiempo,tempinicial);
167 }
168
169 //Solución a la Ec. de D.C. en estado transitorio. Solución implícita.
170 if(problema==3)
171 {
172     solimplicito sti;
173     sti.calcular_Sti(gm,ft,densidad,gamma,velocidad,tiempo,tempinicial);
174 }
175
176 //Solución del problema de flujo. Fractional Step.
177 if (problema==4)
178 {
179     fractional sfs;
180     sfs.calcular_SF(gm,fu,fv,fp,densidad,gamma,tiempo);
181 }
182
183 //Solución del problema Smith-Hutton
184 if(problema==5)
185 {
186     solucion s;

```

```

187         s.calcular_S(a,f,densidad,gamma);
188     }
189
190     PetscFinalize();
191 }

```

2. ARCHIVO DE ENCABEZADO DE LA CLASE GEOM

```

1 //ARCHIVO DE ENCABEZADO DE LA CLASE GEOM: geom.h
2
3 #ifndef _GEOM_H_
4 #define _GEOM_H_
5
6 class geom
7 {
8     private:
9
10         PetscErrorCode ierr; //Variable error de petsc
11         int i,j,k,jj[1]; //Contadores
12         int tem,tempor,tempora,temporal; //Variables de uso temporal
13
14         //Variables de cálculo
15         PetscInt colareas[2];
16         PetscScalar value[4];
17         PetscInt nodvec[4];
18         double nosirve;
19         int elementos;
20         int lineas;
21
22         //número de vértices
23         int vertices;
24         //número de volúmenes de control
25         int vc;
26         //Matriz de coordenadas de cada vértice
27         Mat matriz_n;
28         const PetscScalar *vertvc;
29         const PetscScalar *vertactual;
30         const PetscScalar *vertcompar;
31         const PetscScalar *vertvecino;
32         //matriz de vértices que pertenecen a cada volumen de control
33         Mat matriz_vc;
34         const PetscScalar *vcactual;
35         const PetscScalar *vcvecino;
36         //matriz de coordenadas de los centroides de cada volumen de control
37         Mat matriz_coord;
38         const PetscScalar *coordvert;
39         PetscScalar vertx[3],verty[3];
40         //Vector de volúmenes
41         Vec vec_volumen;
42         PetscScalar volumen;
43         PetscScalar ladoa,ladob,ladoc;
44         PetscScalar per;
45         //matriz de vecinos
46         Mat matriz_vecinos;
47         const PetscScalar *vecinos;
48         const PetscScalar *vvecinos;
49         //matriz de areas
50         Mat matriz_areas;
51         PetscScalar area[2];
52         PetscScalar n_x[2],n_y[2];
53         PetscScalar pendiente,bcorte;
54         //matriz del vector de dirección PF

```

```

55     Mat matriz_vecpf;
56     PetscScalar pf[2];
57     //matriz del vector de dirección Pf
58     Mat matriz_vecpcent;
59     PetscScalar pcent[2];
60     //matriz de coordenadas de los centroides de cada cara
61     Mat matriz_centrocara;
62     PetscScalar centrocara[2];
63     //matriz de alfaf
64     Mat matriz_alfaf;
65     const PetscScalar *alfaf;
66     PetscScalar alfa[1];
67     //matriz de vectores p-p_prima
68     Mat matriz_vecppprima;
69     const PetscScalar *ppprima;
70     const PetscScalar *ffprima;
71     PetscScalar pp_prima[2];
72     PetscScalar m_a,m_p,b_a,b_p,p_prima[2];
73
74     public:
75
76     //Funciones
77     PetscErrorCode leerdatos(char *malla);
78     PetscErrorCode calcular(void);
79
80 };
81
82 #endif // _GEOM_H_

```

3. ARCHIVO DE CÓDIGO FUENTE DE LA CLASE GEOM

```

1 //ARCHIVO DE CÓDIGO FUENTE DE LA CLASE GEOM: geom.cpp
2
3 #include <petsc.h>
4 #include <fstream>
5 #include <cmath>
6
7 /***** FUNCION: LEER LOS DATOS DE LA MALLA DEL ARCHIVO DE TEXTO *****/
8
9 PetscErrorCode geom::leerdatos(char *malla)
10 {
11     /* ----- LEER Y GUARDAR LOS VALORES DEL No. DE VERTICES ----- */
12     /* ----- No. DE ELEMENTOS TOTALES, No. DE ELEMENTOS 1D ----- */
13
14     std::ifstream f(malla, std::ifstream::in);
15
16     f >> vertices >> elementos >> lineas;
17     vc=elementos-lineas;
18
19     /* ----- INICIALIZACIÓN DE VARIABLES ----- */
20
21     PetscInt col[vc];
22     for (i=0;i<vc;i++)
23     {
24         col[i]=i;
25     }
26
27     //Matriz de coordenadas de vértices
28     ierr = MatCreate(PETSC_COMM_WORLD,&matriz_n);CHKERRQ(ierr);
29     ierr = MatSetSizes(matriz_n,PETSC_DECIDE,PETSC_DECIDE,vertices+1,2);CHKERRQ(ierr);
30     ierr = MatSetFromOptions(matriz_n);CHKERRQ(ierr);
31     ierr = MatSetUp(matriz_n);CHKERRQ(ierr);
32

```

```

33 //Matriz de vértices que pertenecen a los vc
34 ierr = MatCreate(PETSC_COMM_WORLD,&matriz_vc);CHKERRQ(ierr);
35 ierr = MatSetSizes(matriz_vc,PETSC_DECIDE,PETSC_DECIDE,vc,3);CHKERRQ(ierr);
36 ierr = MatSetFromOptions(matriz_vc);CHKERRQ(ierr);
37 ierr = MatSetUp(matriz_vc);CHKERRQ(ierr);
38
39 /* ----- LEER Y GUARDAR LAS COORDENADAS DE LOS VERTICES ----- */
40
41 for (i=1; i<vertices+1; i++)
42 {
43     f >> nosirve >> value[0] >> value[1] >> nosirve;
44     ierr = MatSetValues(matriz_n,1,&i,2,col,value,INSERT_VALUES);CHKERRQ(ierr);
45 }
46
47 ierr = MatAssemblyBegin(matriz_n,MAT_FINAL_ASSEMBLY);CHKERRQ(ierr);
48 ierr = MatAssemblyEnd(matriz_n,MAT_FINAL_ASSEMBLY);CHKERRQ(ierr);
49
50 /* ----- DESCARTAR LOS ELEMENTOS 1D ----- */
51
52 for (i=0; i<lineas; i++)
53 {
54     f >> nosirve >> nosirve >> nosirve >> nosirve;
55 }
56
57 /* ----- LEER Y GUARDAR LOS VERTICES QUE PERTENECEN A CADA VC ----- */
58
59 for (i=0; i<vc; i++)
60 {
61     f >> nosirve >> nosirve;
62     f >> value[0] >> value[1] >> value[2];
63
64     ierr = MatSetValues(matriz_vc,1,&i,3,col,value,INSERT_VALUES);CHKERRQ(ierr);
65 }
66
67 ierr = MatAssemblyBegin(matriz_vc,MAT_FINAL_ASSEMBLY);CHKERRQ(ierr);
68 ierr = MatAssemblyEnd(matriz_vc,MAT_FINAL_ASSEMBLY);CHKERRQ(ierr);
69
70 return ierr;
71 }
72
73 /***** FUNCION CALCULAR LOS TERMINOS GEOMETRICOS *****/
74
75 PetscErrorCode geom::calcular(void)
76 {
77
78     /* ----- INICIALIZACIÓN DE VARIABLES ----- */
79
80     PetscInt col[3];
81     for (i=0;i<3;i++)
82     {
83         col[i]=i;
84     }
85
86     tempor=0;temporal=0;
87
88     //Matriz de coordenadas de cada vc
89     ierr = MatCreate(PETSC_COMM_WORLD,&matriz_coord);CHKERRQ(ierr);
90     ierr = MatSetSizes(matriz_coord,PETSC_DECIDE,PETSC_DECIDE,vc,2);CHKERRQ(ierr);
91     ierr = MatSetFromOptions(matriz_coord);CHKERRQ(ierr);
92     ierr = MatSetUp(matriz_coord);CHKERRQ(ierr);
93
94     //Vector de volúmenes
95     ierr = VecCreate(PETSC_COMM_WORLD,&vec_volumen);CHKERRQ(ierr);
96     ierr = VecSetSizes(vec_volumen,PETSC_DECIDE,vc);CHKERRQ(ierr);
97     ierr = VecSetFromOptions(vec_volumen);CHKERRQ(ierr);
98

```

```

99 //Matriz de vecinos
100 ierr = MatCreate(PETSC_COMM_WORLD, &matriz_vecinos); CHKERRQ(ierr);
101 ierr = MatSetSizes(matriz_vecinos, PETSC_DECIDE, PETSC_DECIDE, vc, 3); CHKERRQ(ierr);
102 ierr = MatSetFromOptions(matriz_vecinos); CHKERRQ(ierr);
103 ierr = MatSetUp(matriz_vecinos); CHKERRQ(ierr);
104
105 //Matriz de vectores de area en las caras
106 ierr = MatCreate(PETSC_COMM_WORLD, &matriz_areas); CHKERRQ(ierr);
107 ierr = MatSetSizes(matriz_areas, PETSC_DECIDE, PETSC_DECIDE, vc, 6); CHKERRQ(ierr);
108 ierr = MatSetFromOptions(matriz_areas); CHKERRQ(ierr);
109 ierr = MatSetUp(matriz_areas); CHKERRQ(ierr);
110
111 //Matriz de vectores de direccion PF
112 ierr = MatCreate(PETSC_COMM_WORLD, &matriz_vecpf); CHKERRQ(ierr);
113 ierr = MatSetSizes(matriz_vecpf, PETSC_DECIDE, PETSC_DECIDE, vc, 6); CHKERRQ(ierr);
114 ierr = MatSetFromOptions(matriz_vecpf); CHKERRQ(ierr);
115 ierr = MatSetUp(matriz_vecpf); CHKERRQ(ierr);
116
117 //Matriz de vectores de direccion Pf
118 ierr = MatCreate(PETSC_COMM_WORLD, &matriz_vecpcent); CHKERRQ(ierr);
119 ierr = MatSetSizes(matriz_vecpcent, PETSC_DECIDE, PETSC_DECIDE, vc, 6); CHKERRQ(ierr);
120 ierr = MatSetFromOptions(matriz_vecpcent); CHKERRQ(ierr);
121 ierr = MatSetUp(matriz_vecpcent); CHKERRQ(ierr);
122
123 //Matriz de centroides en las caras de cada vc
124 ierr = MatCreate(PETSC_COMM_WORLD, &matriz_centrocaras); CHKERRQ(ierr);
125 ierr = MatSetSizes(matriz_centrocaras, PETSC_DECIDE, PETSC_DECIDE, vc, 6); CHKERRQ(ierr);
126 ierr = MatSetFromOptions(matriz_centrocaras); CHKERRQ(ierr);
127 ierr = MatSetUp(matriz_centrocaras); CHKERRQ(ierr);
128
129 //Matriz de alfaf
130 ierr = MatCreate(PETSC_COMM_WORLD, &matriz_alfaf); CHKERRQ(ierr);
131 ierr = MatSetSizes(matriz_alfaf, PETSC_DECIDE, PETSC_DECIDE, vc, 3); CHKERRQ(ierr);
132 ierr = MatSetFromOptions(matriz_alfaf); CHKERRQ(ierr);
133 ierr = MatSetUp(matriz_alfaf); CHKERRQ(ierr);
134
135 //Matriz de vectores p-p_prima
136 ierr = MatCreate(PETSC_COMM_WORLD, &matriz_vecppprima); CHKERRQ(ierr);
137 ierr = MatSetSizes(matriz_vecppprima, PETSC_DECIDE, PETSC_DECIDE, vc, 6); CHKERRQ(ierr);
138 ierr = MatSetFromOptions(matriz_vecppprima); CHKERRQ(ierr);
139 ierr = MatSetUp(matriz_vecppprima); CHKERRQ(ierr);
140
141 /* ---- CÁLCULO DE LA MATRIZ DE COORDENADAS DE CADA VC Y VECTOR DE VOLUMENES ---- */
142
143 for (j=0; j<vc; j++)
144 {
145     ierr = MatGetRow(matriz_vc, j, PETSC_NULL, PETSC_NULL, &vertvc); CHKERRQ(ierr);
146
147     for (i=0; i<3; i++)
148     {
149         k=vertvc[i];
150         ierr = MatGetRow(matriz_n, k, PETSC_NULL, PETSC_NULL, &coordvert); CHKERRQ(ierr);
151         vertx[i]=coordvert[0];
152         verty[i]=coordvert[1];
153         ierr = MatRestoreRow(matriz_n, k, PETSC_NULL, PETSC_NULL, &coordvert); CHKERRQ(ierr);
154     }
155     value[0]=(vertx[0]+vertx[1]+vertx[2])/3;
156     ierr = MatSetValues(matriz_coord, 1, &j, 2, col, value, INSERT_VALUES); CHKERRQ(ierr);
157
158     ladoa=sqrt(pow((vertx[0]-vertx[1]), 2)+pow((verty[0]-verty[1]), 2));
159     ladob=sqrt(pow((vertx[0]-vertx[2]), 2)+pow((verty[0]-verty[2]), 2));
160     ladoc=sqrt(pow((vertx[1]-vertx[2]), 2)+pow((verty[1]-verty[2]), 2));
161     per=(ladoa+lادob+lادoc)/2;
162     volumen=sqrt(per*(per-lادoa)*(per-lادob)*(per-lادoc));
163
164     ierr = VecSetValues(vec_volumen, 1, &j, &volumen, INSERT_VALUES); CHKERRQ(ierr);
165
166
167

```

```

158     ierr = MatSetValues(matriz_coord,1,&j,2,col,value,INSERT_VALUES);CHKERRQ(ierr);
159
160     ladoa=sqrt(pow((vertx[0]-vertx[1]),2)+pow((verty[0]-verty[1]),2));
161     ladob=sqrt(pow((vertx[0]-vertx[2]),2)+pow((verty[0]-verty[2]),2));
162     ladoc=sqrt(pow((vertx[1]-vertx[2]),2)+pow((verty[1]-verty[2]),2));
163     per=(ladoa+lado+lado)/2;
164     volumen=sqrt(per*(per-ladoa)*(per-lado)*(per-lado));
165
166     ierr = VecSetValues(vec_volumen,1,&j,&volumen,INSERT_VALUES);CHKERRQ(ierr);
167
168     ierr = MatRestoreRow(matriz_vc,j,PETSC_NULL,PETSC_NULL,&vertvc);CHKERRQ(ierr);
169 }
170
171 ierr = MatAssemblyBegin(matriz_coord,MAT_FINAL_ASSEMBLY);CHKERRQ(ierr);
172 ierr = MatAssemblyEnd(matriz_coord,MAT_FINAL_ASSEMBLY);CHKERRQ(ierr);
173
174 ierr = VecAssemblyBegin(vec_volumen);CHKERRQ(ierr);
175 ierr = VecAssemblyEnd(vec_volumen);CHKERRQ(ierr);
176
177
178 /* ----- CÁLCULO DE LA MATRIZ DE VECINOS ----- */
179
180 for (j=0;j<vc;j++)
181 {
182     ierr = MatGetRow(matriz_vc,j,PETSC_NULL,PETSC_NULL,&vertactual);CHKERRQ(ierr);
183     for (i=0;i<vc;i++)
184     {
185         if (i!=j)
186         {
187             ierr = MatGetRow(matriz_vc,i,PETSC_NULL,PETSC_NULL,&vertcompar);CHKERRQ(ierr);
188             for (k=0;k<3;k++)
189             {
190                 if (vertactual[k]==vertcompar[0] || vertactual[k]==vertcompar[1] || vertactual[k]==
vertcompar[2])
191                 {
192                     temporal=temporal+1;
193                 }
194             }
195
196             if (temporal==2) //Si los vc comparten dos vértices son vecinos
197             {
198                 value[tempor]=i;
199                 tempor=tempor+1;
200             }
201
202             temporal=0;
203             ierr = MatRestoreRow(matriz_vc,i,PETSC_NULL,PETSC_NULL,&vertcompar);CHKERRQ(ierr);
204         }
205     }
206
207     //Si tiene 3 vecinos
208     if (tempor==3)
209     {
210         ierr = MatSetValues(matriz_vecinos,1,&j,3,col,value,INSERT_VALUES);CHKERRQ(ierr);
211     }
212     //Si tiene 2 vecinos (Frontera)
213     if (tempor==2)
214     {
215         value[2]=vc*10; //Valor para identificar que un vc es frontera
216         ierr = MatSetValues(matriz_vecinos,1,&j,3,col,value,INSERT_VALUES);CHKERRQ(ierr);
217     }
218     tempor=0;
219     ierr = MatRestoreRow(matriz_vc,j,PETSC_NULL,PETSC_NULL,&vertactual);CHKERRQ(ierr);
220 }

```

```

221
222 ierr = MatAssemblyBegin(matriz_vecinos,MAT_FINAL_ASSEMBLY);CHKERRQ(ierr);
223 ierr = MatAssemblyEnd(matriz_vecinos,MAT_FINAL_ASSEMBLY);CHKERRQ(ierr);
224
225
226 /* ----- CACULO DE AREAS,CENTROIDES Y VECTORES DE DIRECCIÓN ----- */
227
228 tem=0;temporal=0;tempora=0;tempor=0;
229 colareas[0]=0; colareas[1]=1;
230
231 for (i=0;i<vc;i++)
232 {
233     ierr = MatGetRow(matriz_vecinos,i,PETSC_NULL,PETSC_NULL,&vecinos);CHKERRQ(ierr);
234     ierr = MatGetRow(matriz_coord,i,PETSC_NULL,PETSC_NULL,&vcactual);CHKERRQ(ierr);
235     ierr = MatGetRow(matriz_vc,i,PETSC_NULL,PETSC_NULL,&vertactual);CHKERRQ(ierr);
236
237     for (j=0;j<3;j++)
238     {
239         tem=vecinos[j];
240         jj[0]=j;
241
242         //Se obtienen las coordenadas de los vértices en común con el vecino
243         if (tem>vc) //En caso de que la cara sea frontera
244         {
245             if (nodvec[0]==nodvec[2])
246             {
247                 temporal=nodvec[1];
248                 tempora=nodvec[3];
249             }
250             if (nodvec[0]==nodvec[3])
251             {
252                 temporal=nodvec[1];
253                 tempora=nodvec[2];
254             }
255             if (nodvec[1]==nodvec[2])
256             {
257                 temporal=nodvec[0];
258                 tempora=nodvec[3];
259             }
260             if (nodvec[1]==nodvec[3])
261             {
262                 temporal=nodvec[0];
263                 tempora=nodvec[2];
264             }
265
266             ierr = MatGetRow(matriz_n,temporal,PETSC_NULL,PETSC_NULL,&coordvert);CHKERRQ(ierr);
267             n_x[0]=coordvert[0];
268             n_y[0]=coordvert[1];
269             ierr = MatRestoreRow(matriz_n,temporal,PETSC_NULL,PETSC_NULL,&coordvert);CHKERRQ(ierr);
270             ierr = MatGetRow(matriz_nn,tempora,PETSC_NULL,PETSC_NULL,&coordvert);CHKERRQ(ierr);
271             n_x[1]=coordvert[0];
272             n_y[1]=coordvert[1];
273             ierr = MatRestoreRow(matriz_n,tempora,PETSC_NULL,PETSC_NULL,&coordvert);CHKERRQ(ierr);
274         }
275
276         else //En caso de que la cara no sea frontera
277         {
278             ierr = MatGetRow(matriz_coord,tem,PETSC_NULL,PETSC_NULL,&vcvecino);CHKERRQ(ierr);
279             ierr = MatGetRow(matriz_vc,tem,PETSC_NULL,PETSC_NULL,&vertvecino);CHKERRQ(ierr);
280
281             for (k=0;k<3;k++)
282             {

```

```

283         if (vertvecino[k]==vertactual[0] || vertvecino[k]==vertactual[1] || vertvecino[k]==
vertactual[2])
284             {
285                 nodvec[tempora]=vertvecino[k];
286                 tempora=tempora+1;
287                 temporal=vertvecino[k];
288                 ierr = MatGetRow(matriz_n,temporal,PETSC_NULL,PETSC_NULL,&coordvert);CHKERRQ(ierr);
289                 n_x[tempor]=coordvert[0];
290                 n_y[tempor]=coordvert[1];
291                 ierr = MatRestoreRow(matriz_n,temporal,PETSC_NULL,PETSC_NULL,&coordvert);CHKERRQ(
ierr);
292                 tempor=tempor+1;
293             }
294     }
295     tempor=0;
296     ierr = MatRestoreRow(matriz_vc,tem,PETSC_NULL,PETSC_NULL,&vertvecino);CHKERRQ(ierr);
297 }
298
299 //La dirección del vector área debe ser normal a la cara del vc actual
300 if (n_x[0]==n_x[1])
301 {
302     area[1]=0;
303
304     if(vcactual[0]<n_x[0])
305     {
306         if(n_y[0]<n_y[1])
307         {
308             area[0]=n_y[1]-n_y[0];
309         }
310         else
311         {
312             area[0]=n_y[0]-n_y[1];
313         }
314     }
315     if(vcactual[0]>n_x[0])
316     {
317         if(n_y[0]<n_y[1])
318         {
319             area[0]=n_y[0]-n_y[1];
320         }
321         else
322         {
323             area[0]=n_y[1]-n_y[0];
324         }
325     }
326 }
327
328 else
329 {
330     pendiente=(n_y[1]-n_y[0])/(n_x[1]-n_x[0]);
331     bcorte=n_y[0]-pendiente*n_x[0];
332
333     if (vcactual[1]<(pendiente*vcactual[0]+bcorte))
334     {
335         if (n_x[0]<n_x[1])
336         {
337             area[0]=n_y[0]-n_y[1];
338             area[1]=n_x[1]-n_x[0];
339         }
340         if (n_x[0]>n_x[1])
341         {
342             area[0]=n_y[1]-n_y[0];
343             area[1]=n_x[0]-n_x[1];
344         }
345     }
346 }

```

```

347         if (vcactual[1]>(pendiente*vcactual[0]+bcorte))
348         {
349             if (n_x[0]<n_x[1])
350             {
351                 area[0]=n_y[1]-n_y[0];
352                 area[1]=n_x[0]-n_x[1];
353             }
354             if (n_x[0]>n_x[1])
355             {
356                 area[0]=n_y[0]-n_y[1];
357                 area[1]=n_x[1]-n_x[0];
358             }
359         }
360     }
361
362     centrocara[0]=(n_x[0]+n_x[1])/2;
363     centrocara[1]=(n_y[0]+n_y[1])/2;
364
365     //Vector PF
366     if(tem>vc) //Si la cara es frontera F está en el centroide de la cara
367     {
368         pf[0]=centrocara[0]-vcactual[0];
369         pf[1]=centrocara[1]-vcactual[1];
370     }
371     else //Si la cara no es frontera F es el nodo del vc vecino
372     {
373         pf[0]=vcvecino[0]-vcactual[0];
374         pf[1]=vcvecino[1]-vcactual[1];
375         ierr = MatRestoreRow(matriz_coord, tem, PETSC_NULL, PETSC_NULL, &vcvecino); CHKERRQ(ierr);
376     }
377
378     //Vector Pf
379     pcent[0]=centrocara[0]-vcactual[0];
380     pcent[1]=centrocara[1]-vcactual[1];
381
382     //Valor de alfa_f
383     alfa[0]=(pcent[0]*pf[0]+pcent[1]*pf[1])/(pf[0]*pf[0]+pf[1]*pf[1]);
384
385     //Vector PP'
386     if (area[0]==0)
387     {
388         p_prima[0]=centrocara[0];
389         p_prima[1]=vcactual[1];
390     }
391     if (area[1]==0)
392     {
393         p_prima[0]=vcactual[0];
394     }
395     if (area[0]!=0 && area[1]!=0)
396     {
397         m_p=-area[0]/area[1];
398         b_p=vcactual[1]-m_p*vcactual[0];
399         m_a=area[1]/area[0];
400         b_a=centrocara[1]-m_a*centrocara[0];
401         p_prima[0]=(b_a-b_p)/(m_p-m_a);
402         p_prima[1]=m_p*p_prima[0]+b_p;
403     }
404
405     pp_prima[0]=p_prima[0]-vcactual[0];
406     pp_prima[1]=p_prima[1]-vcactual[1];
407
408
409     //Ingresar todos los valores
410     ierr = MatSetValues(matriz_areas,1,&i,2,colareas,area,INSERT_VALUES);CHKERRQ(ierr);
411     ierr = MatSetValues(matriz_vecpf,1,&i,2,colareas,pf,INSERT_VALUES);CHKERRQ(ierr);
412     ierr = MatSetValues(matriz_vecpcent,1,&i,2,colareas,pcent,INSERT_VALUES);CHKERRQ(ierr);
413     ierr = MatSetValues(matriz_centrocara,1,&i,2,colareas,centrocara,INSERT_VALUES);CHKERRQ(ierr);

```

```

413         ierr = MatSetValues(matriz_centrocara,1,&i,2,colareas,centrocara,INSERT_VALUES);CHKERRQ(ierr);
414         ierr = MatSetValues(matriz_alfaf,1,&i,1,jj,alfa,INSERT_VALUES);CHKERRQ(ierr);
415         ierr = MatSetValues(matriz_vecppprima,1,&i,2,colareas,pp_prima,INSERT_VALUES);CHKERRQ(ierr);
416
417         colareas[0]=colareas[0]+2;
418         colareas[1]=colareas[1]+2;
419     }
420     tempora=0;
421     colareas[0]=0;
422     colareas[1]=1;
423
424     ierr = MatRestoreRow(matriz_vecinos,i,PETSC_NULL,PETSC_NULL,&vecinos);CHKERRQ(ierr);
425     ierr = MatRestoreRow(matriz_coord,i,PETSC_NULL,PETSC_NULL,&vcactual);CHKERRQ(ierr);
426     ierr = MatRestoreRow(matriz_vc,i,PETSC_NULL,PETSC_NULL,&vertactual);CHKERRQ(ierr);
427 }
428
429 //Ensamblar las matrices
430 ierr = MatAssemblyBegin(matriz_areas,MAT_FINAL_ASSEMBLY);CHKERRQ(ierr);
431 ierr = MatAssemblyEnd(matriz_areas,MAT_FINAL_ASSEMBLY);CHKERRQ(ierr);
432
433 ierr = MatAssemblyBegin(matriz_vecpf,MAT_FINAL_ASSEMBLY);CHKERRQ(ierr);
434 ierr = MatAssemblyEnd(matriz_vecpf,MAT_FINAL_ASSEMBLY);CHKERRQ(ierr);
435
436 ierr = MatAssemblyBegin(matriz_vecpcent,MAT_FINAL_ASSEMBLY);CHKERRQ(ierr);
437 ierr = MatAssemblyEnd(matriz_vecpcent,MAT_FINAL_ASSEMBLY);CHKERRQ(ierr);
438
439 ierr = MatAssemblyBegin(matriz_centrocara,MAT_FINAL_ASSEMBLY);CHKERRQ(ierr);
440 ierr = MatAssemblyEnd(matriz_centrocara,MAT_FINAL_ASSEMBLY);CHKERRQ(ierr);
441
442 ierr = MatAssemblyBegin(matriz_alfaf,MAT_FINAL_ASSEMBLY);CHKERRQ(ierr);
443 ierr = MatAssemblyEnd(matriz_alfaf,MAT_FINAL_ASSEMBLY);CHKERRQ(ierr);
444
445 ierr = MatAssemblyBegin(matriz_vecppprima,MAT_FINAL_ASSEMBLY);CHKERRQ(ierr);
446 ierr = MatAssemblyEnd(matriz_vecppprima,MAT_FINAL_ASSEMBLY);CHKERRQ(ierr);
447
448
449 return ierr;
450 }
451

```

4. ARCHIVO DE ENCABEZADO DE LA CLASE FRONTERA

```

1 //ARCHIVO DE ENCABEZADO DE LA CLASE FRONTERA: frontera.h
2
3 #ifndef _FRONTERA_H_
4 #define _FRONTERA_H_
5
6 class frontera
7 {
8     private:
9
10         PetscErrorCode ierr; //Variable error de petsc
11         int i,temp; //Contadores
12
13         //Número de volúmenes de control
14         int n_vc;
15
16         //Elementos geométricos
17         Mat matriz_vecinos;
18         const PetscScalar *vecinos;
19         Mat matriz_areas;
20         const PetscScalar *areas;

```

```

21     Mat matriz_coord;
22     const PetscScalar *coord;
23
24     //Vector con los valores de phi en las fronteras
25     Vec vec_front;
26     PetscScalar valuefront;
27     //Vector con las condiciones de frontera
28     Vec vec_condf;
29     PetscScalar condf;
30
31     public:
32
33     //Funciones
34     PetscErrorCode leerR(geom gm, double *cf, double *vf);
35     PetscErrorCode leerBFS(geom gm, double *cf, double *vf);
36     PetscErrorCode leerSH(geom gm);
37 };
38
39 #endif // _FRONTERA_H_

```

5. ARCHIVO DE CÓDIGO FUENTE DE LA CLASE FRONTERA

```

1 //ARCHIVO DE CÓDIGO FUENTE DE LA CLASE FRONTERA: frontera.cpp
2
3 #include <petsc.h>
4 #include <cmath>
5 #include "geom.h"
6
7 /***** FUNCION ESTABLECER LA FRONTERA: RECTANGULAR, 4 FRONTERAS *****/
8
9 PetscErrorCode frontera::leerR(geom gm, double *cf, double *vf)
10 {
11     //Tomar los elementos geométricos de la clase geom
12     n_vc=gm.vc;
13     matriz_vecinos=gm.matriz_vecinos;
14     matriz_areas=gm.matriz_areas;
15     matriz_coord=gm.matriz_coord;
16
17     /* ----- INICIALIZACIÓN DE VARIABLES ----- */
18
19     //Condiciones de frontera
20     ierr = VecCreate(PETSC_COMM_WORLD, &vec_condf); CHKERRQ(ierr);
21     ierr = VecSetSizes(vec_condf, PETSC_DECIDE, n_vc); CHKERRQ(ierr);
22     ierr = VecSetFromOptions(vec_condf); CHKERRQ(ierr);
23     ierr = VecSet(vec_condf, 0); CHKERRQ(ierr);
24
25     //Valores en la frontera
26     ierr = VecCreate(PETSC_COMM_WORLD, &vec_front); CHKERRQ(ierr);
27     ierr = VecSetSizes(vec_front, PETSC_DECIDE, n_vc); CHKERRQ(ierr);
28     ierr = VecSetFromOptions(vec_front); CHKERRQ(ierr);
29     ierr = VecSet(vec_front, 0); CHKERRQ(ierr);
30
31     /* ----- ESTABLECER LAS FRONTERAS ----- */
32
33     for (i=0; i<n_vc; i++)
34     {
35         ierr = MatGetRow(matriz_vecinos, i, PETSC_NULL, PETSC_NULL, &vecinos); CHKERRQ(ierr);
36         ierr = MatGetRow(matriz_areas, i, PETSC_NULL, PETSC_NULL, &areas); CHKERRQ(ierr);
37         ierr = MatGetRow(matriz_coord, i, PETSC_NULL, PETSC_NULL, &coord); CHKERRQ(ierr);
38
39         if (vecinos[2]>n_vc) //Si el volumen de control tiene una cara frontera
40         {
41             //Si pertenece a la frontera superior

```

```

41 //Si pertenece a la frontera superior
42 if (areas[4]<0.00001 && areas[4]>-0.00001 && areas[5]>0 )
43 {   condf=cf[0];
44     valuefront=vf[0];
45 }
46 //Si pertenece a la frontera inferior
47 if (areas[4]<0.00001 && areas[4]>-0.00001 && areas[5]<0 )
48 {
49     condf=cf[2];
50     valuefront=vf[2];
51 }
52 //Si pertenece a la frontera derecha
53 if(areas[5]<0.00001 && areas[5]>-0.00001 && areas[4]>0)
54 {
55     condf=cf[1];
56     valuefront=vf[1];
57 }
58 //Si pertenece a la frontera izquierda
59 if(areas[5]<0.00001 && areas[5]>-0.00001 && areas[4]<0)
60 {
61     condf=cf[3];
62     valuefront=vf[3];
63 }
64
65 ierr = VecSetValues(vec_condf,1,&i,&condf,INSERT_VALUES);CHKERRQ(ierr);
66 ierr = VecSetValues(vec_front,1,&i,&valuefront,INSERT_VALUES);CHKERRQ(ierr);
67 }
68
69 ierr = MatRestoreRow(matriz_vecinos,i,PETSC_NULL,PETSC_NULL,&vecinos);CHKERRQ(ierr);
70 ierr = MatRestoreRow(matriz_areas,i,PETSC_NULL,PETSC_NULL,&areas);CHKERRQ(ierr);
71 ierr = MatRestoreRow(matriz_coord,i,PETSC_NULL,PETSC_NULL,&coord);CHKERRQ(ierr);
72 }
73
74 ierr = VecAssemblyBegin(vec_condf);CHKERRQ(ierr);
75 ierr = VecAssemblyEnd(vec_condf);CHKERRQ(ierr);
76
77 ierr = VecAssemblyBegin(vec_front);CHKERRQ(ierr);
78 ierr = VecAssemblyEnd(vec_front);CHKERRQ(ierr);
79
80 return ierr;
81 }
82
83 /***** FUNCION ESTABLECER LA FRONTERA: PROBLEMA BACKWARD-FACING STEP *****/
84
85 PetscErrorCode frontera::leerBFS(geom gm,double *cf,double *vf)
86 {
87     //Tomar los elementos necesarios de la clase geom
88     n_vc=gm.vc;
89     matriz_vecinos=gm.matriz_vecinos;
90     matriz_areas=gm.matriz_areas;
91     matriz_coord=gm.matriz_coord;
92
93     /*----- INICIALIZACIÓN DE LAS VARIABLES -----*/
94
95     ierr = VecCreate(PETSC_COMM_WORLD,&vec_condf);CHKERRQ(ierr);
96     ierr = VecSetSizes(vec_condf,PETSC_DECIDE,n_vc);CHKERRQ(ierr);
97     ierr = VecSetFromOptions(vec_condf);CHKERRQ(ierr);
98     ierr = VecSet(vec_condf,0);CHKERRQ(ierr);
99
100     ierr = VecCreate(PETSC_COMM_WORLD,&vec_front);CHKERRQ(ierr);
101     ierr = VecSetSizes(vec_front,PETSC_DECIDE,n_vc);CHKERRQ(ierr);
102     ierr = VecSetFromOptions(vec_front);CHKERRQ(ierr);
103     ierr = VecSet(vec_front,0);CHKERRQ(ierr);
104
105     /*----- ESTABLECER LA FRONTERA -----*/
106
107     for (i=0;i<n_vc;i++)

```

```

108     {
109         ierr = MatGetRow(matriz_vecinos,i,PETSC_NULL,PETSC_NULL,&vecinos);CHKERRQ(ierr);
110         ierr = MatGetRow(matriz_areas,i,PETSC_NULL,PETSC_NULL,&areas);CHKERRQ(ierr);
111         ierr = MatGetRow(matriz_coord,i,PETSC_NULL,PETSC_NULL,&coord);CHKERRQ(ierr);
112
113         temp=0;
114
115         if (vecinos[2]>n_vc) //Si el volumen de control tiene una cara frontera
116         {
117             //Si pertenece a la frontera superior o inferior
118             if (areas[4]<0.00001 && areas[4]>-0.00001)
119             {
120                 condf=cf[0];
121                 valuefront=vf[0];
122                 temp=1;
123             }
124
125             //Si pertenece a la frontera derecha
126             if(areas[5]<0.00001 && areas[5]>-0.00001 && areas[4]>0)
127             {
128                 condf=cf[1];
129                 valuefront=vf[1];
130                 temp=1;
131             }
132
133             //Si pertenece a la frontera izquierda
134             if(areas[5]<0.00001 && areas[5]>-0.00001 && areas[4]<0 && coord[1]>0)
135             {
136                 condf=cf[3];
137                 valuefront=vf[3];
138                 temp=1;
139             }
140
141             //Si pertenece a la frontera step
142             if(areas[5]<0.00001 && areas[5]>-0.00001 && areas[4]<0 && coord[1]<0)
143             {
144                 condf=cf[2];
145                 valuefront=vf[2];
146                 temp=1;
147             }
148
149             //Si pertenece a la frontera step inclinado
150             if(temp!=1)
151             {
152                 condf=cf[2];
153                 valuefront=vf[2];
154             }
155             ierr = VecSetValues(vec_condf,1,&i,&condf,INSERT_VALUES);CHKERRQ(ierr);
156             ierr = VecSetValues(vec_front,1,&i,&valuefront,INSERT_VALUES);CHKERRQ(ierr);
157         }
158
159         ierr = MatRestoreRow(matriz_vecinos,i,PETSC_NULL,PETSC_NULL,&vecinos);CHKERRQ(ierr);
160         ierr = MatRestoreRow(matriz_areas,i,PETSC_NULL,PETSC_NULL,&areas);CHKERRQ(ierr);
161         ierr = MatRestoreRow(matriz_coord,i,PETSC_NULL,PETSC_NULL,&coord);CHKERRQ(ierr);
162     }
163
164     ierr = VecAssemblyBegin(vec_condf);CHKERRQ(ierr);
165     ierr = VecAssemblyEnd(vec_condf);CHKERRQ(ierr);
166
167     ierr = VecAssemblyBegin(vec_front);CHKERRQ(ierr);
168     ierr = VecAssemblyEnd(vec_front);CHKERRQ(ierr);
169
170     return ierr;
171 }
172
173 /***** FUNCION ESTABLECER LA FRONTERA: PROBLEMA SMITH-HUTTON *****/
174 PetscErrorCode frontera::leerSH(geom gm)

```

```

175 {
176 //Tomar los elementos necesarios de la clase geom
177 n_vc=gm.vc;
178 matriz_vecinos=gm.matriz_vecinos;
179 matriz_areas=gm.matriz_areas;
180 matriz_coord=gm.matriz_coord;
181
182 /*----- INICIALIZACIÓN DE LAS VARIABLES -----*/
183
184 ierr = VecCreate(PETSC_COMM_WORLD, &vec_condf);CHKERRQ(ierr);
185 ierr = VecSetSizes(vec_condf, PETSC_DECIDE, n_vc);CHKERRQ(ierr);
186 ierr = VecSetFromOptions(vec_condf);CHKERRQ(ierr);
187 ierr = VecSet(vec_condf, 0);CHKERRQ(ierr);
188
189 ierr = VecCreate(PETSC_COMM_WORLD, &vec_front);CHKERRQ(ierr);
190 ierr = VecSetSizes(vec_front, PETSC_DECIDE, n_vc);CHKERRQ(ierr);
191 ierr = VecSetFromOptions(vec_front);CHKERRQ(ierr);
192 ierr = VecSet(vec_front, 0);CHKERRQ(ierr);
193
194 /*----- ESTABLECER LA FRONTERA -----*/
195
196 for (i=0; i<n_vc; i++)
197 {
198     ierr = MatGetRow(matriz_vecinos, i, PETSC_NULL, PETSC_NULL, &vecinos);CHKERRQ(ierr);
199     ierr = MatGetRow(matriz_areas, i, PETSC_NULL, PETSC_NULL, &areas);CHKERRQ(ierr);
200     ierr = MatGetRow(matriz_coord, i, PETSC_NULL, PETSC_NULL, &coord);CHKERRQ(ierr);
201
202     if (vecinos[2]>n_vc) //Si el volumen de control tiene una cara frontera
203     {
204         //Si pertenece a la frontera inferior positiva.
205         if (areas[4]<0.00001 && areas[4]>-0.00001 && areas[5]<0 && coord[0]>0)
206         {
207             condf=-1;
208             valuefront=0;
209         }
210
211         //Si pertenece a la frontera inferior negativa.
212         if (areas[4]<0.00001 && areas[4]>-0.00001 && areas[5]<0 && coord[0]<0)
213         {
214             condf=1;
215             valuefront= 1+tanh(10*(2*coord[0]+1));
216         }
217
218         //Si pertenece a la frontera superior
219         if (areas[4]<0.00001 && areas[4]>-0.00001 && areas[5]>0)
220         {
221             condf=1;
222             valuefront= 1-(tanh(10));
223         }
224
225         //Si pertenece a la frontera derecha
226         if(areas[5]<0.00001 && areas[5]>-0.00001 && areas[4]>0)
227         {
228             condf=1;
229             valuefront=1-(tanh(10));
230         }
231
232         //Si pertenece a la frontera izquierda
233         if(areas[5]<0.00001 && areas[5]>-0.00001 && areas[4]<0)
234         {
235             condf=1;
236             valuefront=1-(tanh(10));
237         }
238
239         ierr = VecSetValues(vec_condf, 1, &i, &condf, INSERT_VALUES);CHKERRQ(ierr);
240         ierr = VecSetValues(vec_front, 1, &i, &valuefront, INSERT_VALUES);CHKERRQ(ierr);

```

```

240     }
241
242     ierr = MatRestoreRow(matriz_vecinos,i,PETSC_NULL,PETSC_NULL,&vecinos);CHKERRQ(ierr);
243     ierr = MatRestoreRow(matriz_areas,i,PETSC_NULL,PETSC_NULL,&areas);CHKERRQ(ierr);
244     ierr = MatRestoreRow(matriz_coord,i,PETSC_NULL,PETSC_NULL,&coord);CHKERRQ(ierr);
245 }
246
247
248     ierr = VecAssemblyBegin(vec_condf);CHKERRQ(ierr);
249     ierr = VecAssemblyEnd(vec_condf);CHKERRQ(ierr);
250
251     ierr = VecAssemblyBegin(vec_front);CHKERRQ(ierr);
252     ierr = VecAssemblyEnd(vec_front);CHKERRQ(ierr);
253
254     return ierr;
255 }

```

6. ARCHIVO DE ENCABEZADO DE LA CLASE DIFUSIVO

```

1 //ARCHIVO DE ENCABEZADO DE LA CLASE DIFUSIVO: difusivo.h
2
3 #ifndef _DIFUSIVO_H_
4 #define _DIFUSIVO_H_
5
6 class difusivo
7 {
8     private:
9
10         PetscErrorCode ierr;           //Variable de error de Petsc
11         int i,j;                       //Contadores
12         int tem,tempor;                //Variables de uso temporal
13
14         //Elementos geométricos
15         int n_vc;
16         Mat matriz_areas;
17         const PetscScalar *area;
18         Mat matriz_vecpf;
19         const PetscScalar *pf;
20         Mat matriz_vecinos;
21         const PetscScalar *vecinos;
22
23         //Variable para establecer las columnas de la matriz de terminos difusivos
24         PetscInt coldif[3];
25         //término difusivos a ingresar a la matriz
26         PetscScalar value[3];
27         //término difusivo a ingresar en el vector
28         PetscScalar difffront;
29
30     public:
31
32         //Funciones
33         PetscErrorCode calcular_D(double gamma,geom gm,Mat *matriz_difusivo,Vec *vec_difffront);
34
35 };
36
37 #endif // _DIFUSIVO_H_

```

7. ARCHIVO DE CÓDIGO FUENTE DE LA CLASE DIFUSIVO

```
1 //ARCHIVO DE CODIGO FUENTE DE LA CLASE DIFUSIVO: difusivo.cpp
2
3 #include <petsc.h>
4 #include <cmath>
5 #include "geom.h"
6 #include "frontera.h"
7
8 /***** FUNCIÓN PARA EL CÁLCULO DE LOS TÉRMINOS DIFUSIVOS *****/
9
10 PetscErrorCode difusivo::calcular_D(double gamma, geom b, Mat *matriz_difusivo, Vec *vec_difffront)
11 {
12     //Tomar los elementos geométricos de la clase geom
13     n_vc=b.vc;
14     matriz_areas=b.matriz_areas;
15     matriz_vecpf=b.matriz_vecpf;
16     matriz_vecinos=b.matriz_vecinos;
17
18     /* ----- CALCULAR Y GUARDAR LOS TÉRMINOS DIFUSIVOS -----*/
19
20     tem=0;tempor=1;
21     for (i=0;i<n_vc;i++)
22     {
23         ierr = MatGetRow(matriz_areas,i,PETSC_NULL,PETSC_NULL,&area);CHKERRQ(ierr);
24         ierr = MatGetRow(matriz_vecpf,i,PETSC_NULL,PETSC_NULL,&pf);CHKERRQ(ierr);
25         ierr = MatGetRow(matriz_vecinos,i,PETSC_NULL,PETSC_NULL,&vecinos);CHKERRQ(ierr);
26
27         //Cálculo del término difusivo
28         for (j=0;j<3;j++)
29         {
30             value[j]=gamma*(area[tem]*area[tem]+area[tempor]*area[tempor])/(area[tem]*pf[tem]+area[tempor]*
31             pf[tempor]);
32             tem=tem+2;
33             tempor=tempor+2;
34         }
35         tem=0;tempor=1;
36
37         //Establecer las columnas de la matriz
38         coldif[0]=vecinos[0];
39         coldif[1]=vecinos[1];
40         coldif[2]=vecinos[2];
41
42         //Insertar los valores en la matriz y el vector(en caso de que sea frontera)
43         if (vecinos[2]>n_vc) // Si el vc tiene frontera
44         {
45             difffront=value[2];
46             ierr = VecSetValues(*vec_difffront,1,&i,&difffront,INSERT_VALUES);CHKERRQ(ierr);
47             ierr = MatSetValues(*matriz_difusivo,1,&i,2,coldif,value,INSERT_VALUES);CHKERRQ(ierr);
48         }
49
50         else //Si el vc no tiene frontera
51         {
52             ierr = MatSetValues(*matriz_difusivo,1,&i,3,coldif,value,INSERT_VALUES);CHKERRQ(ierr);
53         }
54         ierr = MatRestoreRow(matriz_areas,i,PETSC_NULL,PETSC_NULL,&area);CHKERRQ(ierr);
55         ierr = MatRestoreRow(matriz_vecpf,i,PETSC_NULL,PETSC_NULL,&pf);CHKERRQ(ierr);
56         ierr = MatRestoreRow(matriz_vecinos,i,PETSC_NULL,PETSC_NULL,&vecinos);CHKERRQ(ierr);
57     }
58
59     ierr = MatAssemblyBegin(*matriz_difusivo,MAT_FINAL_ASSEMBLY);CHKERRQ(ierr);
60     ierr = MatAssemblyEnd(*matriz_difusivo,MAT_FINAL_ASSEMBLY);CHKERRQ(ierr);
61
62     ierr = VecAssemblyBegin(*vec_difffront);CHKERRQ(ierr);
63     ierr = VecAssemblyEnd(*vec_difffront);CHKERRQ(ierr);
64
65     return ierr;
66 }
```

8. ARCHIVO DE ENCABEZADO DE LA CLASE GRADIENTE

```
1 //ARCHIVO DE ENCABEZADO DE LA CLASE GRADIENTE: gradiente.h
2
3 #ifndef _GRADIENTE_H_
4 #define _GRADIENTE_H_
5
6 class gradiente
7 {
8     private:
9
10         PetscErrorCode ierr;           //Variable de error de Petsc
11         int i,j,k,ii;                  //Contadores
12         int tem,tempor,tempora;       //Variables temporales
13
14         //Elementos geométricos
15         int n_vc;
16         Vec vec_volumen;
17         PetscScalar *volumenvc;
18         Mat matriz_areas;
19         const PetscScalar *areas;
20         Mat matriz_vecinos;
21         const PetscScalar *vecinos;
22         const PetscScalar *vvecinos;
23         Mat matriz_alfaf;
24         const PetscScalar *alfaf;
25
26         //Elementos de frontera
27         Vec vec_condf;
28         PetscScalar *condf;
29         Vec vec_front;
30         PetscScalar *valueb;
31
32         //Variable para tomar los valores de phi en los centroides de las celdas
33         PetscScalar *phivc0;
34
35         //Variables para el cálculo de phi en las caras
36         PetscScalar phif0[3];
37         const PetscScalar *phi_f0;
38
39         //Variable para calcular el gradiente
40         PetscScalar gradphivc[2];
41
42     public:
43
44         //Matriz de valores de phi en las caras de cada volumen de control
45         Mat matriz_phif;
46
47         //Funciones
48         PetscErrorCode calcular_vcara(geom gm,frontera f,Vec vec_soluant,Mat *matriz_phif0);
49         PetscErrorCode calcular_grad(geom gm,frontera f,Vec vec_soluant,Mat *matriz_gradphivc);
50
51 };
52
53 #endif // _GRADIENTE_H_
```

martes, 20 de

9. ARCHIVO DE CÓDIGO FUENTE DE LA CLASE GRADIENTE

```
1 //ARCHIVO DE CÓDIGO FUENTE DE LA CLASE GRADIENTE: gradiente.cpp
2
3 #include <petsc.h>
4 #include <cmath>
5 #include "geom.h"
6 #include "frontera.h"
7
8 /***** FUNCIÓN CALCULAR LOS VALORES DE PHI EN LAS CARAS *****/
9
10 PetscErrorCode gradiente::calcular_vcara(geom gm,frontera f,Vec vec_phi,Mat *matriz_phif0)
11 {
12     //Tomar los elementos geométricos de la clase geom
13     n_vc=gm.vc;
14     vec_volumen=gm.vec_volumen;
15     matriz_areas=gm.matriz_areas;
16     matriz_vecinos=gm.matriz_vecinos;
17     matriz_alfaf=gm.matriz_alfaf;
18
19     //Tomar los elementos de la clase frontera
20     vec_condf=f.vec_condf;
21     vec_front=f.vec_front;
22
23     /* ----- CALCULAR Y GUARDAR LOS VALORES DE PHI EN LAS CARAS -----*/
24
25     PetscInt col[n_vc];
26     for (i=0;i<n_vc;i++)
27     {
28         col[i]=i;
29     }
30
31     ierr = VecGetArray(vec_volumen,&volumenvc);CHKERRQ(ierr);
32     ierr = VecGetArray(vec_phi,&phivc0);CHKERRQ(ierr);
33     ierr = VecGetArray(vec_condf,&condf);CHKERRQ(ierr);
34     ierr = VecGetArray(vec_front,&valueb);CHKERRQ(ierr);
35
36     for (i=0;i<n_vc;i++)
37     {
38         ierr = MatGetRow(matriz_areas,i,PETSC_NULL,PETSC_NULL,&areas);CHKERRQ(ierr);
39         ierr = MatGetRow(matriz_alfaf,i,PETSC_NULL,PETSC_NULL,&alfaf);CHKERRQ(ierr);
40
41         //Identificar celdas vecinas
42         ierr = MatGetRow(matriz_vecinos,i,PETSC_NULL,PETSC_NULL,&vecinos);CHKERRQ(ierr);
43         tem=vecinos[0];
44         tempor=vecinos[1];
45         tempora=vecinos[2];
46         ierr = MatRestoreRow(matriz_vecinos,i,PETSC_NULL,PETSC_NULL,&vecinos);CHKERRQ(ierr);
47
48         //Calcular la variable en las caras
49         phif0[0]=(1-alfaf[0])*phivc0[i]+alfaf[0]*phivc0[tem];
50         phif0[1]=(1-alfaf[1])*phivc0[i]+alfaf[1]*phivc0[tempor];
51
52         if (tempora>n_vc) //Si es un vc frontera
53         {
54             if (condf[i]==1) //Condición Dirichlet
55                 {phif0[2]=valueb[i];}
56             if (condf[i]==-1) //Condición Newman
57                 {phif0[2]=phivc0[i];}
58             if (condf[i]==2) //En el caso de la velocidad
59                 {
60                     if (valueb[i]==1)
61                         {phif0[2]=((-phif0[0]*areas[0])-(phif0[1]*areas[2]))/areas[4];}
62                     if (valueb[i]==2)
63                         {phif0[2]=0;}
64                 }
```

```

64     }
65 }
66 else //Si no es un vc frontera
67 {
68     phif0[2]=(1-alfaf[2])*phivc0[i]+alfaf[2]*phivc0[tempora];
69 }
70
71 ierr = MatSetValues(*matriz_phif0,1,&i,3,col,phif0,INSERT_VALUES);CHKERRQ(ierr);
72
73 ierr = MatRestoreRow(matriz_areas,i,PETSC_NULL,PETSC_NULL,&areas);CHKERRQ(ierr);
74 ierr = MatRestoreRow(matriz_alfaf,i,PETSC_NULL,PETSC_NULL,&alfaf);CHKERRQ(ierr);
75 }
76
77 ierr = VecRestoreArray(vec_volumen,&volumenvc);CHKERRQ(ierr);
78 ierr = VecRestoreArray(vec_phi,&phivc0);CHKERRQ(ierr);
79 ierr = VecRestoreArray(vec_condf,&condf);CHKERRQ(ierr);
80 ierr = VecRestoreArray(vec_front,&valueb);CHKERRQ(ierr);
81
82 ierr = MatAssemblyBegin(*matriz_phif0,MAT_FINAL_ASSEMBLY);CHKERRQ(ierr);
83 ierr = MatAssemblyEnd(*matriz_phif0,MAT_FINAL_ASSEMBLY);CHKERRQ(ierr);
84
85 return ierr;
86 }
87
88
89 /***** FUNCIÓN CALCULAR EL GRADIENTE DE PHI *****/
90
91 PetscErrorCode gradiente::calcular_grad(geom gm,frontera f,Vec vec_phi,Mat *matriz_gradphivc)
92 {
93     //Tomar los elementos geométricos de la clase geom
94     n_vc=gm.vc;
95     vec_volumen=gm.vec_volumen;
96     matriz_areas=gm.matriz_areas;
97     matriz_vecinos=gm.matriz_vecinos;
98     matriz_alfaf=gm.matriz_alfaf;
99
100     //Tomar los elementos de la clase frontera
101     vec_condf=f.vec_condf;
102     vec_front=f.vec_front;
103
104     /* ----- INICIALIZACIÓN DE VARIABLES ----- */
105
106     PetscInt col[n_vc];
107     for (i=0;i<n_vc;i++)
108     {
109         col[i]=i;
110     }
111
112     //Matriz de phi en las caras del vc
113     ierr = MatCreate(PETSC_COMM_WORLD,&matriz_phif);CHKERRQ(ierr);
114     ierr = MatSetSizes(matriz_phif,PETSC_DECIDE,PETSC_DECIDE,n_vc,3);CHKERRQ(ierr);
115     ierr = MatSetFromOptions(matriz_phif);CHKERRQ(ierr);
116     ierr = MatSetUp(matriz_phif);CHKERRQ(ierr);
117
118     /* ----- CALCULAR LOS VALORES DE PHI EN LAS CARAS -----*/
119
120     ierr = VecGetArray(vec_volumen,&volumenvc);CHKERRQ(ierr);
121     ierr = VecGetArray(vec_soluant,&phivc0);CHKERRQ(ierr);
122     ierr = VecGetArray(vec_condf,&condf);CHKERRQ(ierr);
123     ierr = VecGetArray(vec_front,&valueb);CHKERRQ(ierr);
124
125     for (i=0;i<n_vc;i++)
126     {
127         ierr = MatGetRow(matriz_areas,i,PETSC_NULL,PETSC_NULL,&areas);CHKERRQ(ierr);
128         ierr = MatGetRow(matriz_alfaf,i,PETSC_NULL,PETSC_NULL,&alfaf);CHKERRQ(ierr);
129

```

```

130 //Identificar celdas vecinas
131 ierr = MatGetRow(matriz_vecinos,i,PETSC_NULL,PETSC_NULL,&vecinos);CHKERRQ(ierr);
132 tem=vecinos[0];
133 tempor=vecinos[1];
134 tempora=vecinos[2];
135 ierr = MatRestoreRow(matriz_vecinos,i,PETSC_NULL,PETSC_NULL,&vecinos);CHKERRQ(ierr);
136
137 //Calcular la variable en las caras
138 phif0[0]=(1-alfaf[0])*phivc0[i]+alfaf[0]*phivc0[tem];
139 phif0[1]=(1-alfaf[1])*phivc0[i]+alfaf[1]*phivc0[tempor];
140
141 if (tempora>n_vc) //Si es un vc frontera
142 {
143     if (condf[i]==1) //Condición Dirichlet
144     {phif0[2]=valueb[i];}
145     if (condf[i]==-1) //Condición Newman
146     {phif0[2]=phivc0[i];}
147     if (condf[i]==2) //Condición outflow para la velocidad
148     {
149         if (valueb[i]==1)
150         {phif0[2]=((-phif0[0]*areas[0])-(phif0[1]*areas[2]))/areas[4];}
151         if (valueb[i]==2)
152         {phif0[2]=0;}
153     }
154 }
155 else //Si no es un vc frontera
156 {
157     phif0[2]=(1-alfaf[2])*phivc0[i]+alfaf[2]*phivc0[tempora];
158 }
159
160 ierr = MatSetValues(matriz_phif,1,&i,3,col,phif0,INSERT_VALUES);CHKERRQ(ierr);
161
162 ierr = MatRestoreRow(matriz_areas,i,PETSC_NULL,PETSC_NULL,&areas);CHKERRQ(ierr);
163 ierr = MatRestoreRow(matriz_alfaf,i,PETSC_NULL,PETSC_NULL,&alfaf);CHKERRQ(ierr);
164 }
165
166 ierr = MatAssemblyBegin(matriz_phif,MAT_FINAL_ASSEMBLY);CHKERRQ(ierr);
167 ierr = MatAssemblyEnd(matriz_phif,MAT_FINAL_ASSEMBLY);CHKERRQ(ierr);
168
169 /* ----- CALCULAR Y GUARDAR LOS VALORES DEL GRADIENTE DE PHI -----*/
170
171 for (i=0;i<n_vc;i++)
172 {
173     ierr = MatGetRow(matriz_areas,i,PETSC_NULL,PETSC_NULL,&areas);CHKERRQ(ierr);
174     ierr = MatGetRow(matriz_phif,i,PETSC_NULL,PETSC_NULL,&phi_f0);CHKERRQ(ierr);
175
176     gradphivc[0]=((phi_f0[0]*areas[0])+(phi_f0[1]*areas[2])+(phi_f0[2]*areas[4]))/volumenc[i];
177     gradphivc[1]=((phi_f0[0]*areas[1])+(phi_f0[1]*areas[3])+(phi_f0[2]*areas[5]))/volumenc[i];
178
179     ierr = MatSetValues(*matriz_gradphivc,1,&i,2,col,gradphivc,INSERT_VALUES);CHKERRQ(ierr);
180
181     ierr = MatRestoreRow(matriz_areas,i,PETSC_NULL,PETSC_NULL,&areas);CHKERRQ(ierr);
182     ierr = MatRestoreRow(matriz_phif,i,PETSC_NULL,PETSC_NULL,&phi_f0);CHKERRQ(ierr);
183 }
184
185
186 ierr = VecRestoreArray(vec_volumen,&volumenc);CHKERRQ(ierr);
187 ierr = VecRestoreArray(vec_phi,&phivc0);CHKERRQ(ierr);
188 ierr = VecRestoreArray(vec_condf,&condf);CHKERRQ(ierr);
189 ierr = VecRestoreArray(vec_front,&valueb);CHKERRQ(ierr);
190
191 ierr = MatAssemblyBegin(*matriz_gradphivc,MAT_FINAL_ASSEMBLY);CHKERRQ(ierr);
192 ierr = MatAssemblyEnd(*matriz_gradphivc,MAT_FINAL_ASSEMBLY);CHKERRQ(ierr);
193
194 //Se destruyen las matrices creadas que ya no se van a usar

```

```

195     ierr = MatDestroy(&matriz_phif);CHKERRQ(ierr);
196
197     return ierr;
198 }

```

10. ARCHIVO DE ENCABEZADO DE LA CLASE CONVECTIVO

```

1 //ARCHIVO DE ENCABEZADO DE LA CLASE CONVECTIVO: convectivo.h
2
3 #ifndef _CONVECTIVO_H_
4 #define _CONVECTIVO_H_
5
6 class convectivo
7 {
8     private:
9
10         PetscErrorCode ierr;           //Variable de error de Petsc
11         int i,j,k,ii;                 //Contadores
12         int tempora,temporal,tem,tempor; //Variables de uso temporal
13
14         //Variables para establecer las columnas
15         PetscInt col[2];
16         PetscInt colconv[4];
17
18         //Elementos geométricos
19         int n_vc;
20         Mat matriz_areas;
21         const PetscScalar *areas;
22         Mat matriz_vecinos;
23         const PetscScalar *vecinos;
24         const PetscScalar *vvecinos;
25         Mat matriz_coord;
26         const PetscScalar *coordvc;
27         Mat matriz_centrocara;
28         const PetscScalar *centrocara;
29         Mat matriz_alfaf;
30         const PetscScalar *alfaf;
31         Mat matriz_vecpcent;
32         const PetscScalar *pcentp;
33         const PetscScalar *pcentf;
34
35         //Elementos de frontera
36         Vec vec_condf;
37         PetscScalar *condfu;
38         Vec vec_frontu;
39         PetscScalar *ufront;
40         Vec vec_frontv;
41         PetscScalar *vfront;
42         PetscScalar *u,*v;
43
44         //Variables para obtener los valores de las matrices y vectores dados como argumentos
45         velocidadf[2];
46         PetscScalar value[4];
47         PetscScalar convecfront;
48
49         //Objetos de la clase gradiente
50         gradiente gru;
51         gradiente grv;
52
53         //Variables para guardar y usar los valores tomados de los objetos de clase gradiente
54         Mat matriz_uf;
55         const PetscScalar *uf;

```

```

56         Mat matriz_vf;
57         const PetscScalar *vf;
58
59     public:
60
61         //Funciones
62         PetscErrorCode calcular_F(double densidad,geom gm,double *velocidad,Mat *matriz_convectivo,Vec *
vec_convectifront);
63         PetscErrorCode calcular_Ff(double densidad,geom gm,Vec vec_u,Vec vec_v,frontera fu,frontera fv,Mat *
matriz_convectivo,Vec *vec_convectifront);
64         PetscErrorCode calcular_Fsh(double densidad,geom gm,Mat *matriz_convectivo,Vec *vec_convectifront);
65
66
67     };
68
69 #endif // _CONVECTIVO_H_

```

11. ARCHIVO DE CÓDIGO FUENTE DE LA CLASE CONVECTIVO

```

1  //ARCHIVO DE CÓDIGO FUENTE DE LA CLASE CONVECTIVO: convectivo.cpp
2
3  #include <petsc.h>
4  #include <cmath>
5  #include "geom.h"
6  #include "frontera.h"
7  #include "gradiente.h"
8
9  /***** TÉRMINOS CONVECTIVOS EN LA EC. DE DIFUSIÓN-CONVECCIÓN *****/
10
11 PetscErrorCode convectivo::calcular_F(double densidad,geom gm,double *velocidad,Mat *matriz_convectivo,Vec
*vec_convectifront)
12 {
13     //Tomar los elementos geométricos de la clase geom
14     n_vc=gm.vc;
15     matriz_areas=gm.matriz_areas;
16     matriz_vecinos=gm.matriz_vecinos;
17
18     /* ----- CALCULAR Y GUARDAR LOS TÉRMINOS CONVECTIVOS -----*/
19     col[0]=0;
20     col[1]=1;
21
22     for (i=0;i<n_vc;i++)
23     {
24         ierr = MatGetRow(matriz_areas,i,PETSC_NULL,PETSC_NULL,&areas);CHKERRQ(ierr);
25         ierr = MatGetRow(matriz_vecinos,i,PETSC_NULL,PETSC_NULL,&vecinos);CHKERRQ(ierr);
26
27         tempora=0;
28         temporal=1;
29
30         //Establecer las columnas de la matriz
31         colconv[0]=vecinos[0];
32         colconv[1]=vecinos[1];
33         colconv[2]=vecinos[2];
34
35         //Cálculo del término convectivo
36         for (j=0;j<3;j++)
37         {
38             value[j]=densidad*(velocidad[0]*areas[tempora]+velocidad[1]*areas[temporal]);
39             tempora=tempora+2;
40             temporal=temporal+2;
41         }
42

```

```

43 //Insertar los valores en la matriz y el vector(en caso de que sea frontera)
44 if (vecinos[2]>n_vc) //Si el vc tiene frontera
45 {
46     convecfront=value[2];
47     ierr = VecSetValues(vec_convecfront,1,&i,&convecfront,INSERT_VALUES);CHKERRQ(ierr);
48     ierr = MatSetValues(matriz_convectivo,1,&i,2,colconv,value,INSERT_VALUES);CHKERRQ(ierr);
49 }
50 }
51 else //Si el vc no tiene frontera
52 {
53     ierr = MatSetValues(matriz_convectivo,1,&i,3,colconv,value,INSERT_VALUES);CHKERRQ(ierr);
54 }
55 }
56 ierr = MatRestoreRow(matriz_areas,i,PETSC_NULL,PETSC_NULL,&areas);CHKERRQ(ierr);
57 ierr = MatRestoreRow(matriz_vecinos,i,PETSC_NULL,PETSC_NULL,&vecinos);CHKERRQ(ierr);
58 }
59 }
60 ierr = MatAssemblyBegin(matriz_convectivo,MAT_FINAL_ASSEMBLY);CHKERRQ(ierr);
61 ierr = MatAssemblyEnd(matriz_convectivo,MAT_FINAL_ASSEMBLY);CHKERRQ(ierr);
62 }
63 ierr = VecAssemblyBegin(vec_convecfront);CHKERRQ(ierr);
64 ierr = VecAssemblyEnd(vec_convecfront);CHKERRQ(ierr);
65 }
66 return ierr;
67 }
68 }
69 }
70 /***** TÉRMINOS CONVECTIVOS EN EL PROBLEMA DE FLUJO *****/
71 }
72 PetscErrorCode convectivo::calcular_F(double densidad,geom gm,Vec vec_u,Vec vec_v,frontera fu, frontera fv
Mat *matriz_convectivo,Vec *vec_convecfront)
73 {
74     //Tomar los elementos geométricos de la clase geom
75     n_vc=gm.vc;
76     matriz_areas=gm.matriz_areas;
77     matriz_vecinos=gm.matriz_vecinos;
78     matriz_alfaf=gm.matriz_alfaf;
79     matriz_vecpcent=gm.matriz_vecpcent;
80 }
81 //Tomar los elementos de la clase frontera
82 vec_condf=fu.vec_condf;
83 vec_frontu=fu.vec_front;
84 vec_frontv=fv.vec_front;
85 }
86 /* ----- INICIALIZACIÓN DE VARIABLES ----- */
87 }
88 col[0]=0;
89 col[1]=1;
90 }
91 //Matriz de u en las caras
92 ierr = MatCreate(PETSC_COMM_WORLD,&matriz_uf);CHKERRQ(ierr);
93 ierr = MatSetSizes(matriz_uf,PETSC_DECIDE,PETSC_DECIDE,n_vc,3);CHKERRQ(ierr);
94 ierr = MatSetFromOptions(matriz_uf);CHKERRQ(ierr);
95 ierr = MatSetUp(matriz_uf);CHKERRQ(ierr);
96 }
97 //Matriz de v en las caras
98 ierr = MatCreate(PETSC_COMM_WORLD,&matriz_vf);CHKERRQ(ierr);
99 ierr = MatSetSizes(matriz_vf,PETSC_DECIDE,PETSC_DECIDE,n_vc,3);CHKERRQ(ierr);
100 ierr = MatSetFromOptions(matriz_vf);CHKERRQ(ierr);
101 ierr = MatSetUp(matriz_vf);CHKERRQ(ierr);
102 }
103 /* ----- CREAR LOS OBJETOS DE LA CLASE GRADIENTE PARA OBTENER -----*/
104 /* ----- LAS VELOCIDADES EN LAS CARAS ----- */
105 }
106 //Calculo de la velocidad u en las caras
107 gru.calcular vcara(b,fu,vec u,&matriz uf);

```

```

108
109 //Calculo de la velocidad v en las caras
110 grv.calcular_vcara(b, fv, vec_v, &matriz_vf);
111
112 /* ----- CALCULAR Y GUARDAR LOS TÉRMINOS CONVECTIVOS ----- */
113
114 for (i=0; i<n_vc; i++)
115 {
116     ierr = MatGetRow(matriz_areas, i, PETSC_NULL, PETSC_NULL, &areas); CHKERRQ(ierr);
117     ierr = MatGetRow(matriz_vecinos, i, PETSC_NULL, PETSC_NULL, &vecinos); CHKERRQ(ierr);
118     ierr = MatGetRow(matriz_uf, i, PETSC_NULL, PETSC_NULL, &uf); CHKERRQ(ierr);
119     ierr = MatGetRow(matriz_vf, i, PETSC_NULL, PETSC_NULL, &vf); CHKERRQ(ierr);
120
121     tempora=0;
122     temporal=1;
123
124     //Establecer las columnas de la matriz
125     colconv[0]=vecinos[0];
126     colconv[1]=vecinos[1];
127     colconv[2]=vecinos[2];
128
129     //Cálculo del término convectivo
130     for (j=0; j<3; j++)
131     {
132         value[j]=densidad*(uf[j]*areas[tempora]+vf[j]*areas[temporal]);
133         tempora=tempora+2;
134         temporal=temporal+2;
135     }
136
137     //Insertar los valores en la matriz y el vector(en caso de que sea frontera)
138     if (vecinos[2]>n_vc) //Si el vc tiene frontera
139     {
140         convecfront=value[2];
141         ierr = VecSetValues(*vec_convecfront, 1, &i, &convecfront, INSERT_VALUES); CHKERRQ(ierr);
142         ierr = MatSetValues(*matriz_convectivo, 1, &i, 2, colconv, value, INSERT_VALUES); CHKERRQ(ierr);
143     }
144     else //Si el vc no tiene frontera
145     {
146         ierr = MatSetValues(*matriz_convectivo, 1, &i, 3, colconv, value, INSERT_VALUES); CHKERRQ(ierr);
147     }
148
149     ierr = MatRestoreRow(matriz_areas, i, PETSC_NULL, PETSC_NULL, &areas); CHKERRQ(ierr);
150     ierr = MatRestoreRow(matriz_vecinos, i, PETSC_NULL, PETSC_NULL, &vecinos); CHKERRQ(ierr);
151     ierr = MatGetRow(matriz_uf, i, PETSC_NULL, PETSC_NULL, &uf); CHKERRQ(ierr);
152     ierr = MatGetRow(matriz_vf, i, PETSC_NULL, PETSC_NULL, &vf); CHKERRQ(ierr);
153 }
154
155
156 ierr = MatAssemblyBegin(*matriz_convectivo, MAT_FINAL_ASSEMBLY); CHKERRQ(ierr);
157 ierr = MatAssemblyEnd(*matriz_convectivo, MAT_FINAL_ASSEMBLY); CHKERRQ(ierr);
158
159 ierr = VecAssemblyBegin(*vec_convecfront); CHKERRQ(ierr);
160 ierr = VecAssemblyEnd(*vec_convecfront); CHKERRQ(ierr);
161
162 //Se destruyen las matrices creadas que ya no se van a usar
163 ierr = MatDestroy(&matriz_uf); CHKERRQ(ierr);
164 ierr = MatDestroy(&matriz_vf); CHKERRQ(ierr);
165
166 return ierr;
167
168 }
169
170 /***** TÉRMINOS CONVECTIVOS EN EL SMITH-HUTTON *****/
171
172 PetscErrorCode convectivo::calcular_Fsh(double densidad, geom gm, Mat *matriz_convectivo, Vec *vec_convecfron

```

```

)
173 {
174     //Tomar los elementos geométricos de la clase geom
175     n_vc=gm.vc;
176     matriz_areas=gm.matriz_areas;
177     matriz_vecinos=gm.matriz_vecinos;
178     matriz_coord=gm.matriz_coord;
179     matriz_centrocara=gm.matriz_centrocara;
180
181     /* ----- CALCULAR Y GUARDAR LOS TÉRMINOS CONVECTIVOS -----*/
182
183     col[0]=0;
184     col[1]=1;
185
186     for (i=0;i<n_vc;i++)
187     {
188         ierr = MatGetRow(matriz_areas,i,PETSC_NULL,PETSC_NULL,&areas);CHKERRQ(ierr);
189         ierr = MatGetRow(matriz_vecinos,i,PETSC_NULL,PETSC_NULL,&vecinos);CHKERRQ(ierr);
190         ierr = MatGetRow(matriz_centrocara,i,PETSC_NULL,PETSC_NULL,&centrocara);CHKERRQ(ierr);
191
192         tempora=0;
193         temporal=1;
194
195         //Establecer las columnas de la matriz
196         colconv[3]=i;
197         colconv[0]=vecinos[0];
198         colconv[1]=vecinos[1];
199
200         for (j=0;j<3;j++)
201         {
202             //Cálculo de la velocidad en las caras
203             velocidadf[0]=2*centrocara[temporal]*(1-centrocara[temporal]*centrocara[temporal]);
204             velocidadf[1]=-2*centrocara[temporal]*(1-centrocara[temporal]*centrocara[temporal]);
205
206             //Cálculo del término convectivo
207             value[j]=-densidad*(velocidad[0]*areas[temporal]+velocidad[1]*areas[temporal]);
208             tempora=tempora+2;
209             temporal=temporal+2;
210         }
211
212         //Insertar los valores en la matriz y el vector(en caso de que sea frontera)
213         if (vecinos[2]>n_vc) //Si el vc tiene frontera
214         {
215             colconv[2]=i;
216             convecfront=-value[2];
217             value[2]=- (value[0]+value[1]-convecfront);
218             ierr = MatSetValues(matriz_convectivo,1,&i,3,colconv,value,INSERT_VALUES);CHKERRQ(ierr);
219             ierr = VecSetValues(vec_convecfront,1,&i,&convecfront,INSERT_VALUES);CHKERRQ(ierr);
220         }
221         else //Si el vc no tiene frontera
222         {
223             colconv[2]=vecinos[2];
224             value[3]=- (value[0]+value[1]+value[2]);
225             ierr = MatSetValues(matriz_convectivo,1,&i,4,colconv,value,INSERT_VALUES);CHKERRQ(ierr);
226         }
227
228         ierr = MatRestoreRow(matriz_areas,i,PETSC_NULL,PETSC_NULL,&areas);CHKERRQ(ierr);
229         ierr = MatRestoreRow(matriz_vecinos,i,PETSC_NULL,PETSC_NULL,&vecinos);CHKERRQ(ierr);
230         ierr = MatRestoreRow(matriz_centrocara,i,PETSC_NULL,PETSC_NULL,&centrocara);CHKERRQ(ierr);
231     }
232
233     ierr = MatAssemblyBegin(matriz_convectivo,MAT_FINAL_ASSEMBLY);CHKERRQ(ierr);
234     ierr = MatAssemblyEnd(matriz_convectivo,MAT_FINAL_ASSEMBLY);CHKERRQ(ierr);
235

```

```

236     ierr = VecAssemblyBegin(vec_convecfront);CHKERRQ(ierr);
237     ierr = VecAssemblyEnd(vec_convecfront);CHKERRQ(ierr);
238
239     return ierr;
240
241 }

```

12. ARCHIVO DE ENCABEZADO DE LA CLASE TERMINDEP

```

1 //ARCHIVO DE ENCABEZADO DE LA CLASE TERMINDEP
2 #ifndef _TERMINDEP_H_
3 #define _TERMINDEP_H_
4
5 class termindep
6 {
7     private:
8
9         PetscErrorCode ierr; //Variable de error de Petsc
10        int i,j,k,ii; //Contadores
11        int tem,tempor,tempora,ttemp,ttempo; //Variables de uso temporal
12
13        //Elementos geométricos
14        int n_vc;
15        Vec vec_volumen;
16        PetscScalar *volumenvc;
17        Mat matriz_areas;
18        const PetscScalar *areas;
19        Mat matriz_vecinos;
20        const PetscScalar *vecinos;
21        const PetscScalar *vvecinos;
22        Mat matriz_alfaf;
23        const PetscScalar *alfaf;
24        Mat matriz_deltaxie;
25        const PetscScalar *deltaxies;
26        Mat matriz_vecppprima;
27        const PetscScalar *ppprima;
28        const PetscScalar *ffprima;
29        Mat matriz_coord;
30        const PetscScalar *coord;
31
32        //Elementos de frontera
33        Vec vec_condf;
34        Vec vec_condfp;
35        PetscScalar *condf;
36        Vec vec_front;
37        Vec vec_frontp;
38        PetscScalar *valueb;
39
40        //Variables para usar los valores de las matrices y vectores dados como argumentos
41        const PetscScalar *Df;
42        PetscScalar *difb;
43        PetscScalar *convb;
44        PetscScalar *phivc0;
45        const PetscScalar *upf;
46        const PetscScalar *vpf;
47
48        //Variables para los cálculos
49        PetscScalar areab,secondgrad,b,sumsecondgrad,sumtermp;
50        PetscScalar gradphivc[2],gradphicara[2];
51        const PetscScalar *gradphiactual;

```

```

52         const PetscScalar *gradphivecino;
53
54     public:
55
56         //Funciones
57         PetscErrorCode calcular_be (geom gm, frontera f, Mat matriz_difusivo, Vec vec_difffront, Vec
vec_convecfront, Mat matriz_gradphivc, Vec *vec_b);
58         PetscErrorCode calcular_bte (geom gm, frontera f, Mat matriz_difusivo, Vec vec_difffront, Vec
vec_convecfront, Vec vec_soluant, Mat matriz_gradphivc, Vec *vec_b);
59         PetscErrorCode calcular_bti (geom gm, frontera f, Mat matriz_difusivo, Vec vec_difffront, Vec vec_soluant,
Mat matriz_gradphivc, Vec vec_ap0, Vec *vec_b);
60         PetscErrorCode calcular_bp (geom gm, frontera fp, Mat matriz_difusivo, Vec vec_difffront, Mat matriz_gradp
, Mat matriz_upf, Mat matriz_vpf, double densidad, double deltat, Vec *vec_b);
61     };
62

```

13. ARCHIVO DE CÓDIGO FUENTE DE LA CLASE TERMINDEP

```

1 //ARCHIVO DE CÓDIGO FUENTE DE LA CLASE TERMINDEP: termindep.cpp
2
3 #include <petsc.h>
4 #include <cmath>
5 #include "geom.h"
6 #include "frontera.h"
7
8 /****** CÁLCULO DE B PARA EL PROBLEMA DE DIFUSIÓN-CONVECCIÓN EN ESTADO ESTABLE *****/
9
10 PetscErrorCode termindep::calcular_be (geom gm, frontera f, Mat matriz_difusivo, Vec vec_difffront, Vec
vec_convecfront, Mat matriz_gradphivc, Vec *vec_b)
11 {
12     //Tomar los elementos geométricos de la clase geom
13     n_vc=gm.vc;
14     matriz_vecinos=gm.matriz_vecinos;
15     matriz_areas=gm.matriz_areas;
16     matriz_vecppprima=gm.matriz_vecppprima;
17
18     //Tomar los elementos de la clase frontera
19     vec_condf=f.vec_condf;
20     vec_front=f.vec_front;
21
22     /* ----- CALCULAR Y GUARDAR EL VECTOR DE TERMINOS INDEPENDIENTES -----*/
23
24     ierr = VecGetArray (vec_condf, &condf); CHKERRQ (ierr);
25     ierr = VecGetArray (vec_front, &valueb); CHKERRQ (ierr);
26     ierr = VecGetArray (vec_difffront, &difb); CHKERRQ (ierr);
27     ierr = VecGetArray (vec_convecfront, &convb); CHKERRQ (ierr);
28
29     for (i=0; i<n_vc; i++)
30     {
31
32         ierr = MatGetRow (matriz_gradphivc, i, PETSC_NULL, PETSC_NULL, &gradphiactual); CHKERRQ (ierr);
33         ierr = MatGetRow (matriz_vecinos, i, PETSC_NULL, PETSC_NULL, &vecinos); CHKERRQ (ierr);
34         ierr = MatGetRow (matriz_areas, i, PETSC_NULL, PETSC_NULL, &areas); CHKERRQ (ierr);
35         ierr = MatGetRow (matriz_vecppprima, i, PETSC_NULL, PETSC_NULL, &ppprima); CHKERRQ (ierr);
36         ierr = MatGetRow (matriz_difusivo, i, PETSC_NULL, PETSC_NULL, &Df); CHKERRQ (ierr);
37
38         tem=0; tempor=1; b=0; secondgrad=0; sumsecondgrad=0;
39
40         for (j=0; j<3; j++)
41         {
42             k=vecinos [j];
43

```

```

44     if (k>n_vc)
45     {
46         if (condf[i]==1) //Condición Dirichlet
47         {
48             //Gradiente secundario en la frontera
49             secondgrad=-difb[i]*(gradphiactual[0]*ppprima[tem]+gradphiactual[1]*ppprima[tempor]);
50             //Termino independiente en la frontera
51             b=b+secondgrad+difb[i]*valueb[i]-convb[i]*valueb[i];
52         }
53         if (condf[i]==-1) //Condición Neumann
54         {
55             //Magnitud del área de la frontera
56             areab=sqrt(pow(areas[tem],2)+pow(areas[tempor],2));
57             //Termino independiente en la frontera
58             b=b+valueb[i]*areab;
59         }
60     }
61     else
62     {
63         ierr = MatGetRow(matriz_vecinos,k,PETSC_NULL,PETSC_NULL,&vvecinos);CHKERRQ(ierr);
64         for (ii=0;ii<3;ii++)
65         {
66             {
67                 ttemp=2*ii;
68                 ttempo=2*ii+1;
69             }
70         }
71         ierr = MatRestoreRow(matriz_vecinos,k,PETSC_NULL,PETSC_NULL,&vvecinos);CHKERRQ(ierr);
72
73         ierr = MatGetRow(matriz_gradphivc,k,PETSC_NULL,PETSC_NULL,&gradphivecino);CHKERRQ(ierr);
74         ierr = MatGetRow(matriz_vecpprima,k,PETSC_NULL,PETSC_NULL,&ffprima);CHKERRQ(ierr);
75
76         //Gradiente secundario
77         secondgrad=Df[j]*((gradphivecino[0]*ffprima[ttemp]+gradphivecino[1]*ffprima[ttempo])-(
gradphiactual[0]*ppprima[tem]+gradphiactual[1]*ppprima[tempor]));
78         //Sumatoria del gradiente secundario
79         sumsecondgrad=sumsecondgrad+secondgrad;
80
81         tem=tem+2;
82         tempor=tempor+2;
83     }
84     ierr = MatRestoreRow(matriz_gradphivc,k,PETSC_NULL,PETSC_NULL,&gradphivecino);CHKERRQ(ierr);
85     ierr = MatRestoreRow(matriz_vecpprima,k,PETSC_NULL,PETSC_NULL,&ffprima);CHKERRQ(ierr);
86
87
88
89     }
90     //Término independiente
91     b=b+sumsecondgrad;
92
93     ierr = VecSetValues(*vec_b,1,&i,&b,INSERT_VALUES);CHKERRQ(ierr);
94
95     ierr = MatRestoreRow(matriz_gradphivc,i,PETSC_NULL,PETSC_NULL,&gradphiactual);CHKERRQ(ierr);
96     ierr = MatRestoreRow(matriz_vecinos,i,PETSC_NULL,PETSC_NULL,&vvecinos);CHKERRQ(ierr);
97     ierr = MatRestoreRow(matriz_areas,i,PETSC_NULL,PETSC_NULL,&areas);CHKERRQ(ierr);
98     ierr = MatRestoreRow(matriz_vecpprima,i,PETSC_NULL,PETSC_NULL,&ppprima);CHKERRQ(ierr);
99     ierr = MatRestoreRow(matriz_difusivo,i,PETSC_NULL,PETSC_NULL,&Df);CHKERRQ(ierr);
100 }
101
102 ierr = VecRestoreArray(vec_difffront,&difb);CHKERRQ(ierr);
103 ierr = VecRestoreArray(vec_condf,&condf);CHKERRQ(ierr);
104 ierr = VecRestoreArray(vec_front,&valueb);CHKERRQ(ierr);
105 ierr = VecRestoreArray(vec_convfront,&convb);CHKERRQ(ierr);
106
107 ierr = VecAssemblyBegin(*vec_b);CHKERRQ(ierr);
108 ierr = VecAssemblyEnd(*vec_b);CHKERRQ(ierr);
109

```

```

110     return ierr;
111 }
112
113 /** CÁLCULO DE B PARA EL PROBLEMA DE DIFUSIÓN-CONVECCIÓN EN ESTADO TRANSITORIO (EXPLÍCITO) **/
114
115 PetscErrorCode termindep::calcular_bct(geom gm, frontera f, Mat matriz difusivo, Vec vec_diffront, Vec
vec_convecfront, Vec vec_soluant, Mat matriz_gradphivc, Vec *vec_b)
116 {
117     //Tomar los elementos geométricos de la clase geom
118     n_vc=gm.vc;
119     matriz_vecinos=gm.matriz_vecinos;
120     matriz_areas=gm.matriz_areas;
121     matriz_vecpf=gm.matriz_vecpf;
122     matriz_vecppprima=gm.matriz_vecppprima;
123     matriz_coord=gm.matriz_coord;
124
125     //Tomar los elementos de la clase frontera
126     vec_condf=f.vec_condf;
127     vec_front=f.vec_front;
128
129     /* ----- CALCULAR Y GUARDAR EL VECTOR DE TERMINOS INDEPENDIENTES -----*/
130
131     ierr = VecGetArray(vec_soluant, &phivc0);CHKERRQ(ierr);
132     ierr = VecGetArray(vec_diffront, &difb);CHKERRQ(ierr);
133     ierr = VecGetArray(vec_condf, &condf);CHKERRQ(ierr);
134     ierr = VecGetArray(vec_front, &valueb);CHKERRQ(ierr);
135     ierr = VecGetArray(vec_convecfront, &convb);CHKERRQ(ierr);
136
137     for (i=0; i<n_vc; i++)
138     {
139
140         ierr = MatGetRow(matriz_gradphivc, i, PETSC_NULL, PETSC_NULL, &gradphiactual);CHKERRQ(ierr);
141         ierr = MatGetRow(matriz_vecinos, i, PETSC_NULL, PETSC_NULL, &vecinos);CHKERRQ(ierr);
142         ierr = MatGetRow(matriz_areas, i, PETSC_NULL, PETSC_NULL, &areas);CHKERRQ(ierr);
143         ierr = MatGetRow(matriz_vecpf, i, PETSC_NULL, PETSC_NULL, &deltaxies);CHKERRQ(ierr);
144         ierr = MatGetRow(matriz_vecppprima, i, PETSC_NULL, PETSC_NULL, &ppprima);CHKERRQ(ierr);
145         ierr = MatGetRow(matriz_coord, i, PETSC_NULL, PETSC_NULL, &coord);CHKERRQ(ierr);
146
147         tem=0; tempor=1; b=0; secondgrad=0; sumsecondgrad=0;
148
149         for (j=0; j<3; j++)
150         {
151             k=vecinos[j];
152
153             if (k>n_vc)
154             {
155                 if (condf[i]==1) //Condición Dirichlet
156                 {
157                     //Gradiente secundario en la frontera
158                     secondgrad=-difb[i]*(gradphiactual[0]*ppprima[tem]+gradphiactual[1]*ppprima[tempor]);
159                     //Término independiente en la frontera
160                     b=b+secondgrad+difb[i]*(valueb[i]-phivc0[i])-convb[i]*(valueb[i]-phivc0[i]);
161                 }
162                 if (condf[i]==-1) //Condición Neumann
163                 {
164                     //Magnitud del área en la frontera
165                     areab=sqrt(pow(areas[tem], 2)+pow(areas[tempor], 2));
166                     //Término independiente en la frontera
167                     b=b+valueb[i]*areab;
168                 }
169             }
170
171             else
172             {
173                 ierr = MatGetRow(matriz_vecinos, k, PETSC_NULL, PETSC_NULL, &vvecinos);CHKERRQ(ierr);

```

```

171         else
172         {
173             ierr = MatGetRow(matriz_vecinos,k,PETSC_NULL,PETSC_NULL,&vvecinos);CHKERRQ(ierr);
174             for (ii=0;ii<3;ii++)
175             {
176                 if (i==vvecinos[ii])
177                 {
178                     ttemp=2*ii;
179                     ttempo=2*ii+1;
180                 }
181             }
182             ierr = MatRestoreRow(matriz_vecinos,k,PETSC_NULL,PETSC_NULL,&vvecinos);CHKERRQ(ierr);
183
184             ierr = MatGetRow(matriz_gradphivc,k,PETSC_NULL,PETSC_NULL,&gradphivecino);CHKERRQ(ierr);
185             ierr = MatGetRow(matriz_vecpprima,k,PETSC_NULL,PETSC_NULL,&ffprima);CHKERRQ(ierr);
186
187             //Gradiente secundario
188             secondgrad=Df[j]*((gradphivecino[0]*ffprima[ttemp]+gradphivecino[1]*ffprima[ttempo])-(
gradphiactual[0]*ppprima[tem]+gradphiactual[1]*ppprima[tempor]));
189             //Sumatoria del gradiente secundario
190             sumsecondgrad=sumsecondgrad+secondgrad;
191
192             tem=tem+2;
193             tempor=tempor+2;
194
195             ierr = MatRestoreRow(matriz_gradphivc,k,PETSC_NULL,PETSC_NULL,&gradphivecino);CHKERRQ(ierr);
196             ierr = MatRestoreRow(matriz_vecpprima,k,PETSC_NULL,PETSC_NULL,&ffprima);CHKERRQ(ierr);
197         }
198     }
199     //Término independiente
200     b=b-sumsecondgrad;
201
202     ierr = VecSetValues(vec_b,1,&i,&b,INSERT_VALUES);CHKERRQ(ierr);
203
204     ierr = MatRestoreRow(matriz_gradphivc,i,PETSC_NULL,PETSC_NULL,&gradphiactual);CHKERRQ(ierr);
205     ierr = MatRestoreRow(matriz_vecinos,i,PETSC_NULL,PETSC_NULL,&vecinos);CHKERRQ(ierr);
206     ierr = MatRestoreRow(matriz_areas,i,PETSC_NULL,PETSC_NULL,&areas);CHKERRQ(ierr);
207     ierr = MatRestoreRow(matriz_vecpf,i,PETSC_NULL,PETSC_NULL,&deltaxies);CHKERRQ(ierr);
208     ierr = MatRestoreRow(matriz_vecpprima,i,PETSC_NULL,PETSC_NULL,&ppprima);CHKERRQ(ierr);
209     ierr = MatRestoreRow(matriz_coord,i,PETSC_NULL,PETSC_NULL,&coord);CHKERRQ(ierr);
210 }
211
212
213
214 ierr = VecRestoreArray(vec_gamma,&gamma);CHKERRQ(ierr);
215 ierr = VecRestoreArray(vec_soluant,&phivc0);CHKERRQ(ierr);
216 ierr = VecRestoreArray(vec_difffront,&difb);CHKERRQ(ierr);
217 ierr = VecRestoreArray(vec_condf,&condf);CHKERRQ(ierr);
218 ierr = VecRestoreArray(vec_front,&valueb);CHKERRQ(ierr);
219 ierr = VecRestoreArray(vec_convecfront,&convb);CHKERRQ(ierr);
220
221 ierr = VecAssemblyBegin(*vec_b);CHKERRQ(ierr);
222 ierr = VecAssemblyEnd(*vec_b);CHKERRQ(ierr);
223
224
225 return ierr;
226 }
227
228 /** CÁLCULO DE B PARA EL PROBLEMA DE DIFUSIÓN-CONVECCIÓN EN ESTADO TRANSITORIO (IMPLÍCITO) **/
229
230 PetscErrorCode termindep::calcular_bci(geom gm,frontera f,Mat matriz_difusivo,Vec vec_difffront,Vec
vec_soluant,Mat matriz_gradphivc,Vec vec_ap0,Vec *vec_b)
231 {
232     //Tomar los elementos de la clase geom
233     n vc=b.vc;

```

```

233     n_vc=b.vc;
234     matriz_vecinos=gm.matriz_vecinos;
235     matriz_areas=gm.matriz_areas;
236     matriz_vecpf=gm.matriz_vecpf;
237     matriz_vecppprima=gm.matriz_vecppprima;
238     matriz_coord=gm.matriz_coord;
239
240     //Tomar los elementos de la clase frontera
241     vec_condf=f.vec_condf;
242     vec_front=f.vec_front;
243
244     /* ----- CÁLCULAR Y GUARDAR EL VECTOR DE TERMINOS INDEPENDIENTES -----*/
245
246     ierr = VecGetArray(vec_difffront,&difb);CHKERRQ(ierr);
247     ierr = VecGetArray(vec_gamma,&gamma);CHKERRQ(ierr);
248     ierr = VecGetArray(vec_condf,&condf);CHKERRQ(ierr);
249     ierr = VecGetArray(vec_front,&valueb);CHKERRQ(ierr);
250
251     for (i=0;i<n_vc;i++)
252     {
253
254         ierr = MatGetRow(matriz_gradphivc,i,PETSC_NULL,PETSC_NULL,&gradphiactual);CHKERRQ(ierr);
255         ierr = MatGetRow(matriz_vecinos,i,PETSC_NULL,PETSC_NULL,&vecinos);CHKERRQ(ierr);
256         ierr = MatGetRow(matriz_areas,i,PETSC_NULL,PETSC_NULL,&areas);CHKERRQ(ierr);
257         ierr = MatGetRow(matriz_vecpf,i,PETSC_NULL,PETSC_NULL,&deltaxies);CHKERRQ(ierr);
258         ierr = MatGetRow(matriz_vecppprima,i,PETSC_NULL,PETSC_NULL,&ppprima);CHKERRQ(ierr);
259         ierr = MatGetRow(matriz_coord,i,PETSC_NULL,PETSC_NULL,&coord);CHKERRQ(ierr);
260
261         tem=0;tempor=1;b=0;secondgrad=0;sumsecondgrad=0;
262
263         for (j=0;j<3;j++)
264         {
265             k=vecinos[j];
266
267             if (k>n_vc)
268             {
269                 if (condf[i]==1) //Frontera Dirichlet
270                 {
271                     //Gradiente secundario en la frontera
272                     secondgrad=-difb[i]*(gradphiactual[0]*ppprima[tem]+gradphiactual[1]*ppprima[tempor]);
273                     //Término independiente en la frontera
274                     b=b+secondgrad+difb[i]*valueb[i]-convb[i]*valueb[i];
275                 }
276                 if (condf[i]==-1) //Frontera Neumann
277                 {
278                     //Magnitud del área en la frontera
279                     areab=sqrt(pow(areas[tem],2)+pow(areas[tempor],2));
280                     //Término independiente en la frontera
281                     b=b+valueb[i]*areab;
282                 }
283             }
284             else
285             {
286                 ierr = MatGetRow(matriz_vecinos,k,PETSC_NULL,PETSC_NULL,&vvecinos);CHKERRQ(ierr);
287                 for (ii=0;ii<3;ii++)
288                 {
289                     if (i==vvecinos[ii])
290                     {
291                         ttemp=2*ii;
292                         ttempo=2*ii+1;
293                     }
294                 }
295                 ierr = MatRestoreRow(matriz_vecinos,k,PETSC_NULL,PETSC_NULL,&vvecinos);CHKERRQ(ierr);
296
297                 ierr = MatGetRow(matriz_gradphivc,k,PETSC_NULL,PETSC_NULL,&gradphivc);CHKERRQ(ierr);
298                 ierr = MatGetRow(matriz_vecppprima,k,PETSC_NULL,PETSC_NULL,&ffprima);CHKERRQ(ierr);

```

```

299
300 //Gradiente secundario
301 secondgrad=Df[j]*((gradphivecino[0]*ffprima[ttemp]+gradphivecino[1]*ffprima[ttemp])-(
gradphiactual[0]*ppprima[tem]+gradphiactual[1]*ppprima[tempor]));
302 //Sumatoria del gradiente secundario
303 sumsecondgrad=sumsecondgrad+secondgrad;
304
305 ierr = MatRestoreRow(matriz_gradphivc,k,PETSC_NULL,PETSC_NULL,&gradphivecino);CHKERRQ(ierr
);
306 ierr = MatRestoreRow(matriz_vecppprima,k,PETSC_NULL,PETSC_NULL,&ffprima);CHKERRQ(ierr);
307
308 tem=tem+2;
309 tempor=tempor+2;
310 }
311
312 }
313 //Termino independiente
314 b=b-sumsecondgrad+coef_ap0[i]*phip0[i];
315
316 ierr = VecSetValues(vec_b,1,&i,&b,INSERT_VALUES);CHKERRQ(ierr);
317
318 ierr = MatRestoreRow(matriz_gradphivc,i,PETSC_NULL,PETSC_NULL,&gradphiactual);CHKERRQ(ierr);
319 ierr = MatRestoreRow(matriz_vecinos,i,PETSC_NULL,PETSC_NULL,&vecinos);CHKERRQ(ierr);
320 ierr = MatRestoreRow(matriz_areas,i,PETSC_NULL,PETSC_NULL,&areas);CHKERRQ(ierr);
321 ierr = MatRestoreRow(matriz_vecpf,i,PETSC_NULL,PETSC_NULL,&deltaxies);CHKERRQ(ierr);
322 ierr = MatRestoreRow(matriz_vecppprima,i,PETSC_NULL,PETSC_NULL,&ppprima);CHKERRQ(ierr);
323 }
324
325
326 ierr = VecRestoreArray(vec_gamma,&gamma);CHKERRQ(ierr);
327 ierr = VecRestoreArray(vec_difffront,&difb);CHKERRQ(ierr);
328 ierr = VecRestoreArray(vec_condf,&condf);CHKERRQ(ierr);
329 ierr = VecRestoreArray(vec_front,&valueb);CHKERRQ(ierr);
330
331 ierr = VecAssemblyBegin(vec_b);CHKERRQ(ierr);
332 ierr = VecAssemblyEnd(vec_b);CHKERRQ(ierr);
333
334 return ierr;
335 }
336
337 /***** CÁLCULO DE B PARA LA ECUACIÓN DE MOMENTO *****/
338
339 PetscErrorCode termindep::calcular_bp(geom gm,frontera fp,Mat matriz_difusivo,Vec vec_difffront,Mat
matriz_gradp,Mat matriz_upf,Mat matriz_vpf,double densidad,double deltat,Vec *vec_b)
340 {
341 //Tomar los elementos de la clase geom
342 n_vc=gm.vc;
343 matriz_vecinos=gm.matriz_vecinos;
344 matriz_areas=gm.matriz_areas;
345 matriz_vecppprima=gm.matriz_vecppprima;
346
347 //Tomar los elementos de la clase frontera
348 vec_condf=fp.vec_condf;
349 vec_front=fp.vec_front;
350
351 ierr = VecGetArray(vec_difffront,&difb);CHKERRQ(ierr);
352 ierr = VecGetArray(vec_condf,&condf);CHKERRQ(ierr);
353 ierr = VecGetArray(vec_front,&valueb);CHKERRQ(ierr);
354
355 /* ----- CÁLCULAR Y GUARDAR EL VECTOR DE TERMINOS INDEPENDIENTES -----*/
356
357 for (i=0;i<n_vc;i++)
358 {
359 ierr = MatGetRow(matriz_gradp,i,PETSC_NULL,PETSC_NULL,&gradphiactual);CHKERRQ(ierr);
360 ierr = MatGetRow(matriz_vecinos,i,PETSC_NULL,PETSC_NULL,&vecinos);CHKERRQ(ierr);

```

```

361     ierr = MatGetRow(matriz_areas,i,PETSC_NULL,PETSC_NULL,&areas);CHKERRQ(ierr);
362     ierr = MatGetRow(matriz_vecppprima,i,PETSC_NULL,PETSC_NULL,&ppprima);CHKERRQ(ierr);
363     ierr = MatGetRow(matriz_difusivo,i,PETSC_NULL,PETSC_NULL,&Df);CHKERRQ(ierr);
364     ierr = MatGetRow(matriz_upf,i,PETSC_NULL,PETSC_NULL,&upf);CHKERRQ(ierr);
365     ierr = MatGetRow(matriz_vpf,i,PETSC_NULL,PETSC_NULL,&vpf);CHKERRQ(ierr);
366
367     tem=0;tempor=1;b=0;secondgrad=0;sumsecondgrad=0;sumtermp=0.0;
368
369     for (j=0;j<3;j++)
370     {
371         k=vecinos[j];
372
373         if (k>n_vc)
374         {
375             if (condf[i]==1) //Condición Dirichlet
376             {
377                 //Gradiente secundario en la frontera
378                 secondgrad=-difb[i]*(gradphiactual[0]*ppprima[tem]+gradphiactual[1]*ppprima[tempor]);
379                 //Termino independiente en la frontera
380                 b=b+secondgrad-difb[i]*valueb[i];
381             }
382             if (condf[i]==-1) //Condición Newman
383             {
384                 //Magnitud del área de la frontera
385                 areab=sqrt(pow(areas[tem],2)+pow(areas[tempor],2));
386                 //Termino independiente en la frontera
387                 b=b-valueb[i]*areab;
388             }
389             else
390             {
391                 ierr = MatGetRow(matriz_vecinos,k,PETSC_NULL,PETSC_NULL,&vvecinos);CHKERRQ(ierr);
392                 for (ii=0;ii<3;ii++)
393                 {
394                     if (i==vvecinos[ii])
395                     {
396                         ttemp=2*ii;
397                         ttempo=2*ii+1;
398                     }
399                 }
400                 ierr = MatRestoreRow(matriz_vecinos,k,PETSC_NULL,PETSC_NULL,&vvecinos);CHKERRQ(ierr);
401
402                 ierr = MatGetRow(matriz_gradp,k,PETSC_NULL,PETSC_NULL,&gradphivecino);CHKERRQ(ierr);
403                 ierr = MatGetRow(matriz_vecppprima,k,PETSC_NULL,PETSC_NULL,&ffprima);CHKERRQ(ierr);
404
405                 //Gradiente secundario
406                 secondgrad=Df[j]*((gradphivecino[0]*ffprima[ttemp]+gradphivecino[1]*ffprima[ttempo])-(
gradphiactual[0]*ppprima[tem]+gradphiactual[1]*ppprima[tempor]));
407                 //Sumatoria del gradiente secundario
408                 sumsecondgrad=sumsecondgrad+secondgrad;
409
410                 ierr = MatRestoreRow(matriz_gradp,k,PETSC_NULL,PETSC_NULL,&gradphivecino);CHKERRQ(ierr);
411                 ierr = MatRestoreRow(matriz_vecppprima,k,PETSC_NULL,PETSC_NULL,&ffprima);CHKERRQ(ierr);
412             }
413             //Sumatoria de la divergencia la velocidad predictor
414             sumtermp=sumtermp+upf[j]*areas[tem]+vpf[j]*areas[tempor];
415
416             tem=tem+2;
417             tempor=tempor+2;
418         }
419         //Término independiente
420         b=b-sumsecondgrad+sumtermp*densidad/deltat;
421
422         ierr = VecSetValues(*vec_b,1,&i,&b,INSERT_VALUES);CHKERRQ(ierr);
423
424         ierr = MatRestoreRow(matriz_gradp,i,PETSC_NULL,PETSC_NULL,&gradphiactual);CHKERRQ(ierr);

```

```

425     ierr = MatRestoreRow(matriz_vecinos,i,PETSC_NULL,PETSC_NULL,&vecinos);CHKERRQ(ierr);
426     ierr = MatRestoreRow(matriz_areas,i,PETSC_NULL,PETSC_NULL,&areas);CHKERRQ(ierr);
427     ierr = MatRestoreRow(matriz_vecpprima,i,PETSC_NULL,PETSC_NULL,&pprima);CHKERRQ(ierr);
428     ierr = MatRestoreRow(matriz_difusivo,i,PETSC_NULL,PETSC_NULL,&df);CHKERRQ(ierr);
429     ierr = MatRestoreRow(matriz_upf,i,PETSC_NULL,PETSC_NULL,&upf);CHKERRQ(ierr);
430     ierr = MatRestoreRow(matriz_vpf,i,PETSC_NULL,PETSC_NULL,&vpf);CHKERRQ(ierr);
431 }
432
433     ierr = VecGetArray(vec_difffront,&difb);CHKERRQ(ierr);
434     ierr = VecGetArray(vec_condf,&condf);CHKERRQ(ierr);
435     ierr = VecGetArray(vec_front,&valueb);CHKERRQ(ierr);
436
437     ierr = VecAssemblyBegin(*vec_b);CHKERRQ(ierr);
438     ierr = VecAssemblyEnd(*vec_b);CHKERRQ(ierr);
439
440     return ierr;
441 }

```

14. ARCHIVO DE ENCABEZADO DE LA CLASE RESULTADOS

```

1 //ARCHIVO DE ENCABEZADO DE LA CLASE RESULTADOS: resultados.h
2
3 #ifndef _RESULTADOS_H_
4 #define _RESULTADOS_H_
5
6 class resultados
7 {
8     private:
9         PetscErrorCode ierr; //Variable de error de Petsc
10        int i; //Contadores
11
12        //Elementos geométricos
13        double vertices,n_vc;
14        Mat matriz_n;
15        const PetscScalar *vert;
16        Mat matriz_vc;
17        const PetscScalar *vc;
18
19        //Variables para tomar los valores de las soluciones
20        PetscScalar *sol;
21        PetscScalar *solu;
22        PetscScalar *solv;
23        PetscScalar *solp;
24
25        public:
26
27        //Funciones
28        PetscErrorCode imprimir(geom gm,Vec vec_solucionu,Vec vec_solucionv,Vec vec_solucionp);
29 };
30
31 #endif // _RESULTADOS_H_

```

15. ARCHIVO DE CÓDIGO FUENTE DE LA CLASE RESULTADOS

```

1 //ARCHIVO DE CÓDIGO FUENTE DE LA CLASE RESULTADOS: resultados.cpp
2
3 #include <petsc.h>
4 #include <fstream>
5 #include <cmath>
6 #include "geom.h"

```

```

7
8 /***** FUNCIÓN IMPRIMIR LA SOLUCIÓN DEL PROBLEMA EN UN ARCHIVO DE TEXTO *****/
9
10 PetscErrorCode resultados::imprimir(geom gm,Vec vec_solucionu,Vec vec_solucionv,Vec vec_solucionp)
11 {
12     //Tomar los elementos geométricos de la clase geom
13     vertices=gm.vertices;
14     n_vc=gm.vc;
15     matriz_n=gm.matriz_n;
16     matriz_vc=gm.matriz_vc;
17
18     char nombre[100]="resultado.vtk";
19
20     //Estructura del archivo .vtk
21     std::ofstream f(nombre);
22
23     f << "# vtk DataFile Version 3.0" << std::endl;
24     f << "vtk output" << std::endl;
25     f << "ASCII" << std::endl;
26     f << "DATASET UNSTRUCTURED_GRID" << std::endl;
27     f << "POINTS " << vertices << " float" << std::endl;
28
29     for (i=1; i<vertices+1; i++)
30     {
31         ierr = MatGetRow(matriz_n,i,PETSC_NULL,PETSC_NULL,&vert);CHKERRQ(ierr);
32         f << vert[0] << " " << vert[1] << " " << 0 << std::endl;
33         ierr = MatRestoreRow(matriz_n,i,PETSC_NULL,PETSC_NULL,&vert);CHKERRQ(ierr);
34     }
35
36     f << std::endl << "CELLS " << n_vc << " " << n_vc*4 << std::endl;
37
38     for (i=0; i<n_vc; i++)
39     {
40         ierr = MatGetRow(matriz_vc,i,PETSC_NULL,PETSC_NULL,&vc);CHKERRQ(ierr);
41         f << "3 " << vc[0]-1 << " " << vc[1]-1 << " " << vc[2]-1 << std::endl;
42         ierr = MatRestoreRow(matriz_vc,i,PETSC_NULL,PETSC_NULL,&vc);CHKERRQ(ierr);
43     }
44
45     f << std::endl << "CELL_TYPES " << n_vc << std::endl;
46
47     for (i=0; i<n_vc; i++)
48     {
49         f << "5" << std::endl;
50     }
51
52     //Solución vectorial
53     f << std::endl << "CELL_DATA " << n_vc << std::endl;
54     f << "VECTORS cell_velocity double" << std::endl;
55
56     ierr = VecGetArray(vec_solucionu,&solu);CHKERRQ(ierr);
57     ierr = VecGetArray(vec_solucionv,&solv);CHKERRQ(ierr);
58     for (i=0; i<n_vc; i++)
59     {
60         f << solu[i] << " " << solv[i] << " 0" << std::endl;
61     }
62     ierr = VecRestoreArray(vec_solucionu,&solu);CHKERRQ(ierr);
63     ierr = VecRestoreArray(vec_solucionv,&solv);CHKERRQ(ierr);
64
65     //Solución escalar
66     f << std::endl << "SCALARS cell_scalars double 1" << std::endl;
67     f << "LOOKUP_TABLE default" << std::endl;
68
69     ierr = VecGetArray(vec_solucionp,&solp);CHKERRQ(ierr);
70     for (i=0; i<n_vc; i++)
71     {
72         f << solp[i] << std::endl;

```

```

73     }
74     ierr = VecRestoreArray(vec_solucionp, &solp); CHKERRQ(ierr);
75
76     f.close();
77
78     return ierr;
79

```

16. ARCHIVO DE ENCABEZADO DE LA CLASE SOLESTABLE

```

1  //ARCHIVO DE ENCABEZADO DE LA CLASE SOLUCION ESTABLE: solestable.h
2
3  #ifndef _SOLESTABLE_H_
4  #define _SOLESTABLE_H_
5
6  class solestable
7  {
8      private:
9
10         PetscErrorCode ierr; //Variable de error de Petsc
11         int i, j, k, ii; //Contadores
12         int tem, tempor, tempora, ttemp, ttempo; //Variables de uso temporal
13         double temconst
14
15         //Variables para establecer las columnas
16         PetscInt *cols;
17         PetscInt colcoef[4]; poral;
18
19         //Elementos geométricos
20         int n_vc;
21         Vec vec_volumen;
22         PetscScalar *volumenvc;
23         Mat matriz_areas;
24         const PetscScalar *areas;
25         Mat matriz alfaf;
26
27         const PetscScalar *alfaf;
28         Mat matriz_deltaxie;
29         const PetscScalar *deltaxies;
30         Mat matriz_vecppprima;
31         const PetscScalar *ppprima;
32         const PetscScalar *ffprima;
33         Mat matriz_vecinos;
34         const PetscScalar *vecinos;
35         const PetscScalar *vvecinos;
36         Mat matriz_coord;
37         const PetscScalar *coord;
38
39         //Elementos frontera
40         Vec vec_front;
41         PetscScalar *valueb;
42         Vec vec_condf;
43         PetscScalar *condf;
44
45         //Objeto de la clase difusivo
46         difusivo df;
47         //Variables para calcular y usar la matriz de términos difusivos
48         Mat matriz_difusivo;
49         const PetscScalar *Df;
50         //Variables para calcular y usar el vector de términos difusivos en las fronteras
51         Vec vec_difffront;
52         PetscScalar *difb;

```

```

52
53     //Objeto de la clase convectivo
54     convectivo cv;
55     //Variables para calcular y usar la matriz de términos convectivos
56     Mat matriz_convectivo;
57     const PetscScalar *Ff;
58     //Variables para calcular y usar el vector de términos convectivos en las fronteras
59     Vec vec_convectfront;
60     PetscScalar *convb;
61
62     //Objeto de la clase gradiente
63     gradiente grad;
64     //Variables para calcular la matriz de gradientes
65     Mat matriz_gradphivc;
66
67     //Objeto de la clase termindep
68     termindep ib;
69     //Variables para calcular el vector de términos independientes
70     Vec vec_b;
71
72     //Objeto de la clase resultados
73     resultados rta;
74
75     //Vector solucion actual
76     Vec vec_solucion;
77     PetscScalar *phivc0;
78     //Vector solucion de la iteracion anterior
79     Vec vec_soluant;
80     PetscScalar *phivc;
81     //Matriz de coeficientes
82     Mat matriz_coef;
83     const PetscScalar *coeficiente;
84     //Entorno KSP
85     KSP ksp;
86     PC pc;
87
88     //Variables de cálculo
89     PetscScalar value[4];
90     PetscScalar phi0;
91     int error,niter;
92
93     public:
94
95     //Funciones
96     PetscErrorCode calcular_Se(double densidad,double gamma,geom b,frontera f)
97
98     };
99
100 #endif // _SOLUCION_H_

```

17. ARCHIVO DE CÓDIGO FUENTE DE LA CLASE SOLESTABLE

```

1 //ARCHIVO DE CÓDIGO FUENTE DE LA CLASE SOLUCIÓN ESTABLE: solestable.cpp
2
3 #include <petsc.h>
4 #include <cmath>
5 #include "geom.h"
6 #include "resultados.h"
7 #include "frontera.h"
8 #include "gradiente.h"
9 #include "difusivo.h"

```

```

10 #include "convectivo.h"
11 #include "termindep.h"
12
13 PetscErrorCode solestable::calcular_Se(double densidad,double gamma,geom gm,fontera f)
14 {
15     //Tomar los elementos de la clase geom
16     n_vc=gm.vc;
17     vec_volumen=gm.vec_volumen;
18     matriz_areas=gm.matriz_areas;
19     matriz_alfaf=gm.matriz_alfaf;
20     matriz_vecpf=gm.matriz_vecpf;
21     matriz_vecpprima=gm.matriz_vecpprima;
22     matriz_vecinos=gm.matriz_vecinos;
23     matriz_coord=gm.matriz_coord;
24
25     //Tomar los elementos de la clase fontera
26     vec_font=f.vec_font;
27     vec_condf=f.vec_condf;
28
29     /* ----- INICIALIZACIÓN DE VARIABLES ----- */
30
31     PetscInt col[n_vc];
32     for (i=0;i<n_vc;i++)
33     {
34         col[i]=i;
35     }
36
37     //Matriz de terminos difusivos
38     ierr = MatCreate(PETSC_COMM_WORLD,&matriz_difusivo);CHKERRQ(ierr);
39     ierr = MatSetSizes(matriz_difusivo,PETSC_DECIDE,PETSC_DECIDE,n_vc,n_vc);CHKERRQ(ierr);
40     ierr = MatSetFromOptions(matriz_difusivo);CHKERRQ(ierr);
41     ierr = MatSetUp(matriz_difusivo);CHKERRQ(ierr);
42
43     //Vector de terminos difusivos en las fronteras
44     ierr = VecCreate(PETSC_COMM_WORLD,&vec_difffront);CHKERRQ(ierr);
45     ierr = VecSetSizes(vec_difffront,PETSC_DECIDE,n_vc);CHKERRQ(ierr);
46     ierr = VecSetFromOptions(vec_difffront);CHKERRQ(ierr);
47
48     //Matriz de terminos convectivos
49     ierr = MatCreate(PETSC_COMM_WORLD,&matriz_convectivo);CHKERRQ(ierr);
50     ierr = MatSetSizes(matriz_convectivo,PETSC_DECIDE,PETSC_DECIDE,n_vc,n_vc);CHKERRQ(ierr);
51     ierr = MatSetFromOptions(matriz_convectivo);CHKERRQ(ierr);
52     ierr = MatSetUp(matriz_convectivo);CHKERRQ(ierr);
53
54     //Vector de terminos convectivos en las frontera
55     ierr = VecCreate(PETSC_COMM_WORLD,&vec_convecfront);CHKERRQ(ierr);
56     ierr = VecSetSizes(vec_convecfront,PETSC_DECIDE,n_vc);CHKERRQ(ierr);
57     ierr = VecSetFromOptions(vec_convecfront);CHKERRQ(ierr);
58
59     //Matriz de coeficientes
60     ierr = MatCreate(PETSC_COMM_WORLD,&matriz_coef);CHKERRQ(ierr);
61     ierr = MatSetSizes(matriz_coef,PETSC_DECIDE,PETSC_DECIDE,n_vc,n_vc);CHKERRQ(ierr);
62     ierr = MatSetfomOptions(matriz_coef);CHKERRQ(ierr);
63     ierr = MatSetUp(matriz_coef);CHKERRQ(ierr);
64
65     //Matriz del gradiente de phi
66     ierr = MatCreate(PETSC_COMM_WORLD,&matriz_gradphivc);CHKERRQ(ierr);
67     ierr = MatSetSizes(matriz_gradphivc,PETSC_DECIDE,PETSC_DECIDE,n_vc,2);CHKERRQ(ierr);
68     ierr = MatSetFromOptions(matriz_gradphivc);CHKERRQ(ierr);
69     ierr = MatSetUp(matriz_gradphivc);CHKERRQ(ierr);
70
71     //Vector de terminos independientes
72     ierr = VecCreate(PETSC_COMM_WORLD,&vec_b);CHKERRQ(ierr);
73     ierr = VecSetSizes(vec_b,PETSC_DECIDE,n_vc);CHKERRQ(ierr);
74     ierr = VecSetFromOptions(vec_b);CHKERRQ(ierr);
75
76     //Vector solucion

```

```

77     ierr = VecCreate(PETSC_COMM_WORLD,&vec_solucion);CHKERRQ(ierr);
78     ierr = VecSetSizes(vec_solucion,PETSC_DECIDE,n_vc);CHKERRQ(ierr);
79     ierr = VecSetfomOptions(vec_solucion);CHKERRQ(ierr);
80
81     //Vector solucion de la iteracion anterior
82     ierr = VecCreate(PETSC_COMM_WORLD,&vec_soluant);CHKERRQ(ierr);
83     ierr = VecSetSizes(vec_soluant,PETSC_DECIDE,n_vc);CHKERRQ(ierr);
84     ierr = VecSetfomOptions(vec_soluant);CHKERRQ(ierr);
85     ierr = VecSet(vec_soluant,100);CHKERRQ(ierr);
86     ierr = VecAssemblyBegin(vec_soluant);CHKERRQ(ierr);
87     ierr = VecAssemblyEnd(vec_soluant);CHKERRQ(ierr);
88
89     /*----- CÁLCULO DE TÉRMINOS DIFUSIVOS -----*/
90
91     df.calcular_D(gamma,b,Mat *matriz_difusivo,Vec *vec_diffont);
92
93     /*----- CÁLCULO DE TÉRMINOS CONVECTIVOS -----*/
94
95     cv.calcular_F(densidad,b,Mat *matriz_convectivo,Vec *vec_convecfront);
96
97     /*----- CREAR LA MATRIZ DE COEFICIENTES -----*/
98
99     ierr = VecGetArray(vec_diffont,&difb);CHKERRQ(ierr);
100    ierr = VecGetArray(vec_convecfront,&convb);CHKERRQ(ierr);
101
102    for (i=0;i<n_vc;i++)
103    {
104        ierr = MatGetRow(matriz_difusivo,i,PETSC_NULL,&cols,&Df);CHKERRQ(ierr);
105        ierr = MatGetRow(matriz_convectivo,i,PETSC_NULL,PETSC_NULL,&Ff);CHKERRQ(ierr);
106        ierr = MatGetRow(matriz_vecinos,i,PETSC_NULL,PETSC_NULL,&vecinos);CHKERRQ(ierr);
107
108        colcoef[0]=i;colcoef[1]=cols[0];colcoef[2]=cols[1];colcoef[3]=cols[2];
109
110        if(vecinos[2]>n_vc)
111        {
112            value[1]=Df[0]-MAX(Ff[0],0);
113            value[2]=Df[1]-MAX(Ff[1],0);
114            if(condf[i]==1)
115            {value[0]=-(value[1]+value[2]+difb[i]-convb[i]);}
116            if(condf[i]==-1)
117            {value[0]=-(value[1]+value[2]-convb[i]);}
118
119            ierr = MatSetValues(matriz_coef,1,&i,3,colcoef,value,INSERT_VALUES);CHKERRQ(ierr);
120        }
121        else
122        {
123            value[1]=Df[0]-MAX(Ff[0],0);
124            value[2]=Df[1]-MAX(Ff[1],0);
125            value[3]=Df[2]-MAX(Ff[2],0);
126            value[0]=-(value[1]+value[2]+value[3]);
127        }
128
129
130        ierr = MatRestoreRow(matriz_difusivo,i,PETSC_NULL,&cols,&Df);CHKERRQ(ierr);
131        ierr = MatRestoreRow(matriz_convectivo,i,PETSC_NULL,PETSC_NULL,&Ff);CHKERRQ(ierr);
132        ierr = MatRestoreRow(matriz_vecinos,i,PETSC_NULL,PETSC_NULL,&vecinos);CHKERRQ(ierr);
133    }
134    ierr = VecRestoreArray(vec_diffont,&difb);CHKERRQ(ierr);
135    ierr = VecRestoreArray(vec_convecfront,&convb);CHKERRQ(ierr);
136
137    ierr = MatAssemblyBegin(matriz_coef,MAT_FINAL_ASSEMBLY);CHKERRQ(ierr);
138    ierr = MatAssemblyEnd(matriz_coef,MAT_FINAL_ASSEMBLY);CHKERRQ(ierr);
139
140
141    /*----- ITERACIONES PARA CALCULAR LA SOLUCIÓN -----*/
142
143    //Entorno del solver

```

```

144     KSPCreate(PETSC_COMM_WORLD,&ksp);
145     KSPSetOperators(ksp,matriz_coef,matriz_coef,DIFFERENT_NONZERO_PATTERN);
146     KSPSetType(ksp,KSPGMRES);
147     KSPGetPC(ksp,&pc);
148     PCSetType(pc,PCGAMG);
149     KSPSetfomOptions(ksp);
150     KSPSetUp(ksp);
151     niter=0;
152     error=1;
153
154     while (error>1*10e-6 && niter<30)
155     {
156         //Calcular el vector de términos independientes con los valores de phi de la iteración anterior
157         grad.calcular_grad(b,f,vec_soluant,&matriz_gradphivc);
158         ib.calcular_bc(b,f,df,cv,vec_soluant,matriz_gradphivc,&vec_b);
159
160         //Calcular el vector solución
161         KSPSolve(ksp,vec_b,vec_solucion);
162
163         ierr = VecGetArray(vec_solucion,&phivc);CHKERRQ(ierr);
164         ierr = VecGetArray(vec_soluant,&phivc0);CHKERRQ(ierr);
165
166         //Calcular el error entre el vector calculado y el vector de la iteración anterior
167         error=0;
168         for (i=0;i<n_vc;i++)
169         {
170             temporal=sqrt(pow(phivc[i]-phivc0[i],2));
171             error=MAX(error,temporal);
172         }
173         //Asignar los valores del vector calculado al vector de la solución anterior
174         for (i=0;i<n_vc;i++)
175         {
176             phi0=phivc[i];
177             ierr = VecSetValues(vec_soluant,1,&i,&phi0,INSERT_VALUES);CHKERRQ(ierr);
178         }
179
180         ierr = VecAssemblyBegin(vec_soluant);CHKERRQ(ierr);
181         ierr = VecAssemblyEnd(vec_soluant);CHKERRQ(ierr);
182         niter++;
183     }
184
185     //Exportar los resultados
186     rta.imprimir(gm,vec_solucion);
187
188     return ierr;
189 }
190
191
192

```

18. ARCHIVO DE ENCABEZADO DE LA CLASE SOLEXPÍCITO

```

1 //ARCHIVO DE ENCABEZADO DE LA CLASE SOLUCION TRANSITORIA (EXPLÍCITO): solexplicito.h
2 #ifndef _SOLEXPlicito_H_
3 #define _SOLEXPlicito_H_
4
5 class solexplicito
6 {
7     private:
8
9         PetscErrorCode ierr;           //Variable de error de Petsc
10        int i,j,k,ii;                   //Contadores

```

```

10     int i,j,k,ii; //Contadores
11     int tem,temp,tempor,tempora,ttemp,ttempo;
12     double temconst,temporal; //Variables temporales
13
14     //Variables para establecer las columnas
15     const PetscInt *cols;
16     PetscInt colcoef[4];
17
18     //Elementos geométricos
19     int n_vc;
20     Vec vec_volumen;
21     PetscScalar *volumenvc;
22     Mat matriz_areas;
23     const PetscScalar *areas;
24     Mat matriz_alfaf;
25     const PetscScalar *alfaf;
26     Mat matriz_deltaxie;
27     const PetscScalar *deltaxies;
28     Mat matriz_vecppprima;
29     const PetscScalar *ppprima;
30     const PetscScalar *ffprima;
31     Mat matriz_vecinos;
32     const PetscScalar *vecinos;
33     const PetscScalar *vvecinos;
34     Mat matriz_coord;
35     const PetscScalar *coord;
36
37     //Elementos de frontera
38     Vec vec_front;
39     PetscScalar *valueb;
40     Vec vec_condf;
41     PetscScalar *condf;
42
43     //Objeto de la clase difusivo
44     difusivo df;
45     //Variables para calcular y usar la matriz de términos difusivos
46     Mat matriz_difusivo;
47     const PetscScalar *Df;
48     //Variables para calcular y usar el vector de términos difusivos en las fronteras
49     Vec vec_difffront;
50     PetscScalar *difb;
51     //Objeto de la clase convectivo
52     convectivo cv;
53     //Variables para calcular y usar la matriz de términos convectivos
54     Mat matriz_convectivo;
55     const PetscScalar *Pf;
56     //Variables para calcular y usar el vector de términos convectivos en las fronteras
57     Vec vec_convecfront;
58     PetscScalar *convb;
59     //Objeto de la clase gradiente
60     gradiente grad;
61     Mat matriz_gradphivc;
62     //Objeto de la clase termindep
63     termindep ib;
64     //Variables para calcular el vector de terminos independientes
65     Vec vec_b;
66     //Variable para imprimir los resultados en archivo .vtk
67     resultados rta;
68
69
70     //Vector de coeficientes ap0
71     Vec vec_ap0;
72     PetscScalar ap_0;
73     PetscScalar *ap0;
74     PetscScalar *independ;
75
76     //Matriz de coeficientes

```

```

77     Mat matriz_coef;
78     const PetscScalar *coef;
79     PetscScalar phip;
80     PetscScalar *termb;
81
82     //Vector de phi en el tiempo anterior
83     Vec vec_phi0;
84     PetscScalar *phip0;
85     PetscScalar *phivcnu;
86     PetscScalar *phivcnu;
87
88     //Vector solucion actual
89     Vec vec_solucion;
90     PetscScalar *phivc0;
91
92     //Variables de cálculo
93     PetscScalar value[4];
94     PetscScalar phi0,phi;
95     double error,niter;
96     double timestep;
97
98     public:
99
100    //Funciones
101    PetscErrorCode calcular Sti (geom gm,frontera fr,double densidad,double conductividad,double tiempo,
double *velocidad);
102
103 };
104
105 #endif // _SOLTRANSITORIA_H_

```

19. ARCHIVO DE CÓDIGO FUENTE DE LA CLASE SOLEXPlicito

```

1 //ARCHIVO DE CÓDIGO FUENTE DE LA CLASE SOLUCIÓN TRANSITORIA (EXPLICITO): solexplicito.cpp
2
3 #include <petsc.h>
4 #include <cmath>
5 #include "geom.h"
6 #include "resultados.h"
7 #include "frontera.h"
8 #include "gradiente.h"
9 #include "difusivo.h"
10 #include "convectivo.h"
11 #include "termindep.h"
12
13 PetscErrorCode solucion::calcular_Ste(double densidad,double gamma,geom gm,frontera f)
14 {
15     //Tomar los elementos de la clase geom
16     n_vc=gm.vc;
17     vec_volumen=gm.vec_volumen;
18     matriz_areas=gm.matriz_areas;
19     matriz_alfaf=gm.matriz_alfaf;
20     matriz_vecppprima=gm.matriz_vecppprima;
21     matriz_vecinos=gm.matriz_vecinos;
22     matriz_coord=gm.matriz_coord;
23     //Tomar los elementos de la clase frontera
24     vec_front=f.vec_front;
25     vec_condf=f.vec_condf;
26
27     /* ----- INICIALIZACIÓN DE VARIABLES ----- */
28
29     PetscInt col[n_vc];
30     PetscScalar val[n_vc];

```

```

30 PetscScalar val[n_vc];
31 for (i=0;i<n_vc;i++)
32 {
33     col[i]=i;
34     val[i]=0;
35 }
36
37 //Matriz de terminos difusivos
38 ierr = MatCreate(PETSC_COMM_WORLD,&matriz_difusivo);CHKERRQ(ierr);
39 ierr = MatSetSizes(matriz_difusivo,PETSC_DECIDE,PETSC_DECIDE,n_vc,n_vc);CHKERRQ(ierr);
40 ierr = MatSetFromOptions(matriz_difusivo);CHKERRQ(ierr);
41 ierr = MatSetUp(matriz_difusivo);CHKERRQ(ierr);
42
43 //Vector de terminos difusivos en las fronteras
44 ierr = VecCreate(PETSC_COMM_WORLD,&vec_difffront);CHKERRQ(ierr);
45 ierr = VecSetSizes(vec_difffront,PETSC_DECIDE,n_vc);CHKERRQ(ierr);
46 ierr = VecSetFromOptions(vec_difffront);CHKERRQ(ierr);
47
48 //Matriz de terminos convectivos
49 ierr = MatCreate(PETSC_COMM_WORLD,&matriz_convectivo);CHKERRQ(ierr);
50 ierr = MatSetSizes(matriz_convectivo,PETSC_DECIDE,PETSC_DECIDE,n_vc,n_vc);CHKERRQ(ierr);
51 ierr = MatSetFromOptions(matriz_convectivo);CHKERRQ(ierr);
52 ierr = MatSetUp(matriz_convectivo);CHKERRQ(ierr);
53
54 //Vector de terminos convectivos en las frontera
55 ierr = VecCreate(PETSC_COMM_WORLD,&vec_convecfront);CHKERRQ(ierr);
56 ierr = VecSetSizes(vec_convecfront,PETSC_DECIDE,n_vc);CHKERRQ(ierr);
57 ierr = VecSetFromOptions(vec_convecfront);CHKERRQ(ierr);
58
59 //Matriz de coeficientes
60 ierr = MatCreate(PETSC_COMM_WORLD,&matriz_coef);CHKERRQ(ierr);
61 ierr = MatSetSizes(matriz_coef,PETSC_DECIDE,PETSC_DECIDE,n_vc,n_vc);CHKERRQ(ierr);
62 ierr = MatSetFromOptions(matriz_coef);CHKERRQ(ierr);
63 ierr = MatSetUp(matriz_coef);CHKERRQ(ierr);
64
65 //Matriz del gradiente de phi
66 ierr = MatCreate(PETSC_COMM_WORLD,&matriz_gradphivc);CHKERRQ(ierr);
67 ierr = MatSetSizes(matriz_gradphivc,PETSC_DECIDE,PETSC_DECIDE,n_vc,2);CHKERRQ(ierr);
68 ierr = MatSetFromOptions(matriz_gradphivc);CHKERRQ(ierr);
69 ierr = MatSetUp(matriz_gradphivc);CHKERRQ(ierr);
70
71 //Vector de terminos independientes
72 ierr = VecCreate(PETSC_COMM_WORLD,&vec_b);CHKERRQ(ierr);
73 ierr = VecSetSizes(vec_b,PETSC_DECIDE,n_vc);CHKERRQ(ierr);
74 ierr = VecSetFromOptions(vec_b);CHKERRQ(ierr);
75
76 //Vector solucion
77 ierr = VecCreate(PETSC_COMM_WORLD,&vec_solucion);CHKERRQ(ierr);
78 ierr = VecSetSizes(vec_solucion,PETSC_DECIDE,n_vc);CHKERRQ(ierr);
79 ierr = VecSetFromOptions(vec_solucion);CHKERRQ(ierr);
80
81 //Vector solucion de la iteracion anterior
82 ierr = VecCreate(PETSC_COMM_WORLD,&vec_soluant);CHKERRQ(ierr);
83 ierr = VecSetSizes(vec_soluant,PETSC_DECIDE,n_vc);CHKERRQ(ierr);
84 ierr = VecSetFromOptions(vec_soluant);CHKERRQ(ierr);
85 ierr = VecSet(vec_soluant,0);CHKERRQ(ierr);
86 ierr = VecAssemblyBegin(vec_soluant);CHKERRQ(ierr);
87 ierr = VecAssemblyEnd(vec_soluant);CHKERRQ(ierr);
88
89 //Vector solucion del tiempo anterior
90 ierr = VecCreate(PETSC_COMM_WORLD,&vec_phi0);CHKERRQ(ierr);
91 ierr = VecSetSizes(vec_phi0,PETSC_DECIDE,n_vc);CHKERRQ(ierr);

```

```

92     ierr = VecSetFromOptions(vec_phi0);CHKERRQ(ierr);
93     ierr = VecSet(vec_phi0,0);CHKERRQ(ierr);
94     ierr = VecAssemblyBegin(vec_phi0);CHKERRQ(ierr);
95     ierr = VecAssemblyEnd(vec_phi0);CHKERRQ(ierr);
96
97     //Vector de velocidades u
98     ierr = VecCreate(PETSC_COMM_WORLD,&vec_u);CHKERRQ(ierr);
99     ierr = VecSetSizes(vec_u,PETSC_DECIDE,n_vc);CHKERRQ(ierr);
100    ierr = VecSetFromOptions(vec_u);CHKERRQ(ierr);
101
102    //Vector de velocidades v
103    ierr = VecCreate(PETSC_COMM_WORLD,&vec_v);CHKERRQ(ierr);
104    ierr = VecSetSizes(vec_v,PETSC_DECIDE,n_vc);CHKERRQ(ierr);
105    ierr = VecSetFromOptions(vec_v);CHKERRQ(ierr);
106
107    //Vector de coeficientes ap0
108    ierr = VecCreate(PETSC_COMM_WORLD,&vec_ap0);CHKERRQ(ierr);
109    ierr = VecSetSizes(vec_ap0,PETSC_DECIDE,n_vc);CHKERRQ(ierr);
110    ierr = VecSetFromOptions(vec_ap0);CHKERRQ(ierr);
111
112    //Cálculo de la velocidad para el problema Smith-Hutton
113    for (i=0;i<n_vc;i++)
114    {
115        ierr = MatGetRow(matriz_coord,i,PETSC_NULL,PETSC_NULL,&coord);CHKERRQ(ierr);
116
117        u=2*coord[1]*(1-coord[0]*coord[0]);
118
119
120        ierr = MatRestoreRow(matriz_coord,i,PETSC_NULL,PETSC_NULL,&coord);CHKERRQ(ierr);
121        ierr = VecSetValues(vec_u,1,&i,&u,INSERT_VALUES);CHKERRQ(ierr);
122        ierr = VecSetValues(vec_v,1,&i,&v,INSERT_VALUES);CHKERRQ(ierr);
123    }
124    ierr = VecAssemblyBegin(vec_u);CHKERRQ(ierr);
125    ierr = VecAssemblyEnd(vec_u);CHKERRQ(ierr);
126    ierr = VecAssemblyBegin(vec_v);CHKERRQ(ierr);
127    ierr = VecAssemblyEnd(vec_v);CHKERRQ(ierr);
128
129    /*----- CÁLCULO DE TÉRMINOS DIFUSIVOS -----*/
130    std::cout<<"Empieza difusivo"<<std::endl;
131    df.calcular_D(gamma,b,&matriz_difusivo,&vec_diffront);
132
133    /*----- CÁLCULO DE TÉRMINOS CONVECTIVOS -----*/
134    std::cout<<"Empieza convectivo"<<std::endl;
135    cv.calcular_F(densidad,b,&matriz_convectivo,&vec_convectfront);
136
137    /*----- CÁLCULO DEL DELTA T -----*/
138    double timestepvisc;
139    double timestepconv;
140    double timestep;
141
142    double areamenor=100000;
143    for (i=0;i<n_vc;i++)
144    {
145        ierr = MatGetRow(matriz_areas,i,PETSC_NULL,PETSC_NULL,&areas);CHKERRQ(ierr);
146        areamenor=MIN(areamenor,sqrt(areas[0]*areas[0]+areas[1]*areas[1]));
147        ierr = MatRestoreRow(matriz_areas,i,PETSC_NULL,PETSC_NULL,&areas);CHKERRQ(ierr);
148    }
149    timestepvisc=0.2*densidad*areamenor*areamenor/4/gamma;
150    std::cout<<"timestepvisc="<<timestepvisc<<std::endl;
151
152
153    ierr = VecGetArray(vec_u,&phivcnu);CHKERRQ(ierr);
154    ierr = VecGetArray(vec_v,&phivcnv);CHKERRQ(ierr);
155    double deltainv;
156    double phivcni;
157    double deltati=100000;

```

```

158     for (i=0; i<n_vc; i++)
159     {
160         temp=0; tempor=1; areamenor=10000;
161         ierr = MatGetRow(matriz_areas, i, PETSC_NULL, PETSC_NULL, &areas); CHKERRQ(ierr);
162         for (j=0; j<3; j++)
163         {
164             areamenor=sqrt(areas[temp]*areas[temp]+areas[tempor]*areas[tempor]);
165             temp=temp+2; tempor=tempor+2;
166         }
167         ierr = MatRestoreRow(matriz_areas, i, PETSC_NULL, PETSC_NULL, &areas); CHKERRQ(ierr);
168         phivcni=sqrt((phivcnu[i]*phivcnu[i]+(phivcnv[i]*phivcnv[i]));
169         if (phivcni!=0)
170             {deltati=MIN(deltati, areamenor/phivcni);}
171         else
172             {deltati=deltati;}
173     }
174     timestepconv=0.35*deltati;
175
176     ierr = VecRestoreArray(vec_u, &phivcnu); CHKERRQ(ierr);
177     ierr = VecRestoreArray(vec_v, &phivcnv); CHKERRQ(ierr);
178
179     /*----- CÁLCULO DEL COEFICIENTE ap0 -----*/
180     timestep=MIN(timestepvisc, timestepconv);
181
182     ierr = VecGetArray(vec_volumen, &volumencv); CHKERRQ(ierr);
183     for (i=0; i<n_vc; i++)
184     {
185         ap_0=densidad*volumencv[i]/timestep;
186         ierr = VecSetValues(vec_ap0, 1, &i, &ap_0, INSERT_VALUES); CHKERRQ(ierr);
187     }
188     ierr = VecRestoreArray(vec_volumen, &volumencv); CHKERRQ(ierr);
189
190     ierr = VecAssemblyBegin(vec_ap0); CHKERRQ(ierr);
191     ierr = VecAssemblyEnd(vec_ap0); CHKERRQ(ierr);
192
193     /*----- CREAR LA MATRIZ DE COEFICIENTES -----*/
194
195     ierr = VecGetArray(vec_diffrent, &difb); CHKERRQ(ierr);
196     ierr = VecGetArray(vec_convectfront, &convb); CHKERRQ(ierr);
197     ierr = VecGetArray(vec_condf, &condf); CHKERRQ(ierr);
198     ierr = VecGetArray(vec_ap0, &ap0); CHKERRQ(ierr);
199
200     for (i=0; i<n_vc; i++)
201     {
202         ierr = MatGetRow(matriz_difusivo, i, PETSC_NULL, &cols, &Df); CHKERRQ(ierr);
203         ierr = MatGetRow(matriz_convectivo, i, PETSC_NULL, PETSC_NULL, &Ff); CHKERRQ(ierr);
204         ierr = MatGetRow(matriz_vecinos, i, PETSC_NULL, PETSC_NULL, &vecinos); CHKERRQ(ierr);
205
206         colcoef[0]=i; colcoef[1]=cols[0]; colcoef[2]=cols[1]; colcoef[3]=cols[2];
207
208         if (vecinos[2]>n_vc)
209         {
210             value[1]=-Df[0]-MAX(-Ff[0], 0);
211             value[2]=-Df[1]-MAX(-Ff[1], 0);
212             if (condf[i]==1)
213                 {value[0]=-(value[1]+value[2])+Ff[0]+Ff[1]+difb[i]-ap0[i];}
214             if (condf[i]==-1)
215                 {value[0]=-(value[1]+value[2])+Ff[0]+Ff[1]-ap0[i];}
216             if (condf[i]==-2)
217                 {value[0]=-(value[1]+value[2])+Ff[0]+Ff[1]-ap0[i];}
218             ierr = MatSetValues(matriz_coef, 1, &i, 3, colcoef, value, INSERT_VALUES); CHKERRQ(ierr);
219         }
220     }
221     else
222     {
223

```

```

224         value[1]=-Df[0]-MAX(-Ff[0],0);
225         value[2]=-Df[1]-MAX(-Ff[1],0);
226         value[3]=-Df[2]-MAX(-Ff[2],0);
227         value[0]=-(value[1]+value[2]+value[3])+Ff[0]+Ff[1]+Ff[2]-ap0[i];
228         ierr = MatSetValues(matriz_coef,1,&i,4,colcoef,value,INSERT_VALUES);CHKERRQ(ierr);
229     }
230
231     ierr = MatRestoreRow(matriz_difusivo,i,PETSC_NULL,&cols,&Df);CHKERRQ(ierr);
232     ierr = MatRestoreRow(matriz_convectivo,i,PETSC_NULL,PETSC_NULL,&Ff);CHKERRQ(ierr);
233     ierr = MatRestoreRow(matriz_vecinos,i,PETSC_NULL,PETSC_NULL,&vecinos);CHKERRQ(ierr);
234 }
235 ierr = VecRestoreArray(vec_difffront,&difb);CHKERRQ(ierr);
236 ierr = VecRestoreArray(vec_convectfront,&convb);CHKERRQ(ierr);
237 ierr = VecRestoreArray(vec_condf,&condf);CHKERRQ(ierr);
238 ierr = VecRestoreArray(vec_ap0,&ap0);CHKERRQ(ierr);
239
240 ierr = MatAssemblyBegin(matriz_coef,MAT_FINAL_ASSEMBLY);CHKERRQ(ierr);
241 ierr = MatAssemblyEnd(matriz_coef,MAT_FINAL_ASSEMBLY);CHKERRQ(ierr);
242
243 /*----- ITERACIONES PARA CALCULAR LA SOLUCIÓN -----*/
244
245 double tiempos=10000;
246 int titer=0;
247 error=1;
248
249 while(error>1e-6 )
250 {
251     niter=0;
252     error=1;
253
254     grad.calcular_grad(b,f,vec_phi0,&matriz_gradphivc);
255     ib.calcular_be(b,f,matriz_difusivo,vec_difffront,vec_convectfront,matriz_gradphivc,vec_phi0,timestep
,&vec_b);
256
257     ierr = VecGetArray(vec_phi0,&phivc0);CHKERRQ(ierr);
258     ierr = VecGetArray(vec_b,&termb);CHKERRQ(ierr);
259     ierr = VecGetArray(vec_ap0,&ap0);CHKERRQ(ierr);
260
261     double sumatoria=0;
262     int numero;
263     for (i=0;i<n_vc;i++)
264     {
265         ierr = MatGetRow(matriz_coef,i,PETSC_NULL,&cols,&coef);CHKERRQ(ierr);
266         ierr = MatGetRow(matriz_vecinos,i,PETSC_NULL,PETSC_NULL,&vecinos);CHKERRQ(ierr);
267         sumatoria=0;
268         k=0;
269         if (vecinos[2]>n_vc)
270         {
271             for (j=0;j<3;j++)
272             {
273                 if(cols[j]==i)
274                 {numero=j;}
275                 else
276                 {
277                     tem=vecinos[k];
278                     sumatoria=sumatoria+coef[j]*phivc0[tem];
279                     k++;
280                 }
281             }
282             phip=(-sumatoria-coef[numero]*phivc0[i]+termb[i])/ap0[i];
283         }
284
285     else
286     {
287         for (j=0;j<4;j++)
288         {

```

```

289         if(cols[j]==i)
290         {numero=j;}
291         else
292         {
293             tem=vecinos[k];
294             sumatoria=sumatoria+coef[j]*phivc0[tem];
295             k++;
296         }
297     }
298
299     phip=(-sumatoria-coef[numero]*phivc0[i]+termb[i])/ap0[i];
300 }
301
302 ierr = VecSetValues(vec_solucion,1,&i,&phip,INSERT_VALUES);CHKERRQ(ierr);
303 sumatoria=0;
304 }
305
306 ierr = VecAssemblyBegin(vec_solucion);CHKERRQ(ierr);
307 ierr = VecAssemblyEnd(vec_solucion);CHKERRQ(ierr);
308
309 error=0;
310 ierr = VecGetArray(vec_phi0,&phivc0);CHKERRQ(ierr);
311 ierr = VecGetArray(vec_solucion,&phivc);CHKERRQ(ierr);
312 for (i=0;i<n_vc;i++)
313 {
314     temporal=sqrt(pow(phivc[i]-phivc0[i],2));
315     error=MAX(error,temporal);
316     ierr = VecSetValues(vec_phi0,1,&i,&phi0,INSERT_VALUES);CHKERRQ(ierr);
317 }
318 ierr = VecRestoreArray(vec_phi0,&phivc0);CHKERRQ(ierr);
319 ierr = VecRestoreArray(vec_solucion,&phivc);CHKERRQ(ierr);
320
321 ierr = VecGetArray(vec_solucion,&phivc);CHKERRQ(ierr);
322 for (i=0;i<n_vc;i++)
323 {
324     phi0=phivc[i];
325     ierr = VecSetValues(vec_phi0,1,&i,&phi0,INSERT_VALUES);CHKERRQ(ierr);
326 }
327 ierr = VecAssemblyBegin(vec_phi0);CHKERRQ(ierr);
328 ierr = VecAssemblyEnd(vec_phi0);CHKERRQ(ierr);
329
330 titer++;
331 }
332
333 //Exportar los resultados
334 rta.imprimir(gm,vec_u,vec_v,vec_solucion);
335
336 return ierr;
337 }

```

20. ARCHIVO DE ENCABEZADO DE LA CLASE FRACTIONAL

```

1 //ARCHIVO DE ENCABEZADO DE LA CLASE SOLUCION DEL PROBLEMA DE PLUJO: fractional.h
2
3 #ifndef _FRACTIONAL_H_
4 #define _FRACTIONAL_H_
5
6 class fractional
7 {
8     private:
9
10     PetscErrorCode ierr; //Variable de error de petsc

```

```

11
12 //Variables de uso temporal
13 int i,j,k,ii;
14 int tem,temp,tempor,tempora,ttemp,ttempo;
15 double temporal;
16 double err,nosirve;
17
18 //Elementos geométricos
19 int n_vc;
20 Vec vec_volumen;
21 PetscScalar *volumenvc;
22 Mat matriz_areas;
23 const PetscScalar *areas;
24 Mat matriz_vecinos;
25 const PetscScalar *vecinos;
26 const PetscScalar *vvecinos;
27
28 //Elementos de frontera
29 Vec vec_frontu;
30 Vec vec_frontv;
31 Vec vec_frontp;
32 PetscScalar *valueb;
33 Vec vec_condfu;
34 Vec vec_condfv;
35 Vec vec_condfp;
36 PetscScalar *condf;
37 const PetscScalar *Df;
38 PetscScalar *difb;
39 const PetscScalar *Ff;
40 PetscScalar *convecb;
41
42 //deltat
43 double deltat;
44 double deltatvisc;
45 double deltatconv;
46 //Matriz de coeficientes
47 Mat matriz_coef;
48 const PetscScalar *coeficiente;
49 //Variable para hallar los terminos difusivos para la velocidad
50 difusivo dv;
51 Mat matriz_difusivo;
52 Vec vec_difffront;
53 //Variable para hallar los terminos convectivos en cada tiempo
54 convectivo cv;
55 Mat matriz_convectivon;
56 Mat matriz_convectivonl;
57 Vec vec_convecfrontnl;
58 Vec vec_convecfrontn;
59 //Vector Ru
60 PetscScalar Ru;
61 Vec vec_Run;
62 PetscScalar *Ru_n;
63 Vec vec_Runl;
64 PetscScalar *Ru_nl;
65 //Vector Rv
66 PetscScalar Rv;
67 Vec vec_Rvn;
68 PetscScalar *Rv_n;
69 Vec vec_Rvn1;
70 PetscScalar *Rv_n1;
71 //Vector de la velocidad u predictora
72 Vec vec_up;
73 PetscScalar up;
74 PetscScalar vp;
75 //Vector de la velocidad v predictora
76 Vec vec_vp;
77 PetscScalar *u_p;

```

```

78     PetscScalar *v_p;
79     //Variables para hallar el gradiente de u y el vector de terminos independientes de u
80     gradiente gru;
81     termindep ibu;
82     Mat matriz_gradphivcun;
83     Mat matriz_gradphivcun1;
84     Vec vec_bun;
85     Vec vec_bun1;
86     //Variables para hallar el gradiente de v y el vector de terminos independientes de v
87     gradiente grv;
88     termindep ibv;
89     Mat matriz_gradphivcvn;
90     Mat matriz_gradphivcvn1;
91     Vec vec_bvn;
92     Vec vec_bvn1;
93     //Variable para hallar la velocidad predictora en las caras
94     gradiente grup;
95     gradiente grvp;
96     Mat matriz_upf;
97     Mat matriz_vpf;
98     //Variable para hallar los terminos difusivos para la presion
99     difusivo dp;
100    Mat matriz_difusivop;
101    Vec vec_diffrontp;
102    //Variables para hallar el gradiente de p y el vector de terminos independientes de p
103    gradiente grp;
104    termindep ibp;
105    Mat matriz_gradp;
106    const PetscScalar *gradp;
107    Vec vec_bp;
108
109    //Variables de cálculo
110    const PetscInt *cols;
111    PetscInt colcoef[4];
112    PetscScalar value[4];
113    PetscScalar *phivc0,*phivc,*phivcnu,*phivcnv,*phivcn1;
114    PetscScalar phi0,phi;
115    PetscScalar *termb;
116    double trecorrido;
117    PetscScalar u;
118    PetscScalar v;
119
120    //KSP
121    KSP ksp;
122    PetscScalar error;
123    PC pc;
124    //Vector solucion de la velocidad u en el tiempo n+1
125    Vec vec_solucionu;
126    //Vector solucion de la velocidad v en el tiempo n+1
127    Vec vec_solucionv;
128    //Vector solucion de u en el tiempo n-1
129    Vec vec_solun1;
130    //Vector solucion de v en el tiempo n-1
131    Vec vec_solvn1;
132    //Vector solucion de u en el tiempo n
133    Vec vec_solun;
134    //Vector solucion de v en el tiempo n
135    Vec vec_solvn;
136    //Vector solucion de la presion
137    Vec vec_solucionp;
138    //Vector solucion de la iteracion anterior para la presion
139    Vec vec_soluantp;
140
141    //Objeto para exportar los resultados
142    resultados rta;
143

```

```

144     public:
145
146         //Funciones
147         PetscErrorCode calcular_SF(geom gm,frontera fu,frontera fv, frontera fp, double viscosidad, double
densidad, double tiempo);
148
149     };
150
151 #endif // _FRACTIONAL_H_

```

21. ARCHIVO DE CÓDIGO FUENTE DE LA CLASE FRACTIONAL

```

1 //ARCHIVO DE CÓDIGO FUENTE DE LA CLASE SOLUCIÓN DEL PROBLEMA DE FLUJO: fractional.cpp
2
3 #include <petsc.h>
4 #include <cmath>
5 #include "geom.h"
6 #include "resultados.h"
7 #include "frontera.h"
8 #include "gradiente.h"
9 #include "difusivo.h"
10 #include "convectivo.h"
11 #include "termindep.h"
12
13 PetscErrorCode fractional::calcular_SF(geom gm,frontera fu,frontera fv, frontera fp, double viscosidad,
double densidad, double tiempo)
14 {
15     n_vc=gm.vc;
16     vec_volumen=gm.vec_volumen;
17     matriz_areas=gm.matriz_areas;
18     matriz_vecinos=gm.matriz_vecinos;
19     vec_frontu=fu.vec_front;
20     vec_condfu=fu.vec_condf;
21     vec_frontv=fv.vec_front;
22     vec_condfv=fv.vec_condf;
23     vec_frontp=fp.vec_front;
24     vec_condfp=fp.vec_condf;
25
26     PetscInt col[n_vc];
27     for (i=0;i<n_vc;i++)
28     {
29         col[i]=i;
30     }
31
32     //Vector solucion de la velocidad u en el tiempo n+1
33     ierr = VecCreate(PETSC_COMM_WORLD,&vec_solucionu);CHKERRQ(ierr);
34     ierr = VecSetSizes(vec_solucionu,PETSC_DECIDE,n_vc);CHKERRQ(ierr);
35     ierr = VecSetFromOptions(vec_solucionu);CHKERRQ(ierr);
36
37     //Vector solucion de la velocidad v en el tiempo n+1
38     ierr = VecCreate(PETSC_COMM_WORLD,&vec_solucionv);CHKERRQ(ierr);
39     ierr = VecSetSizes(vec_solucionv,PETSC_DECIDE,n_vc);CHKERRQ(ierr);
40     ierr = VecSetFromOptions(vec_solucionv);CHKERRQ(ierr);
41
42     //Vector solucion de u en el tiempo anterior n-1
43     ierr = VecCreate(PETSC_COMM_WORLD,&vec_solun1);CHKERRQ(ierr);
44     ierr = VecSetSizes(vec_solun1,PETSC_DECIDE,n_vc);CHKERRQ(ierr);
45     ierr = VecSetFromOptions(vec_solun1);CHKERRQ(ierr);
46     ierr = VecSet(vec_solun1,0);CHKERRQ(ierr);
47     ierr = VecAssemblyBegin(vec_solun1);CHKERRQ(ierr);
48     ierr = VecAssemblyEnd(vec_solun1);CHKERRQ(ierr);
49
50     //Vector solucion de v en el tiempo anterior n-1

```

```

51 ierr = VecCreate(PETSC_COMM_WORLD, &vec_solvn1); CHKERRQ(ierr);
52 ierr = VecSetSizes(vec_solvn1, PETSC_DECIDE, n_vc); CHKERRQ(ierr);
53 ierr = VecSetFromOptions(vec_solvn1); CHKERRQ(ierr);
54 ierr = VecSet(vec_solvn1, 0); CHKERRQ(ierr);
55 ierr = VecAssemblyBegin(vec_solvn1); CHKERRQ(ierr);
56 ierr = VecAssemblyEnd(vec_solvn1); CHKERRQ(ierr);
57
58 //Vector solucion de u en el tiempo actual n
59 ierr = VecCreate(PETSC_COMM_WORLD, &vec_solun); CHKERRQ(ierr);
60 ierr = VecSetSizes(vec_solun, PETSC_DECIDE, n_vc); CHKERRQ(ierr);
61 ierr = VecSetFromOptions(vec_solun); CHKERRQ(ierr);
62 ierr = VecSet(vec_solun, 0); CHKERRQ(ierr);
63 ierr = VecAssemblyBegin(vec_solun); CHKERRQ(ierr);
64 ierr = VecAssemblyEnd(vec_solun); CHKERRQ(ierr);
65
66 //Vector solucion de v en el tiempo actual n
67 ierr = VecCreate(PETSC_COMM_WORLD, &vec_solvn); CHKERRQ(ierr);
68 ierr = VecSetSizes(vec_solvn, PETSC_DECIDE, n_vc); CHKERRQ(ierr);
69 ierr = VecSetFromOptions(vec_solvn); CHKERRQ(ierr);
70 ierr = VecSet(vec_solvn, 0); CHKERRQ(ierr);
71 ierr = VecAssemblyBegin(vec_solvn); CHKERRQ(ierr);
72 ierr = VecAssemblyEnd(vec_solvn); CHKERRQ(ierr);
73
74 //Vector R de u en el tiempo anterior n-1
75 ierr = VecCreate(PETSC_COMM_WORLD, &vec_Run1); CHKERRQ(ierr);
76 ierr = VecSetSizes(vec_Run1, PETSC_DECIDE, n_vc); CHKERRQ(ierr);
77 ierr = VecSetFromOptions(vec_Run1); CHKERRQ(ierr);
78
79 //Vector R de v en el tiempo anterior n-1
80 ierr = VecCreate(PETSC_COMM_WORLD, &vec_Rvn1); CHKERRQ(ierr);
81 ierr = VecSetSizes(vec_Rvn1, PETSC_DECIDE, n_vc); CHKERRQ(ierr);
82 ierr = VecSetFromOptions(vec_Rvn1); CHKERRQ(ierr);
83
84 //Vector R de u en el tiempo actual n
85 ierr = VecCreate(PETSC_COMM_WORLD, &vec_Run); CHKERRQ(ierr);
86 ierr = VecSetSizes(vec_Run, PETSC_DECIDE, n_vc); CHKERRQ(ierr);
87 ierr = VecSetFromOptions(vec_Run); CHKERRQ(ierr);
88
89 //Vector R de v en el tiempo actual n
90 ierr = VecCreate(PETSC_COMM_WORLD, &vec_Rvn); CHKERRQ(ierr);
91 ierr = VecSetSizes(vec_Rvn, PETSC_DECIDE, n_vc); CHKERRQ(ierr);
92 ierr = VecSetFromOptions(vec_Rvn); CHKERRQ(ierr);
93
94 //Vector de la u predictora
95 ierr = VecCreate(PETSC_COMM_WORLD, &vec_up); CHKERRQ(ierr);
96 ierr = VecSetSizes(vec_up, PETSC_DECIDE, n_vc); CHKERRQ(ierr);
97 ierr = VecSetFromOptions(vec_up); CHKERRQ(ierr);
98
99 //Vector de la v predictora
100 ierr = VecCreate(PETSC_COMM_WORLD, &vec_vp); CHKERRQ(ierr);
101 ierr = VecSetSizes(vec_vp, PETSC_DECIDE, n_vc); CHKERRQ(ierr);
102 ierr = VecSetFromOptions(vec_vp); CHKERRQ(ierr);
103
104 //Vector solucion de la presion
105 ierr = VecCreate(PETSC_COMM_WORLD, &vec_solucionp); CHKERRQ(ierr);
106 ierr = VecSetSizes(vec_solucionp, PETSC_DECIDE, n_vc); CHKERRQ(ierr);
107 ierr = VecSetFromOptions(vec_solucionp); CHKERRQ(ierr);
108
109 //Vector solucion de la iteracion anterior para la presion
110 ierr = VecCreate(PETSC_COMM_WORLD, &vec_soluantp); CHKERRQ(ierr);
111 ierr = VecSetSizes(vec_soluantp, PETSC_DECIDE, n_vc); CHKERRQ(ierr);
112 ierr = VecSetFromOptions(vec_soluantp); CHKERRQ(ierr);
113 ierr = VecSet(vec_soluantp, 0.0); CHKERRQ(ierr);
114 ierr = VecAssemblyBegin(vec_soluantp); CHKERRQ(ierr);
115 ierr = VecAssemblyEnd(vec_soluantp); CHKERRQ(ierr);
116

```

```

117 //Matriz del coeficientes para el calculo de la presion
118 ierr = MatCreate(PETSC_COMM_WORLD,&matriz_coef);CHKERRQ(ierr);
119 ierr = MatSetSizes(matriz_coef,PETSC_DECIDE,PETSC_DECIDE,n_vc,n_vc);CHKERRQ(ierr);
120 ierr = MatSetFromOptions(matriz_coef);CHKERRQ(ierr);
121 ierr = MatSetUp(matriz_coef);CHKERRQ(ierr);
122
123 //Matriz de terminos difusivos de la velocidad
124 ierr = MatCreate(PETSC_COMM_WORLD,&matriz_difusivo);CHKERRQ(ierr);
125 ierr = MatSetSizes(matriz_difusivo,PETSC_DECIDE,PETSC_DECIDE,n_vc,n_vc);CHKERRQ(ierr);
126 ierr = MatSetFromOptions(matriz_difusivo);CHKERRQ(ierr);
127 ierr = MatSetUp(matriz_difusivo);CHKERRQ(ierr);
128
129 //Vector de terminos difusivos de la velocidad en las fronteras
130 ierr = VecCreate(PETSC_COMM_WORLD,&vec_difffront);CHKERRQ(ierr);
131 ierr = VecSetSizes(vec_difffront,PETSC_DECIDE,n_vc);CHKERRQ(ierr);
132 ierr = VecSetFromOptions(vec_difffront);CHKERRQ(ierr);
133
134 //Matriz de terminos difusivos de la presion
135 ierr = MatCreate(PETSC_COMM_WORLD,&matriz_difusivop);CHKERRQ(ierr);
136 ierr = MatSetSizes(matriz_difusivop,PETSC_DECIDE,PETSC_DECIDE,n_vc,n_vc);CHKERRQ(ierr);
137 ierr = MatSetFromOptions(matriz_difusivop);CHKERRQ(ierr);
138 ierr = MatSetUp(matriz_difusivop);CHKERRQ(ierr);
139
140 //Vector de terminos difusivos de la presion en las fronteras
141 ierr = VecCreate(PETSC_COMM_WORLD,&vec_difffrontp);CHKERRQ(ierr);
142 ierr = VecSetSizes(vec_difffrontp,PETSC_DECIDE,n_vc);CHKERRQ(ierr);
143 ierr = VecSetFromOptions(vec_difffrontp);CHKERRQ(ierr);
144
145 //Matriz de terminos convectivos de la velocidad
146 ierr = MatCreate(PETSC_COMM_WORLD,&matriz_convectivon);CHKERRQ(ierr);
147 ierr = MatSetSizes(matriz_convectivon,PETSC_DECIDE,PETSC_DECIDE,n_vc,n_vc);CHKERRQ(ierr);
148 ierr = MatSetFromOptions(matriz_convectivon);CHKERRQ(ierr);
149 ierr = MatSetUp(matriz_convectivon);CHKERRQ(ierr);
150
151 //Vector de terminos convectivos de la velocidad
152 ierr = VecCreate(PETSC_COMM_WORLD,&vec_convecfrontn);CHKERRQ(ierr);
153 ierr = VecSetSizes(vec_convecfrontn,PETSC_DECIDE,n_vc);CHKERRQ(ierr);
154 ierr = VecSetFromOptions(vec_convecfrontn);CHKERRQ(ierr);
155
156 //Matriz del gradiente de la velocidad u
157 ierr = MatCreate(PETSC_COMM_WORLD,&matriz_gradphivcun);CHKERRQ(ierr);
158 ierr = MatSetSizes(matriz_gradphivcun,PETSC_DECIDE,PETSC_DECIDE,n_vc,2);CHKERRQ(ierr);
159 ierr = MatSetFromOptions(matriz_gradphivcun);CHKERRQ(ierr);
160 ierr = MatSetUp(matriz_gradphivcun);CHKERRQ(ierr);
161
162 //Matriz del gradiente de la velocidad v
163 ierr = MatCreate(PETSC_COMM_WORLD,&matriz_gradphivcn);CHKERRQ(ierr);
164 ierr = MatSetSizes(matriz_gradphivcn,PETSC_DECIDE,PETSC_DECIDE,n_vc,2);CHKERRQ(ierr);
165 ierr = MatSetFromOptions(matriz_gradphivcn);CHKERRQ(ierr);
166 ierr = MatSetUp(matriz_gradphivcn);CHKERRQ(ierr);
167
168 //Matriz del gradiente de la presion
169 ierr = MatCreate(PETSC_COMM_WORLD,&matriz_gradp);CHKERRQ(ierr);
170 ierr = MatSetSizes(matriz_gradp,PETSC_DECIDE,PETSC_DECIDE,n_vc,2);CHKERRQ(ierr);
171 ierr = MatSetFromOptions(matriz_gradp);CHKERRQ(ierr);
172 ierr = MatSetUp(matriz_gradp);CHKERRQ(ierr);
173
174 //Matriz de up en las caras
175 ierr = MatCreate(PETSC_COMM_WORLD,&matriz_upf);CHKERRQ(ierr);
176 ierr = MatSetSizes(matriz_upf,PETSC_DECIDE,PETSC_DECIDE,n_vc,3);CHKERRQ(ierr);
177 ierr = MatSetFromOptions(matriz_upf);CHKERRQ(ierr);
178 ierr = MatSetUp(matriz_upf);CHKERRQ(ierr);
179
180 //Matriz de vp en las caras
181 ierr = MatCreate(PETSC_COMM_WORLD,&matriz_vpf);CHKERRQ(ierr);

```

```

183     ierr = MatSetFromOptions(matriz_vpf);CHKERRQ(ierr);
184     ierr = MatSetUp(matriz_vpf);CHKERRQ(ierr);
185
186     //Vector de terminos independientes de la velocidad un
187     ierr = VecCreate(PETSC_COMM_WORLD,&vec_bun);CHKERRQ(ierr);
188     ierr = VecSetSizes(vec_bun,PETSC_DECIDE,n_vc);CHKERRQ(ierr);
189     ierr = VecSetFromOptions(vec_bun);CHKERRQ(ierr);
190
191     //Vector de terminos independientes de la velocidad vn
192     ierr = VecCreate(PETSC_COMM_WORLD,&vec_bvn);CHKERRQ(ierr);
193     ierr = VecSetSizes(vec_bvn,PETSC_DECIDE,n_vc);CHKERRQ(ierr);
194     ierr = VecSetFromOptions(vec_bvn);CHKERRQ(ierr);
195
196     //Vector de terminos independientes de la presion
197     ierr = VecCreate(PETSC_COMM_WORLD,&vec_bp);CHKERRQ(ierr);
198     ierr = VecSetSizes(vec_bp,PETSC_DECIDE,n_vc);CHKERRQ(ierr);
199     ierr = VecSetFromOptions(vec_bp);CHKERRQ(ierr);
200
201     //Calcular los terminos difusivos para la velocidad
202     double viscinematica=viscosidad/densidad;
203     dv.calcular_D(viscinematica,gm,&matriz_difusivo,&vec_difffront);
204
205     //calculo del delta t viscoso Cvisc=0.2
206     double areamenor=100000;
207     for (i=0;i<n_vc;i++)
208     {
209         temp=0; tempor=1;
210         ierr = MatGetRow(matriz_areas,i,PETSC_NULL,PETSC_NULL,&areas);CHKERRQ(ierr);
211         for(j=0;j<3;j++)
212         {
213             areamenor=MIN(areamenor,sqrt(areas[temp]*areas[temp]+areas[tempor]*areas[tempor]));
214             temp=temp+2;tempor=tempor+2;
215         }
216         ierr = MatRestoreRow(matriz_areas,i,PETSC_NULL,PETSC_NULL,&areas);CHKERRQ(ierr);
217     }
218     deltatvisc=0.2*areamenor*areamenor/viscinematica;
219     std::cout<<"deltat:"<<deltatvisc;
220     int titer=0;
221     int contador=0;
222     trecorrido=0;
223
224     //Comienza a correr el tiempo
225     while (titer<5000) //trecorrido<tiempo
226     {
227         //Calculo del delta t convectivo Cconv=0.35
228
229         ierr = VecGetArray(vec_solun,&phivcnu);CHKERRQ(ierr);
230         ierr = VecGetArray(vec_solvn,&phivcnv);CHKERRQ(ierr);
231         double deltainv;
232         double phivcni;
233         double deltati=100000;
234         for(i=0;i<n_vc;i++)
235         {
236             temp=0; tempor=1; areamenor=10000;
237             ierr = MatGetRow(matriz_areas,i,PETSC_NULL,PETSC_NULL,&areas);CHKERRQ(ierr);
238             for(j=0;j<3;j++)
239             {
240                 areamenor=sqrt(areas[temp]*areas[temp]+areas[tempor]*areas[tempor]);
241                 temp=temp+2;tempor=tempor+2;
242             }
243             ierr = MatRestoreRow(matriz_areas,i,PETSC_NULL,PETSC_NULL,&areas);CHKERRQ(ierr);
244             phivcni=sqrt((phivcnu[i]*phivcnu[i]+(phivcnv[i]*phivcnv[i]));
245             if(phivcni!=0)
246                 {deltati=MIN(deltati,areamenor/phivcni);}
247             else

```

```

248         {deltati=deltati;}
249     }
250 }
251 deltatconv=0.35*deltati;
252 ierr = VecRestoreArray(vec_solun,&phivcnu);CHKERRQ(ierr);
253 ierr = VecRestoreArray(vec_solvn,&phivcnv);CHKERRQ(ierr);
254
255 //Calculo del delta t
256 deltat=0.3*MIN(deltatvisc,deltatconv);
257
258 if(deltat<1e-9) exit(0);
259
260 double tiempos;
261 tiempos=trecorrido+deltat;
262 if(tiempos>tiempo)
263 {
264     deltat=tiempo-trecorrido;
265     trecorrido=tiempo;
266 }
267 else
268 {
269     trecorrido=tiempos;
270 }
271
272 //Calcular los terminos convectivos para el tiempo actual n
273 tem=1;
274 cv.calcular_F(tem,gm,vec_solun,vec_solvn,fu,fv,&matriz_convectivon,&vec_convecfrontn);
275
276 //Calcular los terminos convectivos para el tiempo n-1
277 tem=1;
278 cv.calcular_F(tem,gm,vec_solun1,vec_solvn1,fu,fv);
279 matriz_convectivon1=cv.matriz_convectivo;
280 vec_convecfrontn1=cv.vec_convecfront;
281
282 //Calcular el gradiente de u y el vector de terminos independientes de u en n-1
283 gru.calcular_grad(gm,fu,vec_solun1);
284 matriz_gradphivcun1=gru.matriz_gradphivc;
285 ibu.calcular_be(gm,fu,dv,cv,matriz_gradphivcun1);
286 vec_bun1=ibu.vec_b;
287
288 //Calcular el gradiente de u y el vector de terminos independientes de u en n
289 gru.calcular_grad(gm,fu,vec_solun,&matriz_gradphivcun);
290 ibu.calcular_be(gm,fu,matriz_difusivo,vec_diffront,vec_convecfrontn,matriz_gradphivcun,&vec_bun);
291
292 //Calcular el gradiente de v y el vector de terminos independientes de v en n
293 grv.calcular_grad(gm,fv,vec_solvn,&matriz_gradphivcnv);
294 ibv.calcular_be(gm,fv,matriz_difusivo,vec_diffront,vec_convecfrontn,matriz_gradphivcnv,&vec_bvn);
295
296 //Calcular el gradiente de v y el vector de terminos independientes de v en n-1
297 grv.calcular_grad(gm,fv,vec_solvn1);
298 matriz_gradphivcnv1=grv.matriz_gradphivc;
299 ibv.calcular_be(gm,fv,dv,cv,matriz_gradphivcnv1);
300 vec_bvn1=ibv.vec_b;
301
302 //Calculo del Ru en n-1
303 ierr = VecGetArray(vec_solun1,&phivcn1);CHKERRQ(ierr);
304 ierr = VecGetArray(vec_bun1,&termb);CHKERRQ(ierr);
305
306 ierr = VecGetArray(vec_condfu,&condf);CHKERRQ(ierr);
307 ierr = VecGetArray(vec_diffront,&difb);CHKERRQ(ierr);
308 ierr = VecGetArray(vec_convecfrontn1,&convecb);CHKERRQ(ierr);
309 for (i=0;i<n_vc;i++)
310 {
311     ierr = MatGetRow(matriz_difusivo,i,PETSC_NULL,PETSC_NULL,&Df);CHKERRQ(ierr);
312     ierr = MatGetRow(matriz_convectivon1,i,PETSC_NULL,PETSC_NULL,&Ff);CHKERRQ(ierr);
313     ierr = MatGetRow(matriz_vecinos,i,PETSC_NULL,PETSC_NULL,&vecinos);CHKERRQ(ierr);
314

```

```

315     Ru=0;
316     if(vecinos[2]>n_vc)
317     {
318         for (j=0;j<2;j++)
319         {
320             k=vecinos[j];
321             Ru=Ru+Df[j]*(phivcn1[k]-phivcn1[i])-MAX(Ff[j],0)*phivcn1[i]+MAX(-Ff[j],0)*phivcn1[k];
322         }
323
324         Ru=Ru+termb[i];
325         if(condf[i]==1)
326         {
327             Ru=Ru-difb[i]*phivcn1[i];
328         }
329         if(condf[i]==2)
330         {
331             Ru=Ru-convecb[i]*phivcn1[i];
332         }
333     }
334
335     else
336     {
337         for (j=0;j<3;j++)
338         {
339             k=vecinos[j];
340             Ru=Ru+Df[j]*(phivcn1[k]-phivcn1[i])-MAX(Ff[j],0)*phivcn1[i]+MAX(-Ff[j],0)*phivcn1[k];
341         }
342         Ru=Ru+termb[i];
343     }
344
345     ierr = VecSetValues(vec_Run1,1,&i,&Ru,INSERT_VALUES);CHKERRQ(ierr);
346
347     ierr = MatRestoreRow(matriz_difusivo,i,PETSC_NULL,PETSC_NULL,&Df);CHKERRQ(ierr);
348     ierr = MatRestoreRow(matriz_convectivon1,i,PETSC_NULL,PETSC_NULL,&Ff);CHKERRQ(ierr);
349     ierr = MatRestoreRow(matriz_vecinos,i,PETSC_NULL,PETSC_NULL,&vecinos);CHKERRQ(ierr);
350 }
351
352 ierr = VecAssemblyBegin(vec_Run1);CHKERRQ(ierr);
353 ierr = VecAssemblyEnd(vec_Run1);CHKERRQ(ierr);
354
355 ierr = VecRestoreArray(vec_solun1,&phivcn1);CHKERRQ(ierr);
356 ierr = VecRestoreArray(vec_bun1,&termb);CHKERRQ(ierr);
357 ierr = VecRestoreArray(vec_convecfrontn1,&convecb);CHKERRQ(ierr);
358
359 //Calculo del Ru en n
360
361 ierr = VecGetArray(vec_solun,&phivcnu);CHKERRQ(ierr);
362 ierr = VecGetArray(vec_bun,&termb);CHKERRQ(ierr);
363 ierr = VecGetArray(vec_convecfrontn,&convecb);CHKERRQ(ierr);
364
365 for (i=0;i<n_vc;i++)
366 {
367     ierr = MatGetRow(matriz_difusivo,i,PETSC_NULL,PETSC_NULL,&Df);CHKERRQ(ierr);
368     ierr = MatGetRow(matriz_convectivon,i,PETSC_NULL,PETSC_NULL,&Ff);CHKERRQ(ierr);
369     ierr = MatGetRow(matriz_vecinos,i,PETSC_NULL,PETSC_NULL,&vecinos);CHKERRQ(ierr);
370
371     Ru=0;
372
373     if(vecinos[2]>n_vc)
374     {
375         for (j=0;j<2;j++)
376         {
377             k=vecinos[j];
378             Ru=Ru+Df[j]*(phivcnu[k]-phivcnu[i])-MAX(Ff[j],0)*phivcnu[i]+MAX(-Ff[j],0)*phivcnu[k];
379         }
380

```

```

381         Ru=Ru+termb[i];
382         if(condf[i]==1)
383         {
384             Ru=Ru-difb[i]*phivcnu[i];
385         }
386         if(condf[i]==2)
387         {
388             Ru=Ru-convecb[i]*phivcnu[i];
389         }
390     }
391
392     else
393     {
394         for (j=0;j<3;j++)
395         {
396             k=vecinos[j];
397             Ru=Ru+Df[j]*(phivcnu[k]-phivcnu[i])-MAX(Ff[j],0)*phivcnu[i]+MAX(-Ff[j],0)*phivcnu[k];
398         }
399         Ru=Ru+termb[i];
400     }
401
402     ierr = VecSetValues(vec_Run,1,&i,&Ru,INSERT_VALUES);CHKERRQ(ierr);
403
404     ierr = MatRestoreRow(matriz_difusivo,i,PETSC_NULL,PETSC_NULL,&Df);CHKERRQ(ierr);
405     ierr = MatRestoreRow(matriz_convectivon,i,PETSC_NULL,PETSC_NULL,&Ff);CHKERRQ(ierr);
406     ierr = MatRestoreRow(matriz_vecinos,i,PETSC_NULL,PETSC_NULL,&vecinos);CHKERRQ(ierr);
407 }
408
409 ierr = VecRestoreArray(vec_condfu,&condf);CHKERRQ(ierr);
410 ierr = VecRestoreArray(vec_difffront,&difb);CHKERRQ(ierr);
411 ierr = VecRestoreArray(vec_convecfrontn,&convecb);CHKERRQ(ierr);
412
413 ierr = VecAssemblyBegin(vec_Run);CHKERRQ(ierr);
414 ierr = VecAssemblyEnd(vec_Run);CHKERRQ(ierr);
415
416 ierr = VecRestoreArray(vec_solun,&phivcnu);CHKERRQ(ierr);
417 ierr = VecRestoreArray(vec_bun,&termb);CHKERRQ(ierr);
418
419 //Calculo de la u predictora
420 ierr = VecGetArray(vec_solun,&phivcnu);CHKERRQ(ierr);
421 ierr = VecGetArray(vec_Run,&Ru_n);CHKERRQ(ierr);
422 ierr = VecGetArray(vec_Run1,&Ru_n1);CHKERRQ(ierr);
423 ierr = VecGetArray(vec_volumen,&volumenvc);CHKERRQ(ierr);
424
425 for (i=0;i<n_vc;i++)
426 {
427     up=phivcnu[i]+deltat/densidad/volumenvc[i]*(3.0/2.0*Ru_n[i]-1.0/2.0*Ru_n1[i]);
428     ierr = VecSetValues(vec_up,1,&i,&up,INSERT_VALUES);CHKERRQ(ierr);
429 }
430
431 ierr = VecRestoreArray(vec_solun,&phivcnu);CHKERRQ(ierr);
432 ierr = VecRestoreArray(vec_Run,&Ru_n);CHKERRQ(ierr);
433 ierr = VecRestoreArray(vec_Run1,&Ru_n1);CHKERRQ(ierr);
434 ierr = VecRestoreArray(vec_volumen,&volumenvc);CHKERRQ(ierr);
435
436 ierr = VecAssemblyBegin(vec_up);CHKERRQ(ierr);
437 ierr = VecAssemblyEnd(vec_up);CHKERRQ(ierr);
438
439 //Calculo del Rv en n-1
440 ierr = VecGetArray(vec_solvn1,&phivcn1);CHKERRQ(ierr);
441 ierr = VecGetArray(vec_bvn1,&termb);CHKERRQ(ierr);
442
443 ierr = VecGetArray(vec_condfu,&condf);CHKERRQ(ierr);
444 ierr = VecGetArray(vec_difffront,&difb);CHKERRQ(ierr);
445 ierr = VecGetArray(vec_convecfrontn1,&convecb);CHKERRQ(ierr);

```

```

446
447     for (i=0;i<n_vc;i++)
448     {
449         ierr = MatGetRow(matriz_difusivo,i,PETSC_NULL,PETSC_NULL,&Df);CHKERRQ(ierr);
450         ierr = MatGetRow(matriz_convectivon1,i,PETSC_NULL,PETSC_NULL,&Pf);CHKERRQ(ierr);
451         ierr = MatGetRow(matriz_vecinos,i,PETSC_NULL,PETSC_NULL,&vecinos);CHKERRQ(ierr);
452
453         Rv=0;
454
455         if(vecinos[2]>n_vc)
456         {
457             for (j=0;j<2;j++)
458             {
459                 k=vecinos[j];
460                 Rv=Rv+Df[j]*(phivcn1[k]-phivcn1[i])-MAX(Pf[j],0)*phivcn1[i]+MAX(-Pf[j],0)*phivcn1[k];
461             }
462             Rv=Rv+termb[i];
463             if(condf[i]==1)
464             {
465                 Rv=Rv-difb[i]*phivcn1[i];
466             }
467             if(condf[i]==2)
468             {
469                 Rv=Rv-convecb[i]*phivcn1[i];
470             }
471         }
472
473         else
474         {
475             for (j=0;j<3;j++)
476             {
477                 k=vecinos[j];
478                 Rv=Rv+Df[j]*(phivcn1[k]-phivcn1[i])-MAX(Pf[j],0)*phivcn1[i]+MAX(-Pf[j],0)*phivcn1[k];
479             }
480             Rv=Rv+termb[i];
481         }
482
483         ierr = VecSetValues(vec_Rvn1,1,&i,&Rv,INSERT_VALUES);CHKERRQ(ierr);
484
485         ierr = MatRestoreRow(matriz_difusivo,i,PETSC_NULL,PETSC_NULL,&Df);CHKERRQ(ierr);
486         ierr = MatRestoreRow(matriz_convectivon1,i,PETSC_NULL,PETSC_NULL,&Pf);CHKERRQ(ierr);
487         ierr = MatRestoreRow(matriz_vecinos,i,PETSC_NULL,PETSC_NULL,&vecinos);CHKERRQ(ierr);
488     }
489
490     ierr = VecAssemblyBegin(vec_Rvn1);CHKERRQ(ierr);
491     ierr = VecAssemblyEnd(vec_Rvn1);CHKERRQ(ierr);
492
493     ierr = VecRestoreArray(vec_solvn1,&phivcn1);CHKERRQ(ierr);
494     ierr = VecRestoreArray(vec_bvn1,&termb);CHKERRQ(ierr);
495     ierr = VecRestoreArray(vec_convecfrontn1,&convecb);CHKERRQ(ierr);
496
497     //Calculo del Rv en n
498
499     ierr = VecGetArray(vec_solvn,&phivcnv);CHKERRQ(ierr);
500     ierr = VecGetArray(vec_bvn,&termb);CHKERRQ(ierr);
501     ierr = VecGetArray(vec_convecfrontn,&convecb);CHKERRQ(ierr);
502     for (i=0;i<n_vc;i++)
503     {
504         ierr = MatGetRow(matriz_difusivo,i,PETSC_NULL,PETSC_NULL,&Df);CHKERRQ(ierr);
505         ierr = MatGetRow(matriz_convectivon1,i,PETSC_NULL,PETSC_NULL,&Pf);CHKERRQ(ierr);
506         ierr = MatGetRow(matriz_vecinos,i,PETSC_NULL,PETSC_NULL,&vecinos);CHKERRQ(ierr);
507
508         Rv=0;
509
510         if(vecinos[2]>n_vc)
511         {

```

```

512         for (j=0;j<2;j++)
513         {
514             k=vecinos[j];
515             Rv=Rv+Df[j]*(phivcnv[k]-phivcnv[i])-MAX(Ff[j],0)*phivcnv[i]+MAX(-Ff[j],0)*phivcnv[k];
516         }
517         Rv=Rv+termb[i];
518         if(condf[i]==1)
519         {
520             Rv=Rv-difb[i]*phivcnv[i];
521         }
522         if(condf[i]==2)
523         {
524             Rv=Rv-convecb[i]*phivcnv[i];
525         }
526     }
527
528     else
529     {
530         for (j=0;j<3;j++)
531         {
532             k=vecinos[j];
533             Rv=Rv+Df[j]*(phivcnv[k]-phivcnv[i])-MAX(Ff[j],0)*phivcnv[i]+MAX(-Ff[j],0)*phivcnv[k];
534         }
535         Rv=Rv+termb[i];
536     }
537
538     ierr = VecSetValues(vec_Rvn,1,&i,&Rv,INSERT_VALUES);CHKERRQ(ierr);
539
540     ierr = MatRestoreRow(matriz_difusivo,i,PETSC_NULL,PETSC_NULL,&Df);CHKERRQ(ierr);
541     ierr = MatRestoreRow(matriz_convectivo,i,PETSC_NULL,PETSC_NULL,&Ff);CHKERRQ(ierr);
542     ierr = MatRestoreRow(matriz_vecinos,i,PETSC_NULL,PETSC_NULL,&vecinos);CHKERRQ(ierr);
543 }
544
545 ierr = VecRestoreArray(vec_condfu,&condf);CHKERRQ(ierr);
546 ierr = VecRestoreArray(vec_diffrent,&difb);CHKERRQ(ierr);
547 ierr = VecGetArray(vec_convecfrontn,&convecb);CHKERRQ(ierr);
548
549 ierr = VecAssemblyBegin(vec_Rvn);CHKERRQ(ierr);
550 ierr = VecAssemblyEnd(vec_Rvn);CHKERRQ(ierr);
551
552 ierr = VecRestoreArray(vec_solvn,&phivcnv);CHKERRQ(ierr);
553 ierr = VecRestoreArray(vec_bvn,&termb);CHKERRQ(ierr);
554
555 //Calculo de la v predictora
556 ierr = VecGetArray(vec_solvn,&phivcnv);CHKERRQ(ierr);
557 ierr = VecGetArray(vec_Rvn,&Rv_n);CHKERRQ(ierr);
558 ierr = VecGetArray(vec_Rvn1,&Rv_n1);CHKERRQ(ierr);
559 ierr = VecGetArray(vec_volumen,&volumencv);CHKERRQ(ierr);
560
561 for (i=0;i<n_vc;i++)
562 {
563     vp=phivcnv[i]+deltat/densidad/volumencv[i]*(3.0/2.0*Rv_n[i]-1.0/2.0*Rv_n1[i]);
564     ierr = VecSetValues(vec_vp,1,&i,&vp,INSERT_VALUES);CHKERRQ(ierr);
565 }
566
567 ierr = VecRestoreArray(vec_solvn,&phivcnv);CHKERRQ(ierr);
568 ierr = VecRestoreArray(vec_Rvn,&Rv_n);CHKERRQ(ierr);
569 ierr = VecRestoreArray(vec_Rvn1,&Rv_n1);CHKERRQ(ierr);
570 ierr = VecRestoreArray(vec_volumen,&volumencv);CHKERRQ(ierr);
571
572 ierr = VecAssemblyBegin(vec_vp);CHKERRQ(ierr);
573 ierr = VecAssemblyEnd(vec_vp);CHKERRQ(ierr);
574
575 //Calculo de la presion
576
577 //Calcular los terminos difusivos para la presion

```

```

578     temporal=1; //No va gamma=temporal=1
579     dp.calcular_D(temporal,gm,&matriz_difusivop,&vec_difffrontp);
580
581     ierr = VecGetArray(vec_difffrontp,&difb);CHKERRQ(ierr);
582     ierr = VecGetArray(vec_condfp,&condf);CHKERRQ(ierr);
583
584     for (i=0;i<n_vc;i++)
585     {
586         ierr = MatGetRow(matriz_difusivop,i,PETSC_NULL,&cols,&Df);CHKERRQ(ierr);
587         ierr = MatGetRow(matriz_vecinos,i,PETSC_NULL,PETSC_NULL,&vecinos);CHKERRQ(ierr);
588
589         colcoef[0]=i;colcoef[1]=cols[0];colcoef[2]=cols[1];
590         if(vecinos[2]>n_vc)
591         {
592             value[1]=Df[0];
593             value[2]=Df[1];
594             if(condf[i]==1)
595                 {value[0]=- (value[1]+value[2]+difb[i]);}
596             if(condf[i]==-1)
597                 {value[0]=- (value[1]+value[2]);}
598
599             ierr = MatSetValues(matriz_coef,1,&i,3,colcoef,value,INSERT_VALUES);CHKERRQ(ierr);
600         }
601         else
602         {
603             colcoef[3]=cols[2];
604             value[1]=Df[0];
605             value[2]=Df[1];
606             value[3]=Df[2];
607             value[0]=- (value[1]+value[2]+value[3]);
608             ierr = MatSetValues(matriz_coef,1,&i,4,colcoef,value,INSERT_VALUES);CHKERRQ(ierr);
609         }
610
611         ierr = MatRestoreRow(matriz_difusivo,i,PETSC_NULL,&cols,&Df);CHKERRQ(ierr);
612         ierr = MatRestoreRow(matriz_vecinos,i,PETSC_NULL,PETSC_NULL,&vecinos);CHKERRQ(ierr);
613     }
614     ierr = VecRestoreArray(vec_difffrontp,&difb);CHKERRQ(ierr);
615     ierr = VecRestoreArray(vec_condfp,&condf);CHKERRQ(ierr);
616
617     //Ensamblamos la matriz de coeficientes
618     ierr = MatAssemblyBegin(matriz_coef,MAT_FINAL_ASSEMBLY);CHKERRQ(ierr);
619     ierr = MatAssemblyEnd(matriz_coef,MAT_FINAL_ASSEMBLY);CHKERRQ(ierr);
620
621     //Parametros para el solver
622     KSPCreate(PETSC_COMM_WORLD,&ksp);
623     KSPSetOperators(ksp,matriz_coef,matriz_coef,DIFFERENT_NONZERO_PATTERN);
624     KSPSetType(ksp,KSPGMRES);
625     KSPGetPC(ksp,&pc);
626     PCSetType(pc,PCGAMG);
627     KSPSetFromOptions(ksp);
628     KSPSetUp(ksp);
629
630     grup.calcular_vcara(gm,fu,vec_up,&matriz_upf);
631     grvp.calcular_vcara(gm,fv,vec_vp,&matriz_vpf);
632
633     int niter=0;
634     error=1;
635
636     //Comienzan las iteraciones para el calculo de la presion
637
638     while (error>1*10e-6 && niter<30)
639     {
640         grp.calcular_grad(gm,fp,vec_souantp,&matriz_gradp);
641         ibp.calcular_bp(gm,fp,matriz_difusivop,vec_difffrontp,matriz_gradp,matriz_upf,matriz_vpf,
densidad,deltat,&vec_bp);
642

```

```

643         KSPSolve(ksp,vec_bp,vec_solucionp);
644
645         ierr = VecGetArray(vec_solucionp,&phivc);CHKERRQ(ierr);
646         ierr = VecGetArray(vec_soluantp,&phivc0);CHKERRQ(ierr);
647
648         error=0;
649         for (i=0;i<n_vc;i++)
650         {
651             temporal=sqrt(pow(phivc[i]-phivc0[i],2));
652             error=MAX(error,temporal);
653         }
654
655         for (i=0;i<n_vc;i++)
656         {
657             phi0=phivc[i];
658             ierr = VecSetValues(vec_soluantp,1,&i,&phi0,INSERT_VALUES);CHKERRQ(ierr);
659         }
660
661         ierr = VecAssemblyBegin(vec_soluantp);CHKERRQ(ierr);
662         ierr = VecAssemblyEnd(vec_soluantp);CHKERRQ(ierr);
663
664         niter++;
665     }
666
667     for (i=0;i<n_vc;i++)
668     {
669         phi0=0;
670         ierr = VecSetValues(vec_soluantp,1,&i,&phi0,INSERT_VALUES);CHKERRQ(ierr);
671     }
672
673     ierr = VecAssemblyBegin(vec_soluantp);CHKERRQ(ierr);
674     ierr = VecAssemblyEnd(vec_soluantp);CHKERRQ(ierr);
675
676     grp.calcular_grad(gm,fp,vec_solucionp,&matriz_gradp);
677
678     ierr = VecGetArray(vec_up,&u_p);CHKERRQ(ierr);
679     ierr = VecGetArray(vec_vp,&v_p);CHKERRQ(ierr);
680
681     for (i=0;i<n_vc;i++)
682     {
683         ierr = MatGetRow(matriz_gradp,i,PETSC_NULL,PETSC_NULL,&gradp);CHKERRQ(ierr);
684         u=u_p[i]-deltat/densidad*gradp[0];
685         v=v_p[i]-deltat/densidad*gradp[1];
686         ierr = VecSetValues(vec_solucionu,1,&i,&u,INSERT_VALUES);CHKERRQ(ierr);
687         ierr = VecSetValues(vec_solucionv,1,&i,&v,INSERT_VALUES);CHKERRQ(ierr);
688         ierr = MatRestoreRow(matriz_gradp,i,PETSC_NULL,PETSC_NULL,&gradp);CHKERRQ(ierr);
689     }
690
691     ierr = VecRestoreArray(vec_up,&u_p);CHKERRQ(ierr);
692     ierr = VecRestoreArray(vec_vp,&v_p);CHKERRQ(ierr);
693
694     ierr = VecAssemblyBegin(vec_solucionu);CHKERRQ(ierr);
695     ierr = VecAssemblyEnd(vec_solucionu);CHKERRQ(ierr);
696
697     ierr = VecAssemblyBegin(vec_solucionv);CHKERRQ(ierr);
698     ierr = VecAssemblyEnd(vec_solucionv);CHKERRQ(ierr);
699
700     titer++;
701     contador++;
702     if(contador==500)
703     {
704         rta.imprimir(gm,vec_solucionu,vec_solucionv,vec_solucionp,titer);
705         contador=0;
706     }
707
708     ierr = KSPDestroy(&ksp);CHKERRQ(ierr);

```

```

709
710     ierr = VecGetArray(vec_solucionu,&phivc);CHKERRQ(ierr);
711     ierr = VecGetArray(vec_solun,&phivc0);CHKERRQ(ierr);
712
713     for (i=0;i<n_vc;i++)
714     {
715         phi=phivc[i];
716         phi0=phivc0[i];
717         ierr = VecSetValues(vec_solun,1,&i,&phi,INSERT_VALUES);CHKERRQ(ierr);
718     }
719
720     ierr = VecAssemblyBegin(vec_solun);CHKERRQ(ierr);
721     ierr = VecAssemblyEnd(vec_solun);CHKERRQ(ierr);
722
723     ierr = VecAssemblyBegin(vec_solun1);CHKERRQ(ierr);
724     ierr = VecAssemblyEnd(vec_solun1);CHKERRQ(ierr);
725
726     ierr = VecGetArray(vec_solucionv,&phivc);CHKERRQ(ierr);
727     ierr = VecGetArray(vec_solvn,&phivc0);CHKERRQ(ierr);
728
729     for (i=0;i<n_vc;i++)
730     {
731         phi=phivc[i];
732         phi0=phivc0[i];
733         ierr = VecSetValues(vec_solvn,1,&i,&phi,INSERT_VALUES);CHKERRQ(ierr);
734         ierr = VecSetValues(vec_solvn1,1,&i,&phi0,INSERT_VALUES);CHKERRQ(ierr);
735     }
736
737     ierr = VecAssemblyBegin(vec_solvn);CHKERRQ(ierr);
738     ierr = VecAssemblyEnd(vec_solvn);CHKERRQ(ierr);
739
740     ierr = VecAssemblyBegin(vec_solvn1);CHKERRQ(ierr);
741     ierr = VecAssemblyEnd(vec_solvn1);CHKERRQ(ierr);
742
743     err=0;
744     ierr = VecGetArray(vec_solun,&phivcnu);CHKERRQ(ierr);
745     ierr = VecGetArray(vec_solun1,&phivcn1);CHKERRQ(ierr);
746     ierr = VecGetArray(vec_solvn,&phivc);CHKERRQ(ierr);
747     ierr = VecGetArray(vec_solvn1,&phivc0);CHKERRQ(ierr);
748
749     for (i=0;i<n_vc;i++)
750     {
751         temporal=MAX(sqrt(pow(phivc[i]-phivc0[i],2)),sqrt(pow(phivcnu[i]-phivcn1[i],2)));
752         err=MAX(error,temporal);
753     }
754
755     ierr = VecRestoreArray(vec_solun,&phivcnu);CHKERRQ(ierr);
756     ierr = VecRestoreArray(vec_solun1,&phivcn1);CHKERRQ(ierr);
757     ierr = VecRestoreArray(vec_solvn,&phivc);CHKERRQ(ierr);
758     ierr = VecRestoreArray(vec_solvn1,&phivc0);CHKERRQ(ierr);
759
760 }
761
762 rta.imprimir(gm,vec_solucionu,vec_solucionv,vec_solucionp,titer);
763
764 ierr = VecDestroy(&vec_solucionu);CHKERRQ(ierr); ierr = VecDestroy(&vec_solucionv);CHKERRQ(ierr);
765 ierr = VecDestroy(&vec_solun);CHKERRQ(ierr); ierr = VecDestroy(&vec_solvn);CHKERRQ(ierr);
766 ierr = VecDestroy(&vec_Run);CHKERRQ(ierr); ierr = VecDestroy(&vec_Rvn);CHKERRQ(ierr);
767 ierr = VecDestroy(&vec_up);CHKERRQ(ierr); ierr = VecDestroy(&vec_vp);CHKERRQ(ierr);
768 ierr = VecDestroy(&vec_solucionp);CHKERRQ(ierr); ierr = VecDestroy(&vec_soluantp);CHKERRQ(ierr);
769 ierr = MatDestroy(&matriz_coef);CHKERRQ(ierr);
770
771 return ierr;
772 }

```